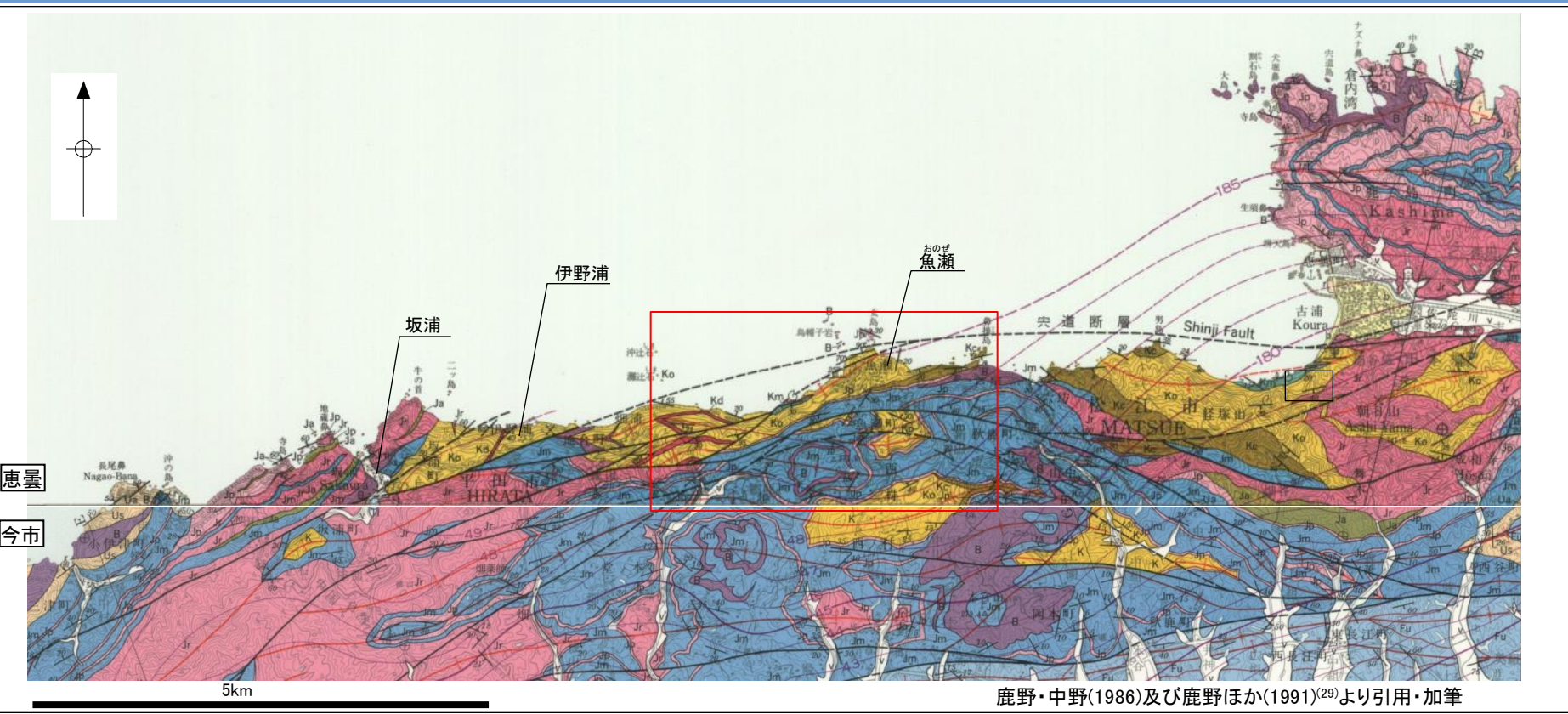


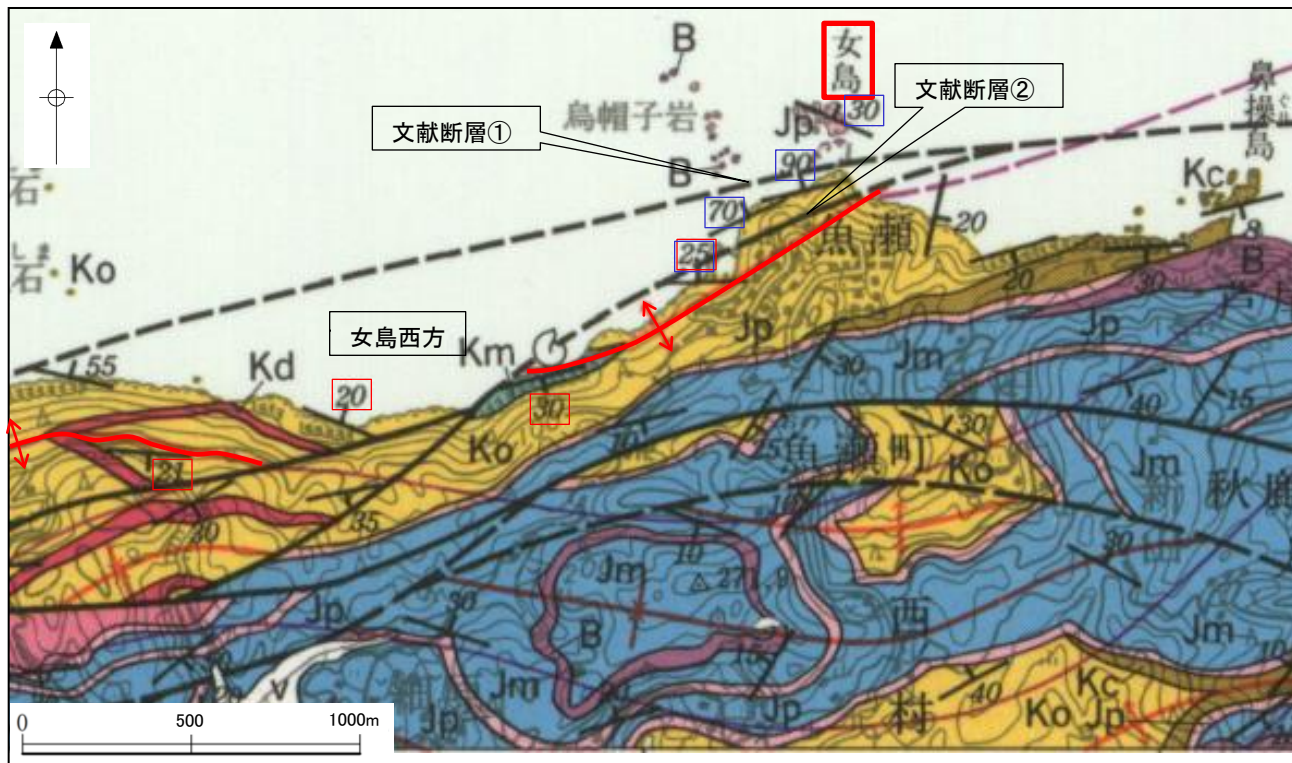
女島(文献調査及び変動地形学的調査)



・鹿野・中野(1986)によると、地質断層としての宍道断層について、「古浦から西方での行方は確認されていないが、その延長に当たる魚瀬や、更に西方に宍道断層と同規模の北上がり高角逆断層があることから、それに続く可能性が高い。宍道断層やその延長部に当たる断層の南側にある断層の多くは北あるいは南傾斜40-90°の逆断層で宍道断層同様複背斜を切っており、恐らく宍道断層とほぼ同時期に形成された。(中略) 東隣境港における研究(鹿野・吉田, 1985)では、これらの地質構造は牛切層-松江層の堆積期に南北-南北西-南南東方向の最大水平圧縮応力下で形成されたと考えられている。」とされている。

・また、鹿野・中野(1986)は、橋本ほか(1980)⁽³⁰⁾及び活断層研究会編(1980)⁽³¹⁾を引用し、伊野浦から坂浦付近を通るENE-WSW方向のリニアメントは地質断層とほぼ一致するが、リニアメントは不明瞭であるとし、確実な変位地形も認められないことから活断層である可能性は低いとしている。

女島(文献調査及び変動地形学的調査)

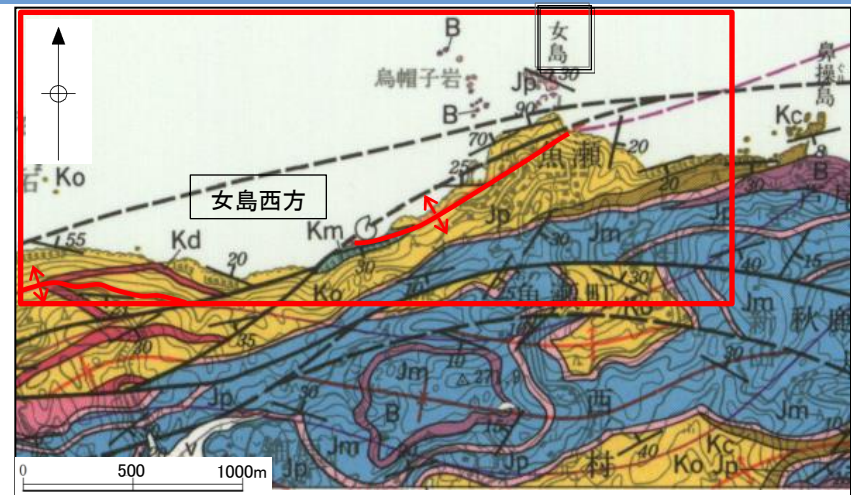


・鹿野・中野(1986)によると、女島地点において、地質断層としての宍道断層の延長に当たる可能性が高いとして、沿岸部に90°の急傾斜を示す古浦層と30°の緩傾斜を示す成相寺層との間に伏在断層(以下、文献断層①という。)、その分岐断層として、陸域部に25°の緩傾斜を示す古浦層と70°の急傾斜を示す古浦層との間に断層(以下、文献断層②という。)が示されている。

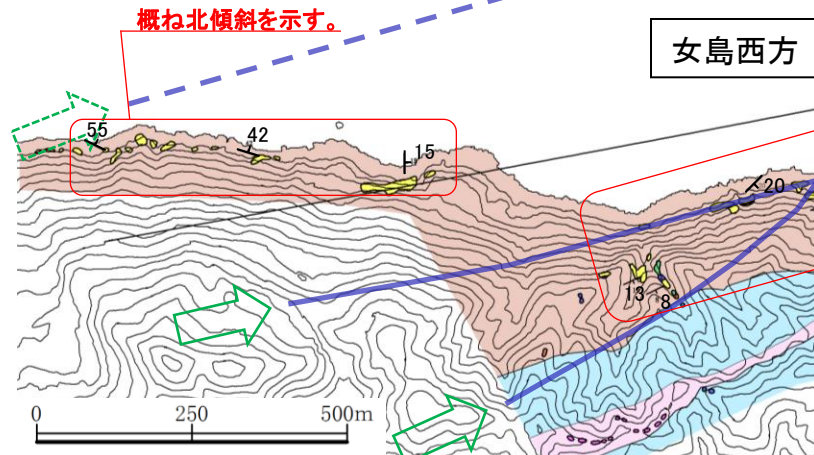
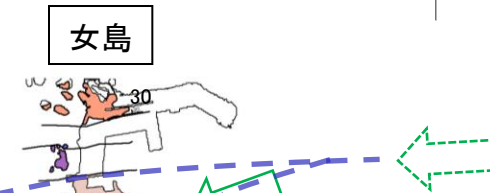
・文献断層②は、女島西方において、東北東－西南西方向の背斜軸を切る断層として示されている。

基性－中性貫入岩 Basic to intermediate intrusives	B	ドレライト、閃綠岩及び安山岩 Dolerite, diorite and andesite
泥質岩・砂岩・酸性凝灰岩互層 Alternations of argillaceous rocks, sandstone and acidic tuff	Ua	
黒色泥岩、シルト岩及び頁岩(酸性凝灰岩を挟む) Black mudstone, siltstone and shale (with acidic tuff)	Jm	
流紋岩火砕岩及び溶岩(泥質岩を挟む) Rhyolitic volcaniclastics and lavas (with argillaceous rocks)	Jp	
流紋岩溶岩及び火碎岩(貫入相を含む) Rhyolitic lavas, contemporaneous intrusives and volcaniclastics	Jr	
安山岩溶岩及び火碎岩 Andesite lavas and volcaniclastics	Ja	
礫岩、砂岩及び火碎岩 Conglomerate, sandstone and volcaniclastics	Kc	
砂岩、礫岩及び火碎岩 Sandstone, conglomerate and volcaniclastics	Ko	
酸性凝灰岩 Acidic tuff	Kd	
泥岩、シルト岩及び砂岩 Mudstone, siltstone and sandstone	Km	
地層の走向及び傾斜 Strike and dip of strata		
断層 Fault		
伏在断層 Concealed fault		
推定断層 Inferred fault		
背斜 Anticline		
伏在背斜 Concealed anticline		
向斜 Syncline		
等重力線(気温改正済み)を基にした等重力線 Latitude correction based on the International Gravity Formula (1924) and International Gravity Formula (1956) Assumed density 2.0 g/cm³ 1 ミリガラス間隔 Contour interval 1 milligal	-180°	
具化石 Molluscan fossil		

女島(女島付近)(地表地質踏査(ルートマップ))



凡 例	
貫入岩(ドレライト・安山岩等)	層理面の走向・傾斜
泥岩	逆転層の走向・傾斜
砂岩	地質境界
砂岩・泥岩互層	背斜軸
礫岩	文献断層①
流紋岩質火砕岩	文献断層②
火山角巖岩	鹿野・中野(1986)に記載の 伏在断層通過位置
	鹿野・中野(1986)に記載の 断層通過位置
	成相寺層 △ 転石
	古浦層
沖積層	
貫入岩(安山岩)	
泥岩	
流紋岩質火砕岩	
ディサイト質火砕岩	
泥岩	
砂岩・礫岩	

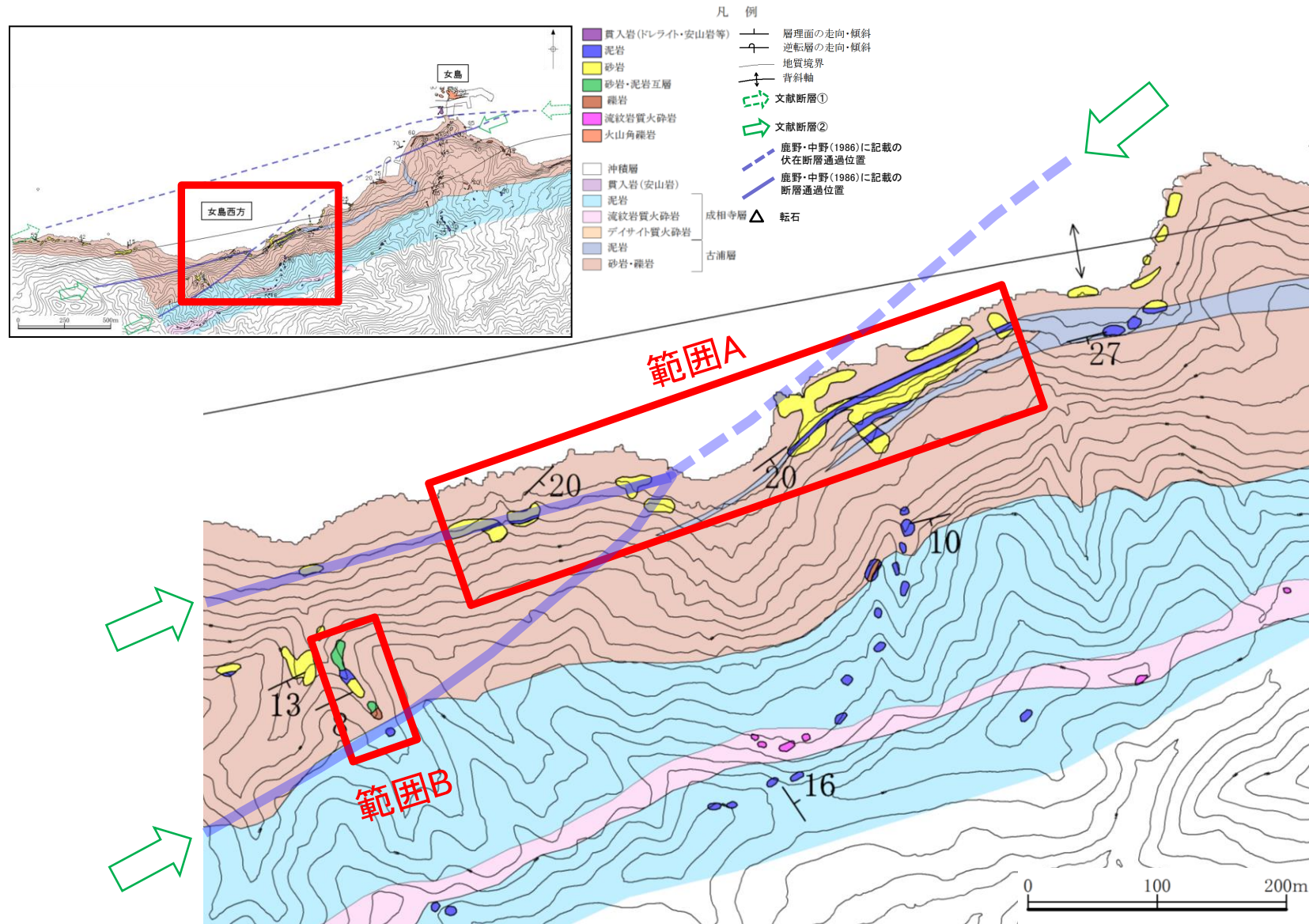


概ね北傾斜を示す。

概ね南傾斜を示す。

・女島西方の西側では北傾斜の古浦層、女島西方の東側では北傾斜の古浦層が分布することに対し、女島西方の南側では南傾斜の古浦層が分布することから、その間を背斜軸が通過し、女島から女島西方まで連続した構造と考えられる。

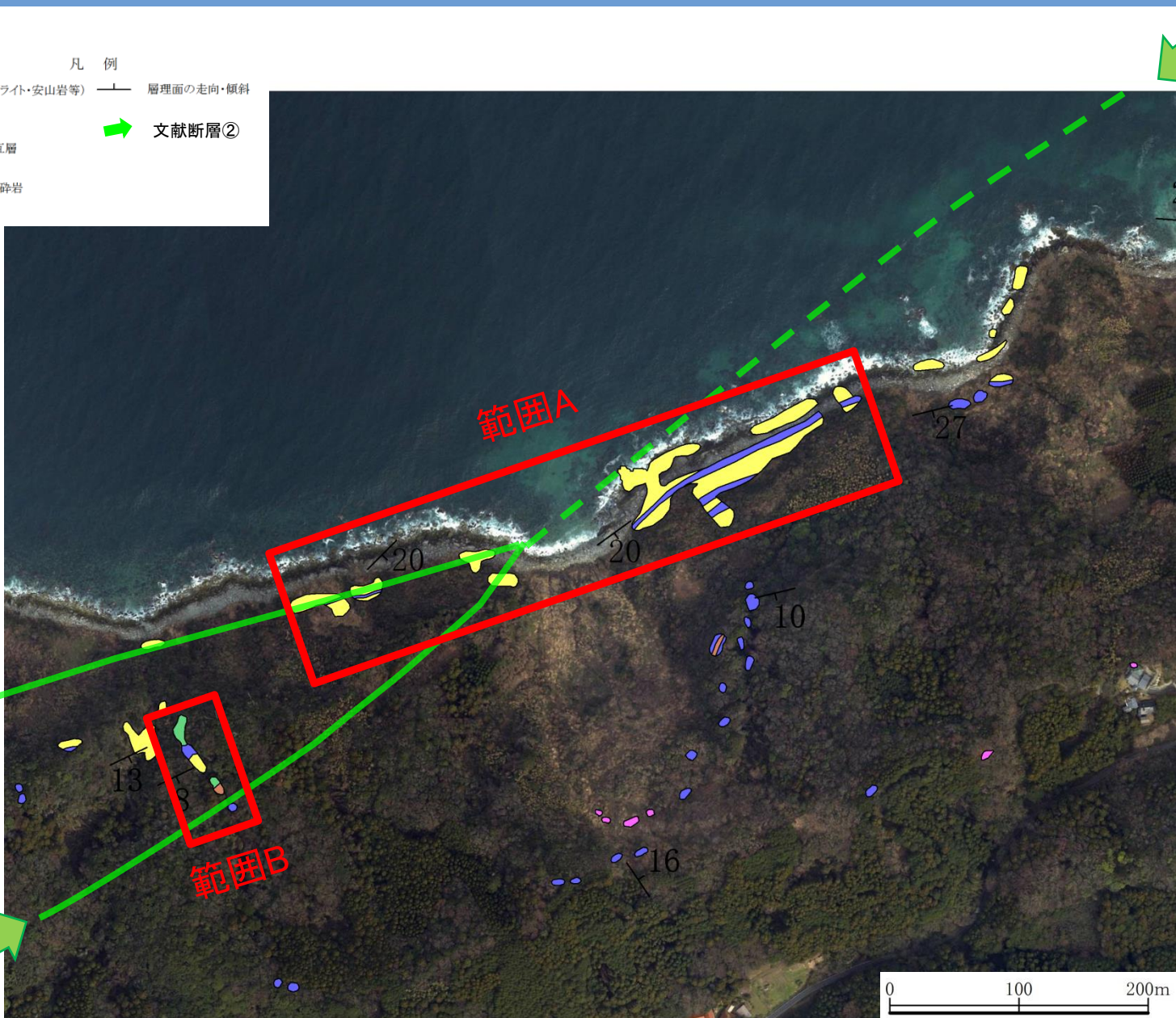
女島(女島西方地点)(地表地質踏査(ルートマップ))



- ・女島西方の沿岸部の地表地質踏査の結果、文献断層②の通過位置付近の露頭に断層は認められない。
- ・次頁以降に、文献断層②の通過位置付近の範囲A、範囲Bの露頭状況の詳細を示す。

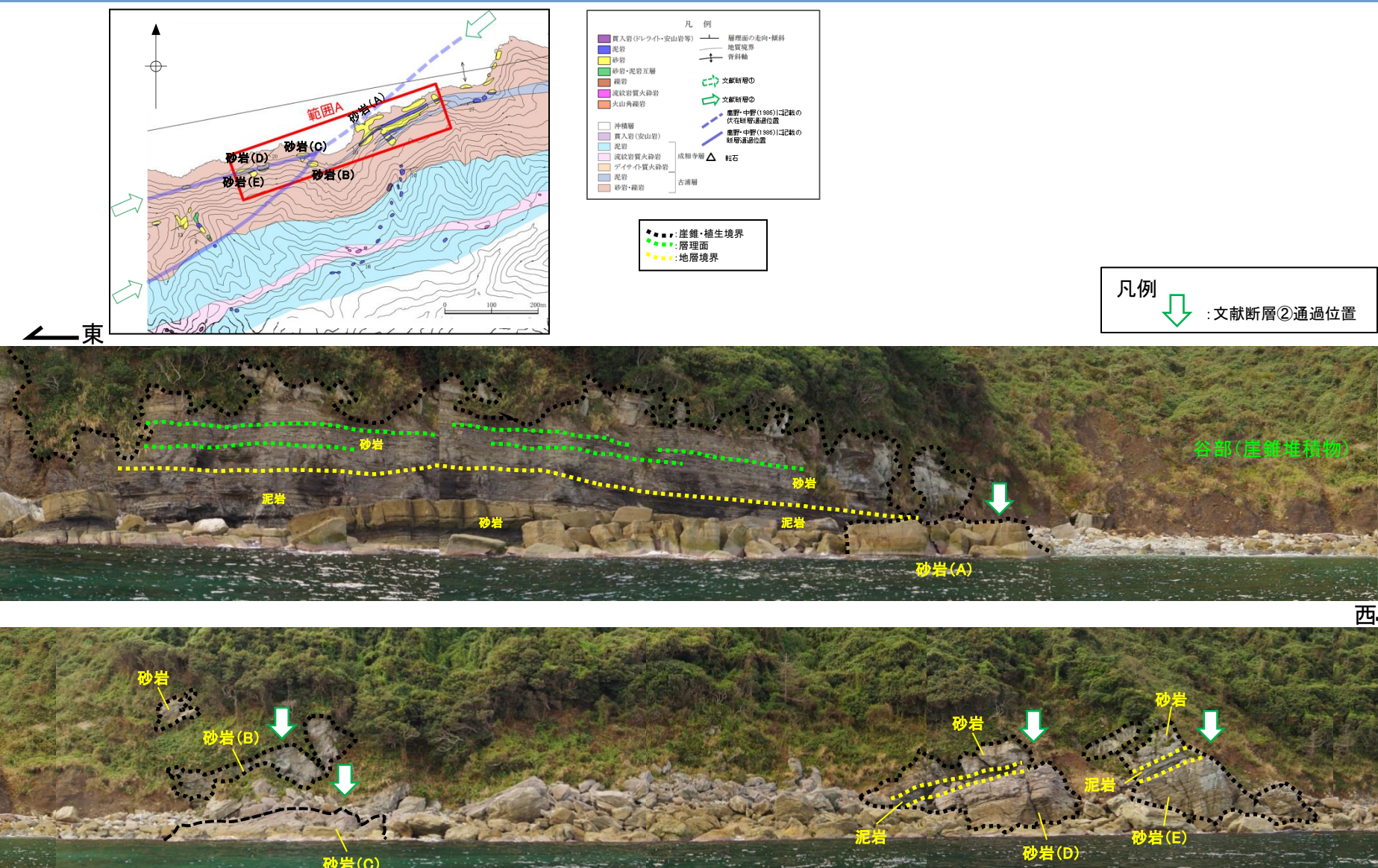
女島(女島西方地点)(地表地質踏査(ルートマップ))

凡 例	
	層理面の走向・傾斜
■ 質入岩(ドレライト・安山岩等)	—
■ 泥岩	—
■ 砂岩	→ 文献断層②
■ 砂岩・泥岩互層	
■ 蕊岩	
■ 流紋岩質火砕岩	
■ 火山角礫岩	

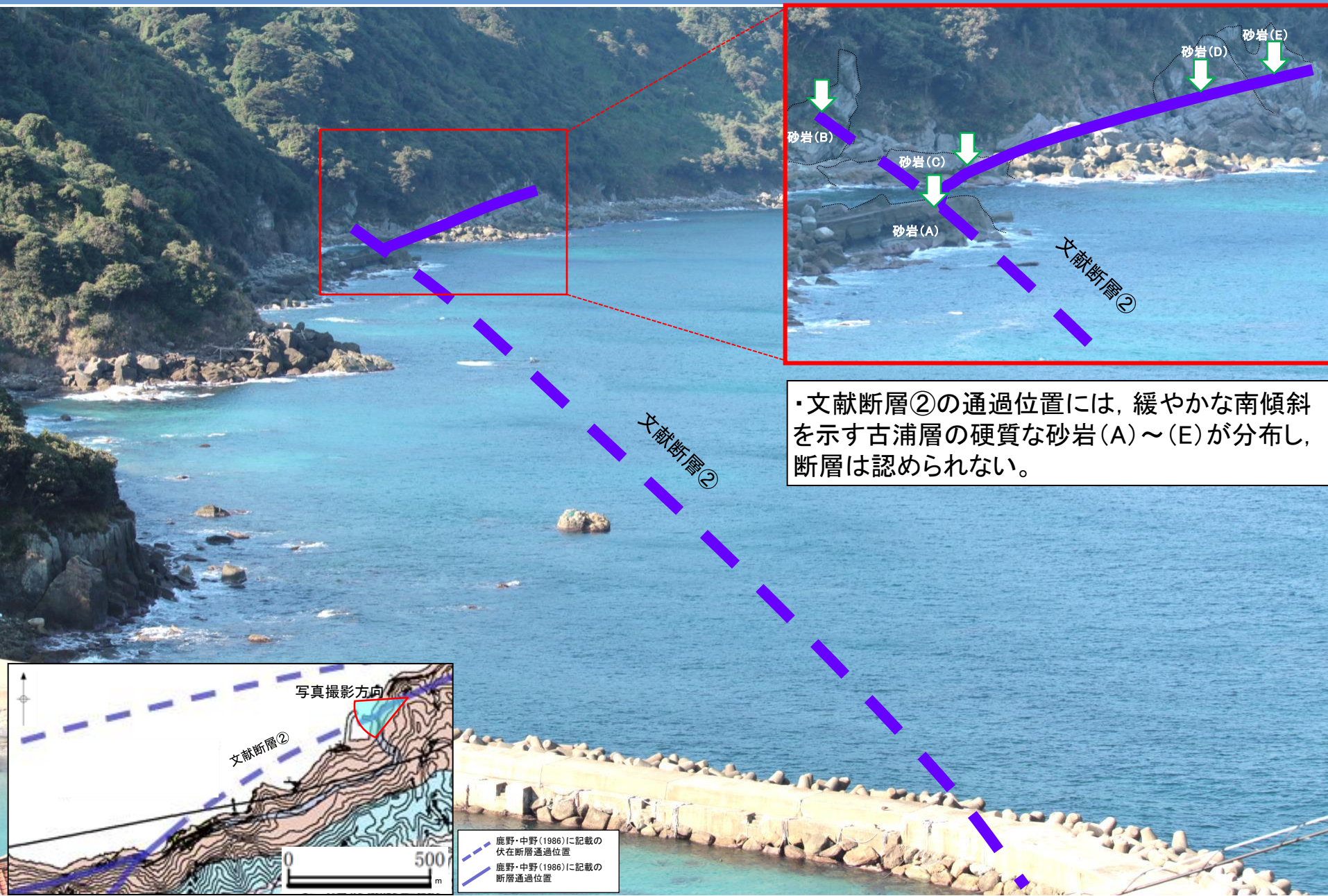


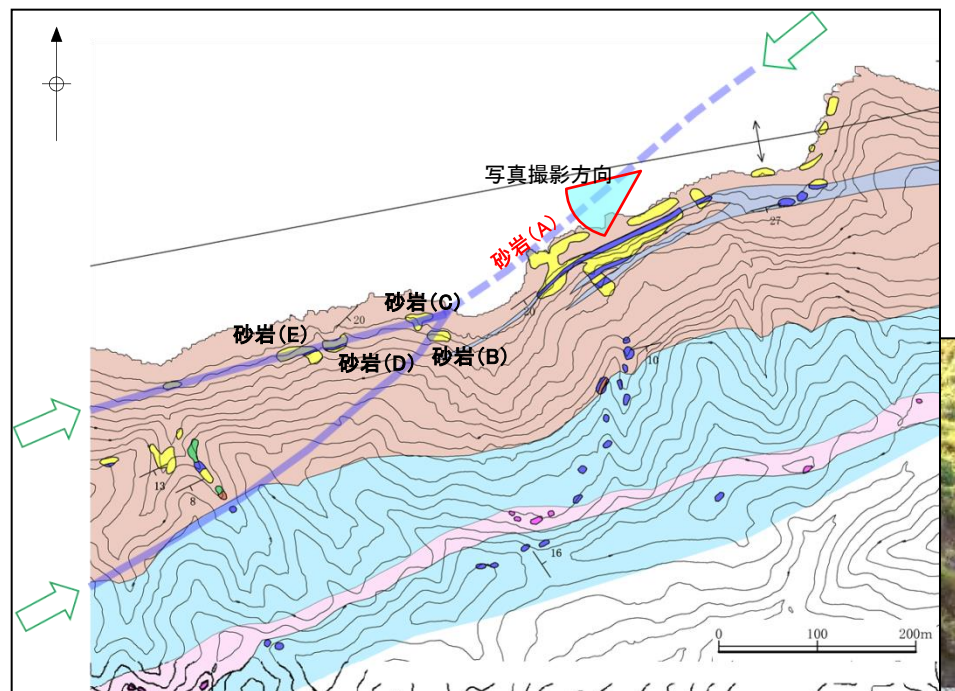
3. 宮道断層の評価 (3)地質調査(宮道断層の西側) ⑦西端(女島)

女島(文献断層②の通過位置付近)(地表地質踏査(範囲A:正面))



- 文献断層②の通過位置付近について、古浦層の砂岩が分布し、断層は認められない。
- また、古浦層の砂岩は全体的に緩傾斜を示す。

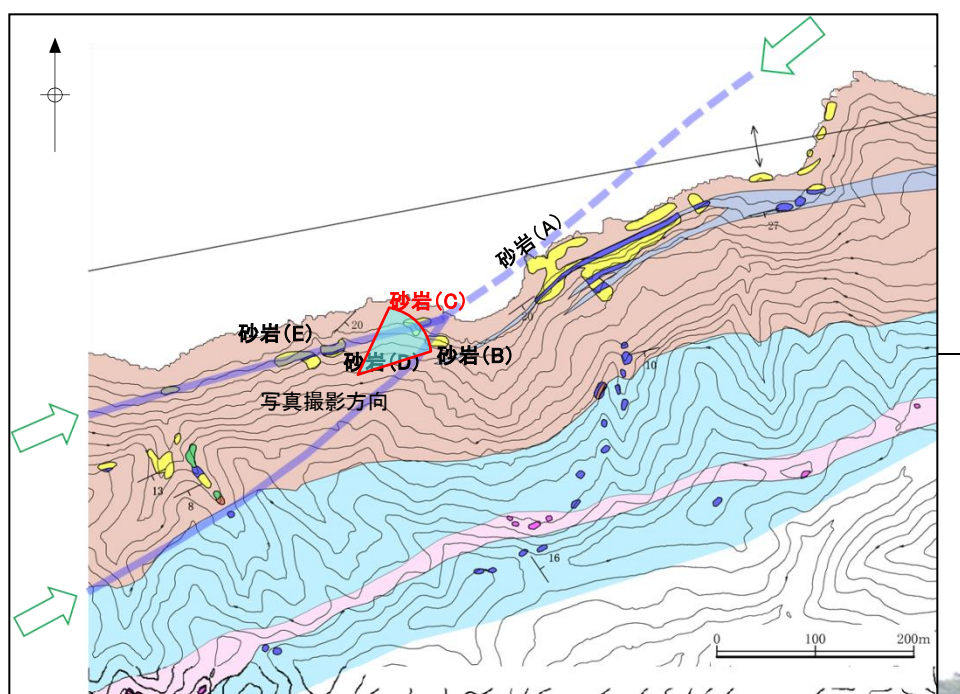




凡例
↓ : 文献断層②通過位置

・文献断層②が沿岸部を通過する付近では、古浦層の硬質な砂岩が緩やかな南傾斜を示し、断層は認められない。



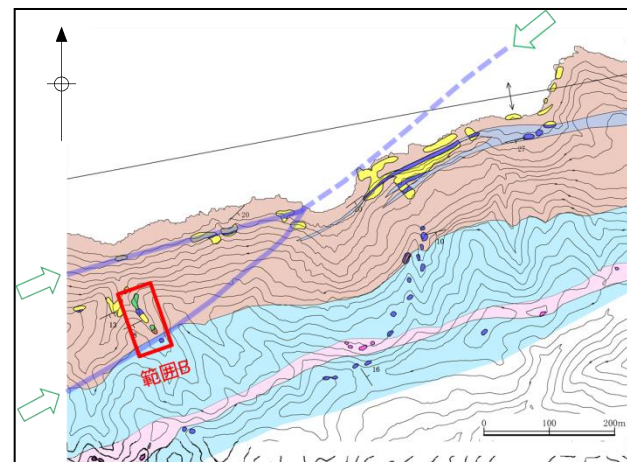


凡例
↓ : 文献断層②通過位置

・文献断層②が海域から陸域に延長する付近では、古浦層の硬質な砂岩が緩やかな南傾斜を示し、断層は認められない。



女島(文献断層②の通過位置付近)(地表地質踏査(範囲B))



凡 例	
貫入岩(ドレライト・安山岩等)	解理面の走向・傾斜
花岩	地質境界
砂岩	資料軸
砂岩・泥岩互層	
泥岩	
成状岩質火砕岩	文献断層①
火山角礫岩	文献断層②
冲積層	鹿野・中野(1986)に記載の 文献断層通過位置
貫入岩(安山岩)	鹿野・中野(1986)に記載の 文献断層通過位置
泥岩	
成相寺層	
成相寺層火砕岩	
ディサイト質火砕岩	
泥岩	△ 碓石
古浦層	
砂岩・泥岩	



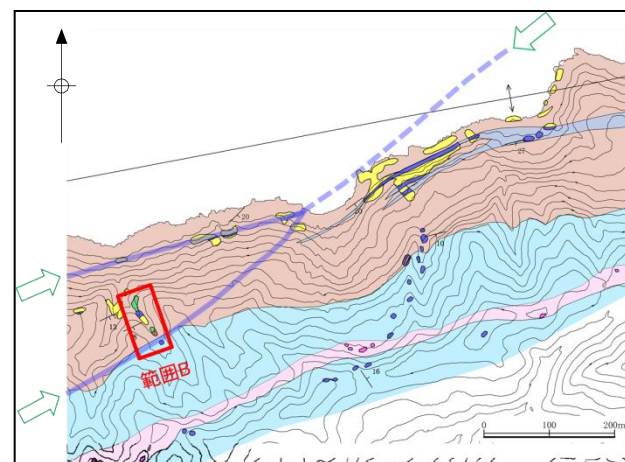
・鹿野・中野(1986)によると、文献断層②は北東側から古浦層内を通過し、本地点付近では古浦層と成相寺層の境界付近を通過するとされている。

・地表地質踏査の結果、礫岩(古浦層の最上部層の一部)が認められることから、その南側の泥岩分布域から北側について、幅広な露頭調査を行った。また、同地点には、変位地形・リニアメントは認められないが、北東側の尾根に遷急点が認められる。

・露頭調査の結果、礫岩、砂岩、泥岩、凝灰岩が南傾斜の同斜構造としてほぼ連続的に分布し、断層を示唆する構造は認められない。

凡 例	
泥岩	
砂岩	
礫岩	
砂岩・泥岩互層	
凝灰岩	

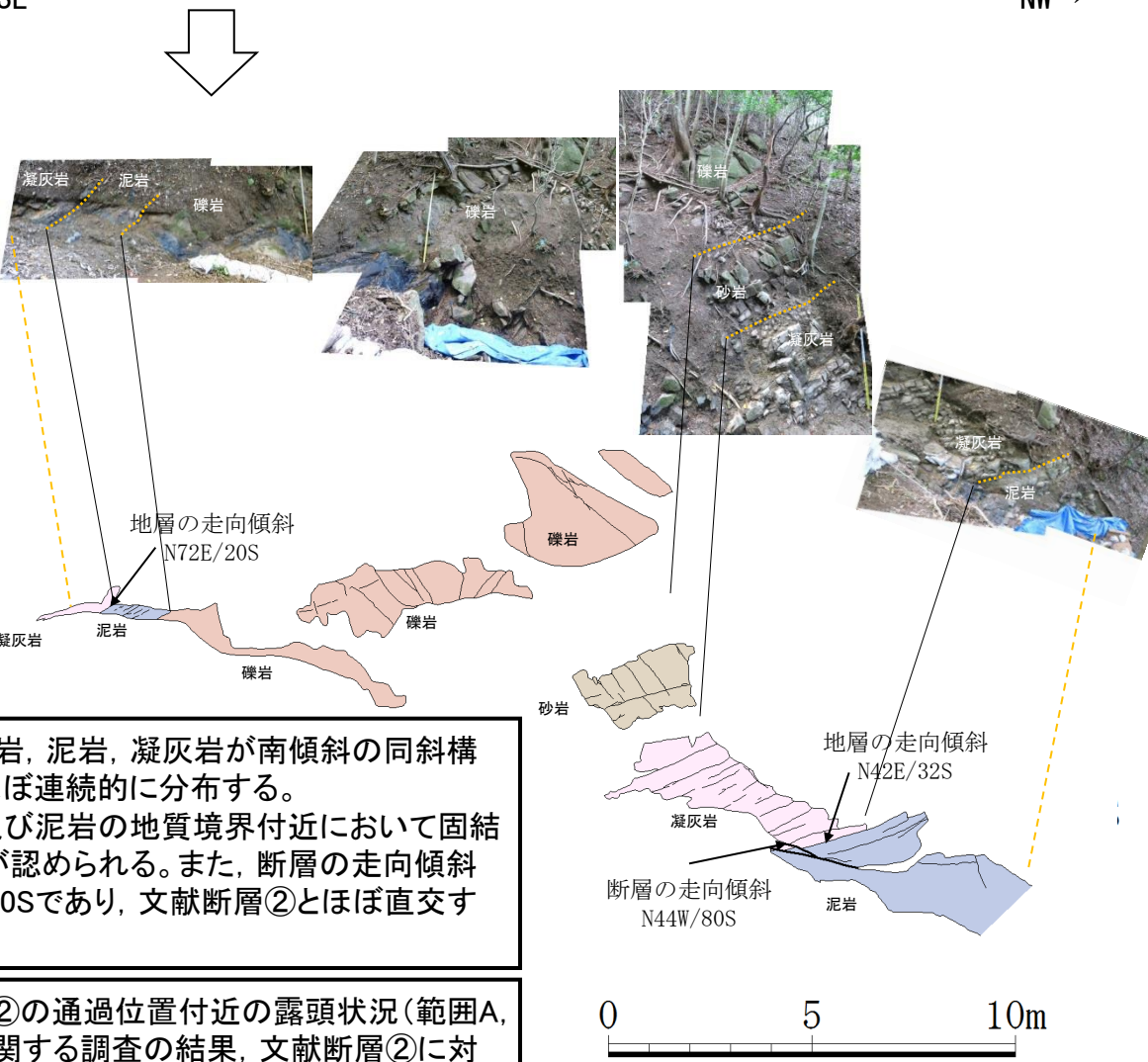
女島(文献断層②の通過位置付近)(地表地質踏査(範囲B))



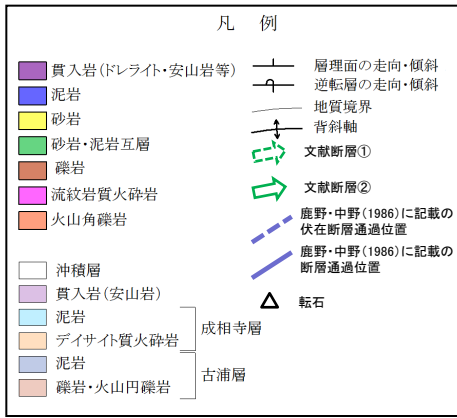
凡例	
貫入岩(トレーライト・安山岩等)	層面の走向・傾斜
風化	地質境界
砂岩	背斜軸
砂岩・泥岩互層	文献断層①
礫岩	文献断層②
凝灰岩質火砕岩	重野・中野(1986)に記載の 文献断層通過位置
火山角礫岩	重野・中野(1986)に記載の 文献断層通過位置
沖積層	成相寺層
貫入岩(安山岩)	堆石
泥岩	古浦層
流紋岩質火砕岩	
ディサイト質火砕岩	
泥岩	
砂岩・礫岩	

凡例	
泥岩	層面の走向・傾斜
砂岩	地質境界
礫岩	背斜軸
凝灰岩	文献断層①
断層	文献断層②
亀裂	

←SE 尾根の遷急点延長位置 NW→



女島(女島地点)(地表地質踏査(ルートマップ))



緩やかな北傾斜を示す。

緩やかな北傾斜を示し、
断層は想定されない。急傾斜部と貫入岩の分布から
断層の存在が否定できない。緩やかな背斜・向斜から
成り、断層は想定されない。

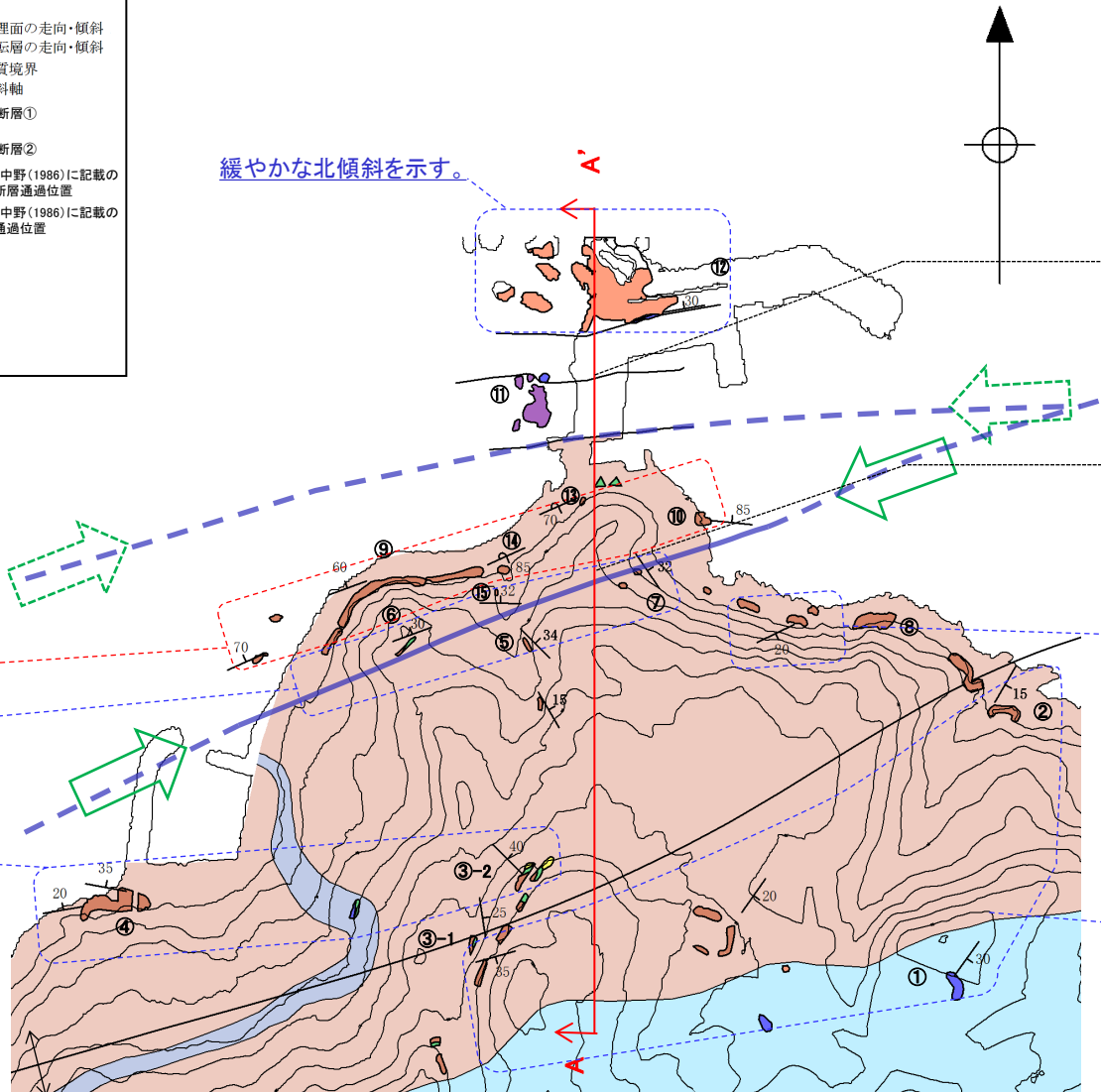
概ね緩やかな南傾斜を示す。

急傾斜を示す。

概ね緩やかな北傾斜を示す。

概ね緩やかな北傾斜を示す。

概ね緩やかな南傾斜を示す。



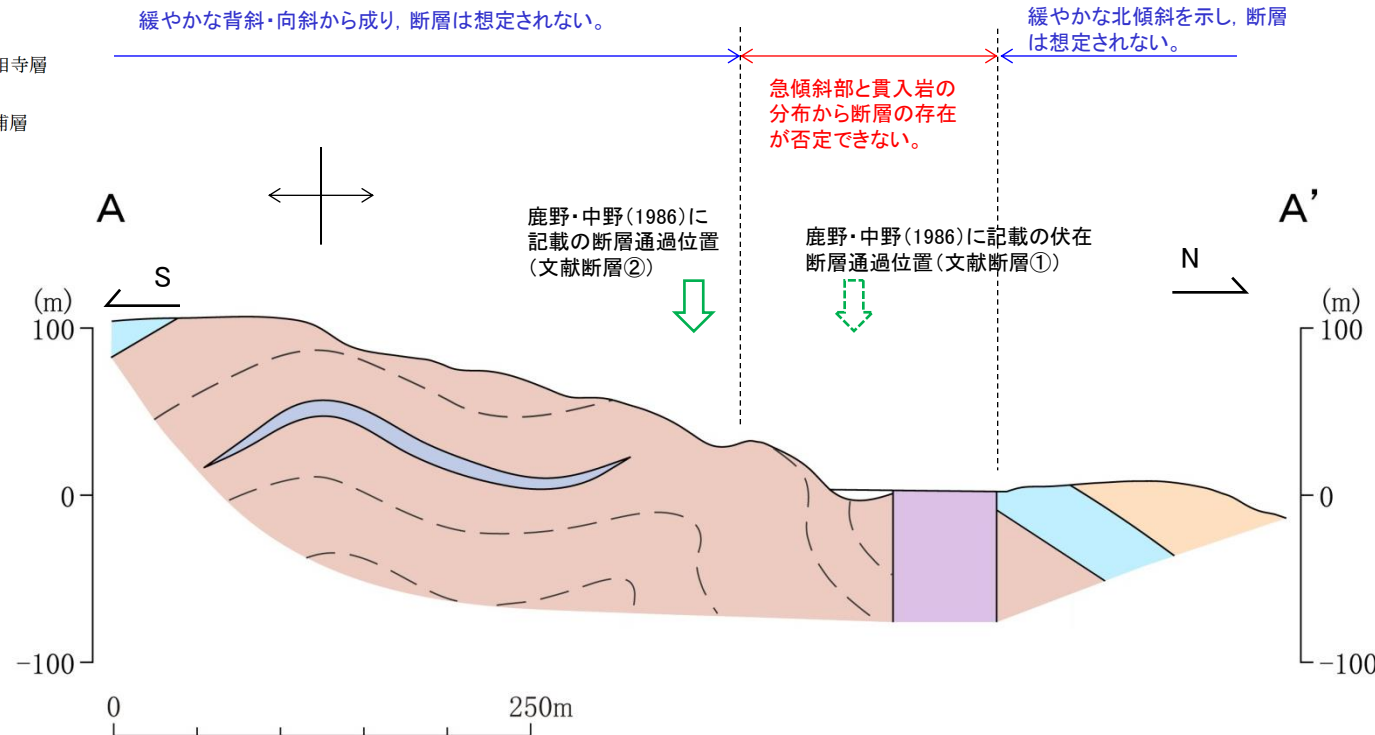
0 250 m

女島(女島地点)(地表地質踏査)

A-A' 断面図

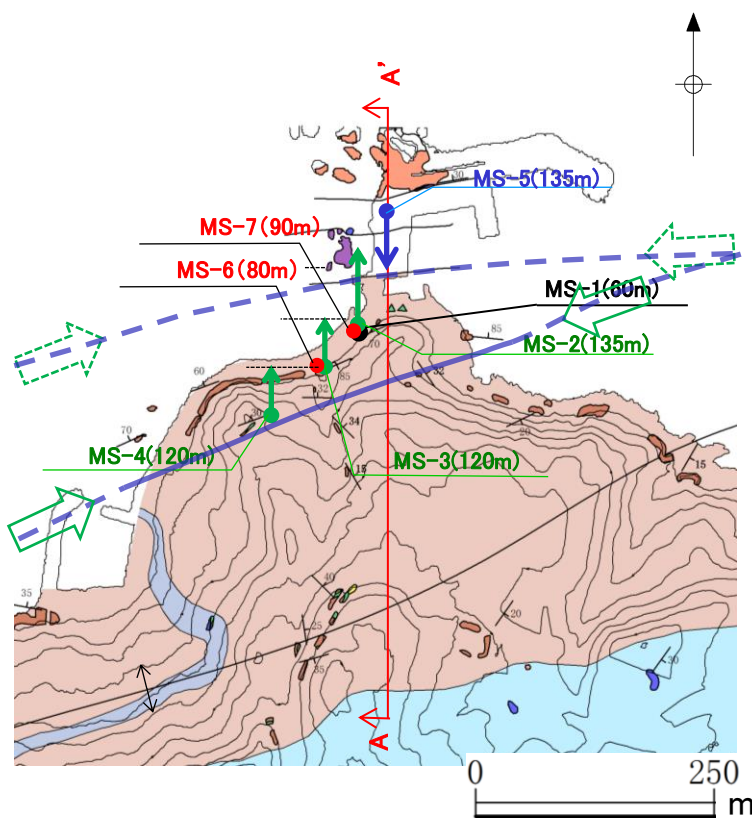
凡例

	沖積層
■	貫入岩(安山岩)
■	泥岩
■	ディサイト質火砕岩
■	泥岩
■	礫岩・火山円礫岩
	成相寺層
	古浦層



- 女島地点の地表地質踏査の結果、ルートマップに示すとおり、沿岸部において、急傾斜(85° 北)の古浦層の礫岩と、やや緩傾斜(30° 北)の成相寺層の火山角礫岩が分布することから、文献断層①の通過位置付近に、南傾斜の逆断層の存在が否定できない。
- 陸域部において、文献断層②の通過位置付近の露頭に断層は認められない。
- また、露頭③-1から露頭⑦までの区間は、古浦層の礫岩・火山円礫岩が緩やかな背斜・向斜を示すことから、断層は推定されない。
- 以上のことから、女島地点では、沿岸部の急傾斜を示す古浦層と緩傾斜を示す成相寺層との間に、南傾斜の逆断層が推定される。

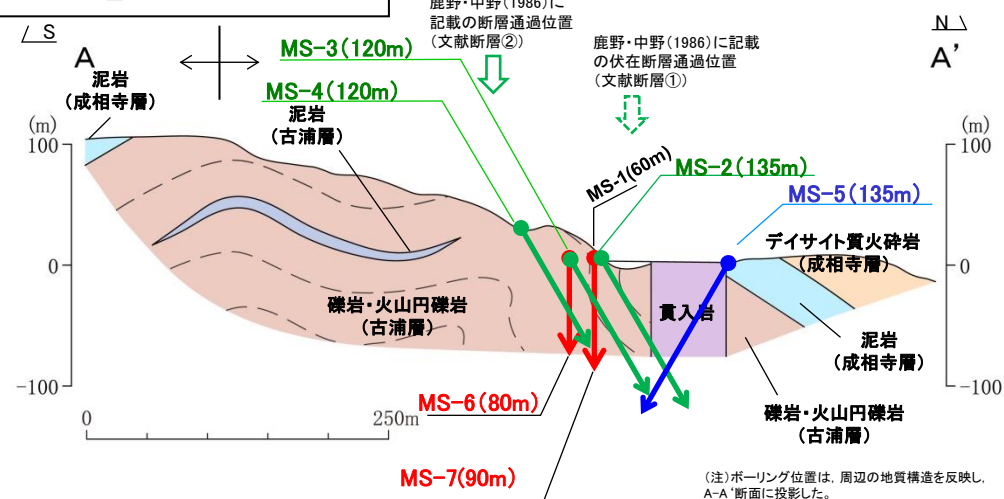
女島(女島地点)(ボーリング調査(位置図))



凡 例	
■ 貫入岩(ドレライト・安山岩等)	層理面の走向・傾斜
■ 蛇紋岩	逆転層の走向・傾斜
■ 砂岩	地質境界
■ 砂岩・泥岩互層	背斜軸
■ 磐岩	文献断層①
■ 流紋岩質火砕岩	文献断層②
■ 火山角礫岩	鹿野・中野(1986)に記載の伏在断層通過位置
□ 沖積層	鹿野・中野(1986)に記載の断層通過位置
■ 貫入岩(安山岩)	△ 転石
■ 泥岩	成相寺層
■ デイサイト質火砕岩	古浦層
■ 泥岩	
■ 磐岩・火山角礫岩	

凡 例	
●	:地層の急傾斜部確認Bor
●	:鉛直閉合Bor
●	:貫入岩と母岩の接触部確認Bor

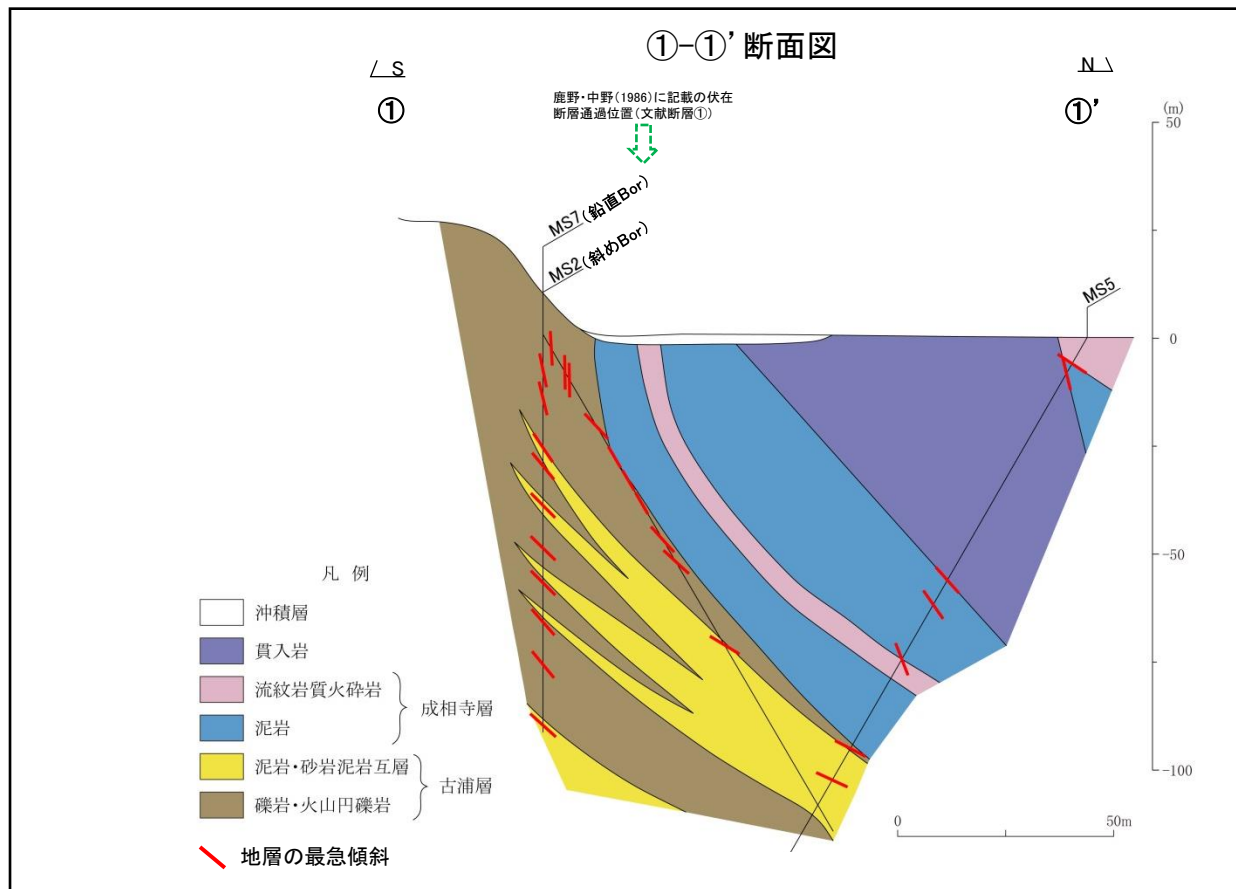
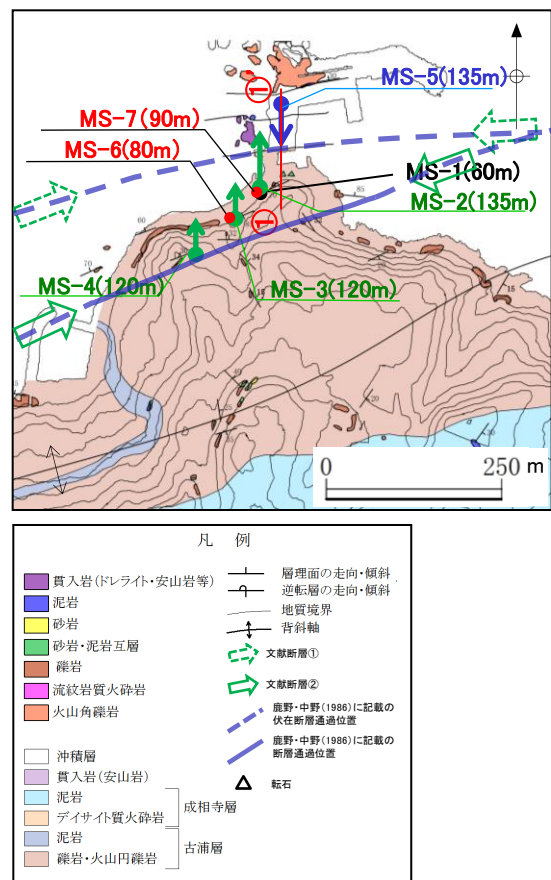
A-A' 断面図



(注)ボーリング位置は、周辺の地質構造を反映し、A-A'断面に投影した。

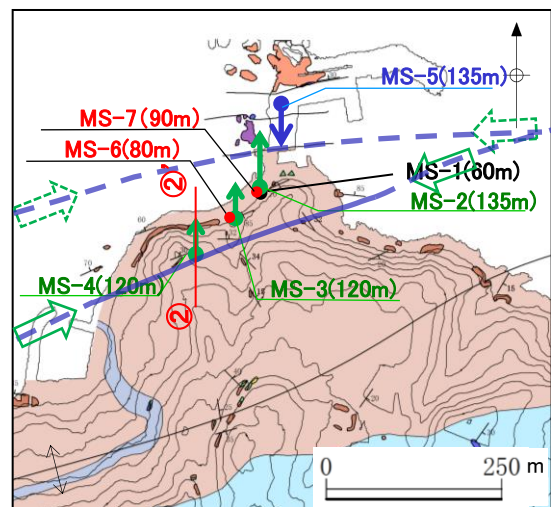
- 文献調査及び地表地質踏査の結果、沿岸部において、急傾斜を示す古浦層と緩傾斜を示す成相寺層との間に、南傾斜の逆断層が推定されることから、当該地層の急傾斜部において、斜めボーリング3孔(MS-2, MS-3, MS-4)により断層の存否を確認する。
- さらに、断層の存否の確認について万全を期すため、上記斜めボーリングを閉合するように、鉛直ボーリング2孔(MS-6, MS-7)を実施する。
- また、貫入岩と母岩の接触部において、斜めボーリング1孔(MS-5)により断層の存否を確認する。

女島(女島地点)(ボーリング調査(①-①' 断面図))

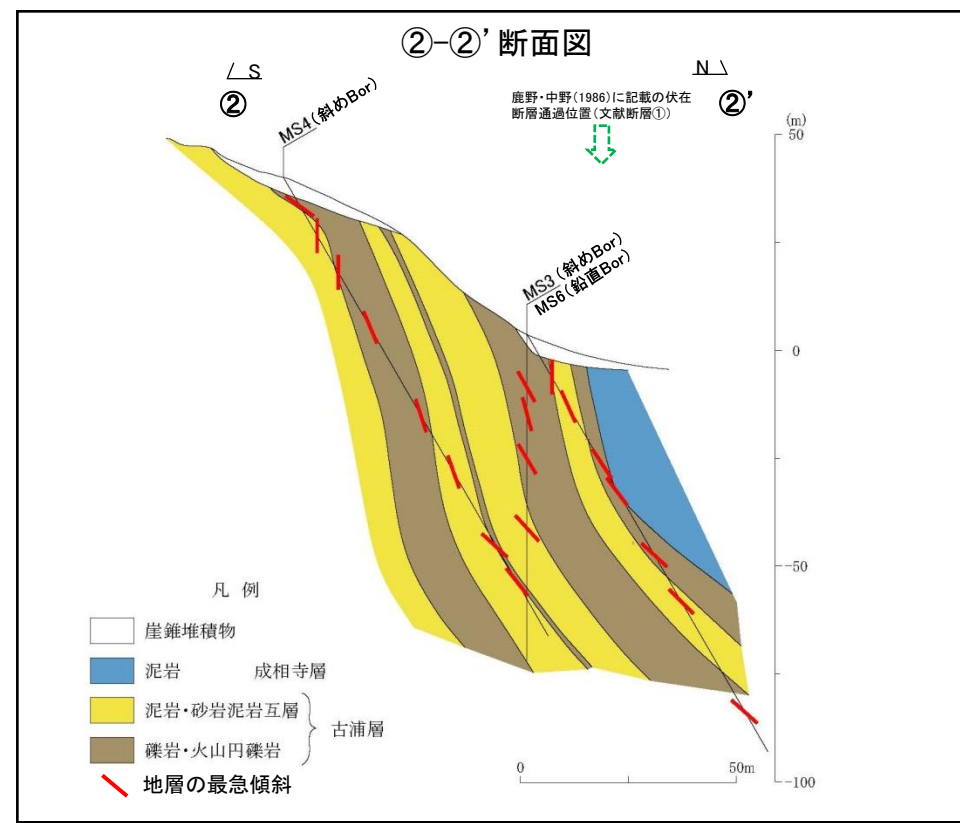


- ボーリング調査の結果、文献断層①の通過位置付近において地表から約20mまでの地層は急傾斜を示し、それ以深の地層は緩傾斜を示しており、断層は認められない。
- 古浦層内の地層は連続して分布していること及び古浦層と成相寺層が整合関係と考えられることから、地層に顕著な不連続は想定されない。
- 古浦層と成相寺層の境界に文献断層①に相当する断層は認められない。
- 成相寺層の泥岩に貫入岩が分布しており、貫入岩と貫入境界にせん断面及び破碎は認められない。

女島(女島地点)(ボーリング調査(②-②' 断面図))

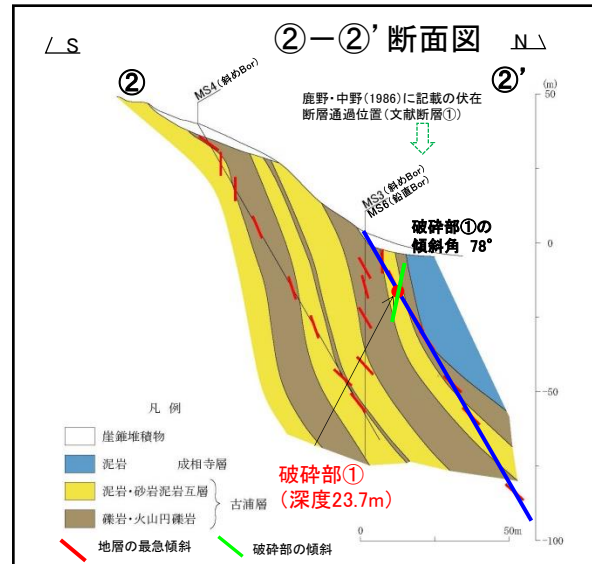
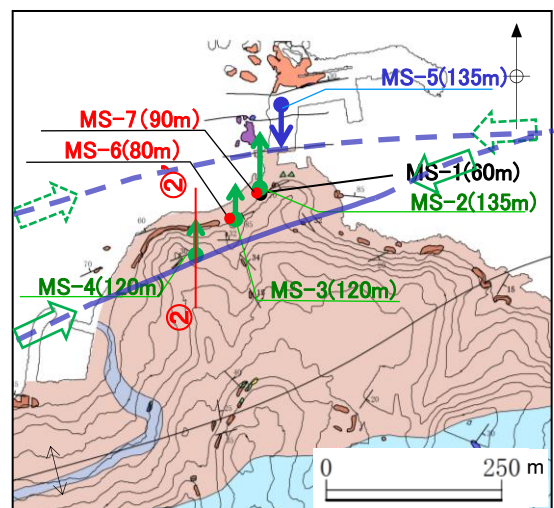


凡 例	
貫入岩(ドレレイ、安山岩等)	層理面の走向・傾斜
泥岩	逆転層の走向・傾斜
砂岩	地質境界
砂岩・泥岩互層	背斜軸
礫岩	
流紋岩質火砕岩	文献断層①
火山角礫岩	文献断層②
	鹿野・中野(1986)に記載の 伏在断層通過位置
沖積層	MS4(斜めBor)
貫入岩(安山岩)	MS3(斜めBor)
泥岩	MS6(鉛直Bor)
デイサイト質火砕岩	
泥岩	
礫岩・火山角礫岩	
成相寺層	
古浦層	

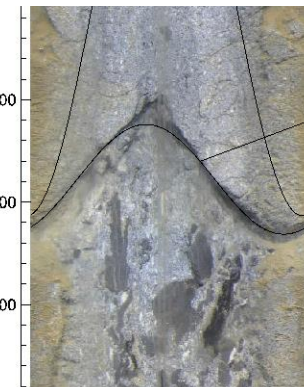


- ボーリング調査の結果、地表から約20mまでの地層は急傾斜を示し、それ以深の地層は緩傾斜を示しており、顕著な断層は認められない。
- 古浦層内の地層は連続して分布していることから、地層に顕著な不連続は想定されない。

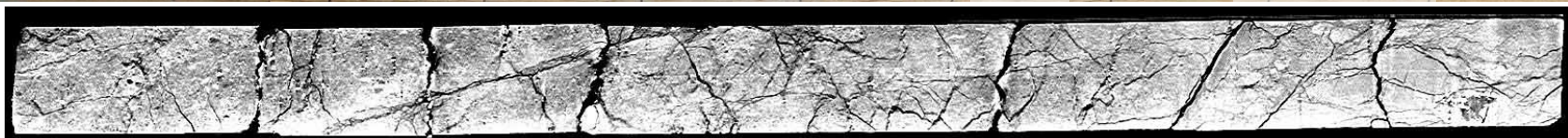
女島(女島地点)(ボーリング調査(破碎部①の性状))



BHTV撮影 (23.65~23.95m)



MS-3コア写真, CT画像解析(コア箱上から撮影) (23~24m)



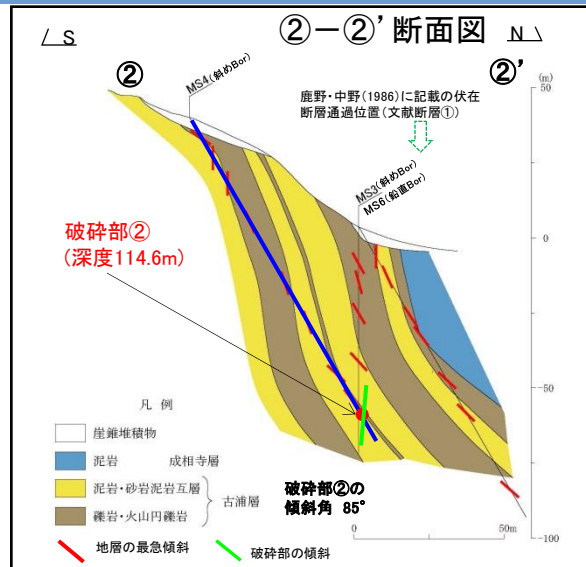
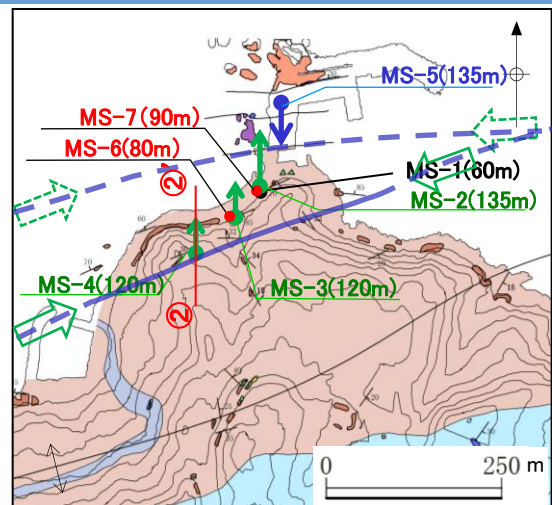
CT撮影スライス厚: 0.5mm, ウィンド処理 WL(ウインドレベル): 1200, WW(ウインド幅): 1000

: 破碎部

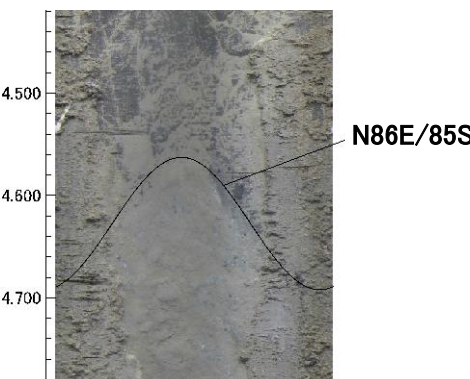
- コア観察の結果、MS-3の深度23.7m付近において、古浦層の礫岩と砂岩・泥岩互層を境する破碎部が確認された。
- 肉眼観察の結果、破碎部には、0~3mm程度の細粒部(砂混り粘土)が見られるが、条線方向はほぼ縦ずれ(走向方向から80° 左回転)であり、母岩に破碎は認められない。
- 実体顕微鏡による条線観察の結果、下盤側に縦ずれ(走向方向から70° 左回転)の条線が見られ、運動センスとして逆断層センスが認められる。



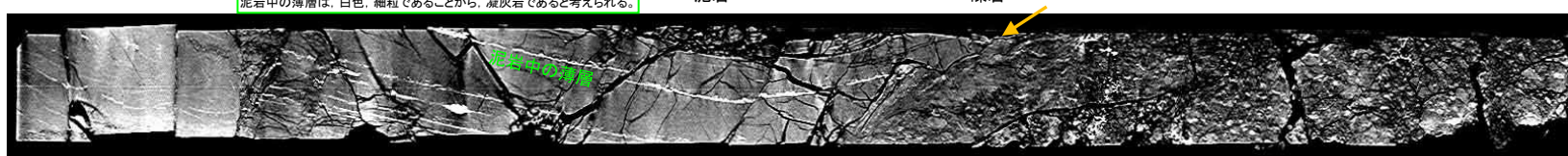
女島(女島地点)(ボーリング調査(破碎部②の性状))



BHTV撮影 (114.46～114.74m)



MS-4コア写真, CT画像解析(コア箱上から撮影) (114～115m)



CT撮影スライス厚: 0.5mm, ウィンド処理 WL(ウィンドレベル): 1200, WW(ウィンド幅): 1000

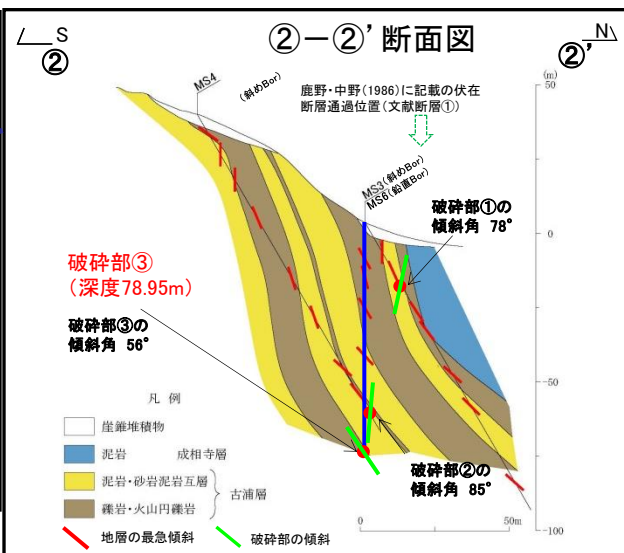
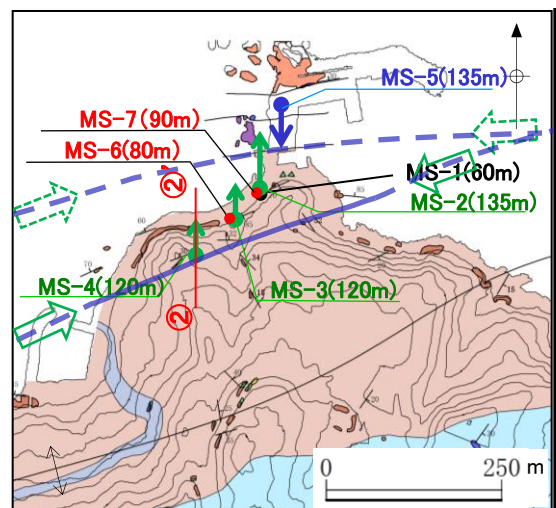
: 破碎部

- コア観察の結果、MS-4の深度114.6m付近において、古浦層の泥岩と礫岩を境する破碎部が確認された。
- 破碎部には、1～3mm程度の細粒部(砂混り粘土)が見られるが、条線は縦ずれ(走向方向から90° 左回転)であり、母岩に破碎は認められない。
- 実体顕微鏡観察の結果、下盤側の礫岩に破碎部と一連の変形構造と考えられる構造(逆断層センス)が認められる。

拡大写真 (114.6m付近)

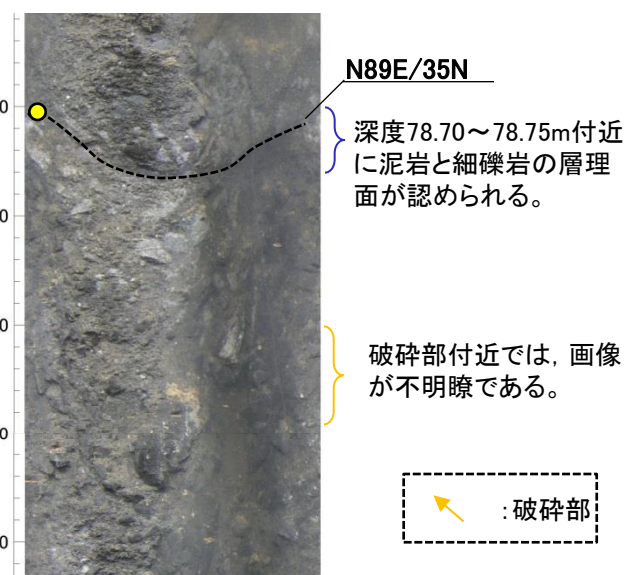


女島(女島地点)(ボーリング調査(破碎部③の性状))



MS-6コア写真 (78~79m)

BHTV撮影 (78.62~79.14m)



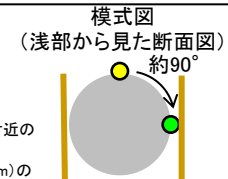
: 破碎部



- コア観察の結果、MS-6の深度78.95m付近において、古浦層の泥岩中に破碎部が確認された。
- 破碎部には、2mm程度の細粒部(砂混り粘土)が見られるが、母岩に破碎は認められない。
- BHTV観察の結果、破碎部上位の地層の傾斜が北傾斜(N89E/35N)であることから、破碎部の走向傾斜はN1W/56Eと想定※した。
- 実体顕微鏡による条線観察の結果、上盤側に縦ずれ(走向方向から70° 左回転)の条線が見られ、運動センスとして逆断層センスが認められる。

※深度78.70~78.75m付近の面構造の最浅部(黄丸)と破碎部の面構造の最浅部はコア周囲水平面上で約90° 程度ずれた位置関係であったことから、走向はN89Eから90° 右回転させた値、傾斜はコア観察の値(56°)とした。

○: 深度78.70~78.75m付近の面の頂部
●: 破碎部③(深度78.95m)の面の頂部



BHTVにより層理面(N89E/35N)が認められる箇所

破碎部の傾斜角 56°

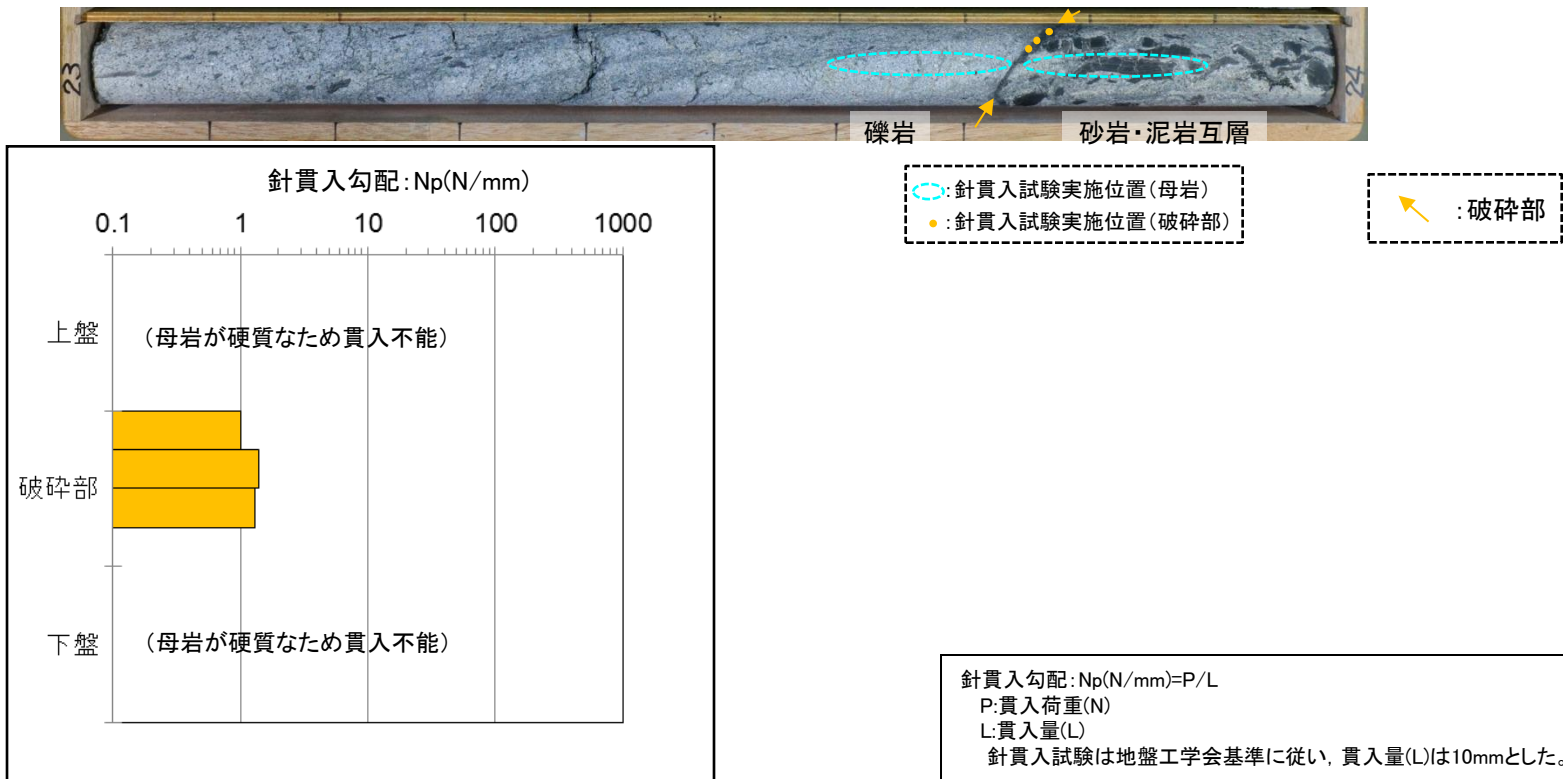
拡大写真 (78.95m付近)



女島(女島地点)針貫入試験(破碎部①, ③)

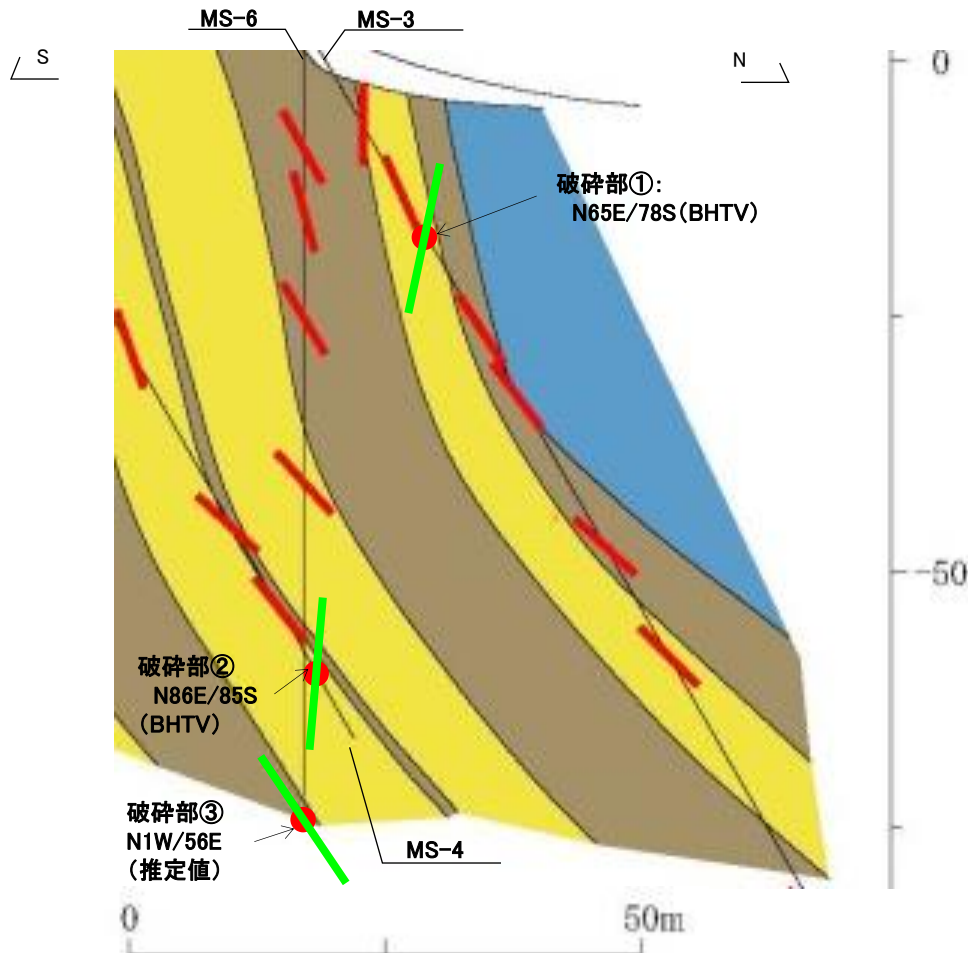
- ・破碎部①(MS-3, 深度23.7m), 破碎部③(MS-6, 深度114.6m) 及びその近傍において, 針貫入試験を実施した。
- ・針貫入試験は, 軟質な岩石の力学的性質を簡便に求めるための試験であるが, 今回は破碎部を挟む母岩が破碎部近傍から硬質であることを確認するため実施した。

MS-3コア写真 (23~24m)



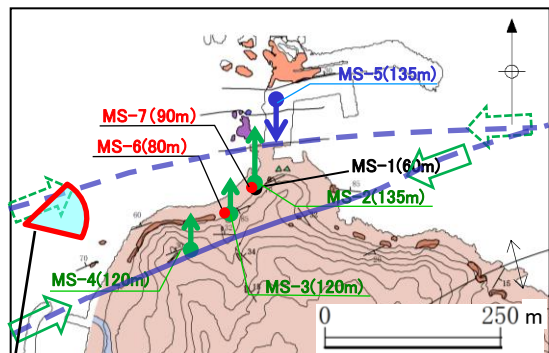
- ・針貫入試験の結果, 破碎部①, ③の針貫入勾配は, 0.5~1.4N/mmである。
また, 破碎部近傍の母岩は, 硬質なため貫入不能であった。
- ・破碎部①の針貫入勾配が平均1.2N/mmであることに対して, 宍道断層の活断層区間である南講武(No.50)のせん断面近傍の針貫入勾配は極めて軟質なため測定不能である。
- ・また, 宍道断層の活断層区間である南講武における針貫入試験と比較すると, 破碎部①, ③は破碎部近傍から硬質であり貫入不能であることに対して, 南講武(No.50)は破碎幅が広く(基盤岩が軟質な範囲: 約16m), 著しく破碎を被っている範囲の基盤岩の針貫入勾配は3.0N/mm以下と軟質である。

女島(女島地点)(ボーリング調査(破碎部①, ②, ③の連続性))

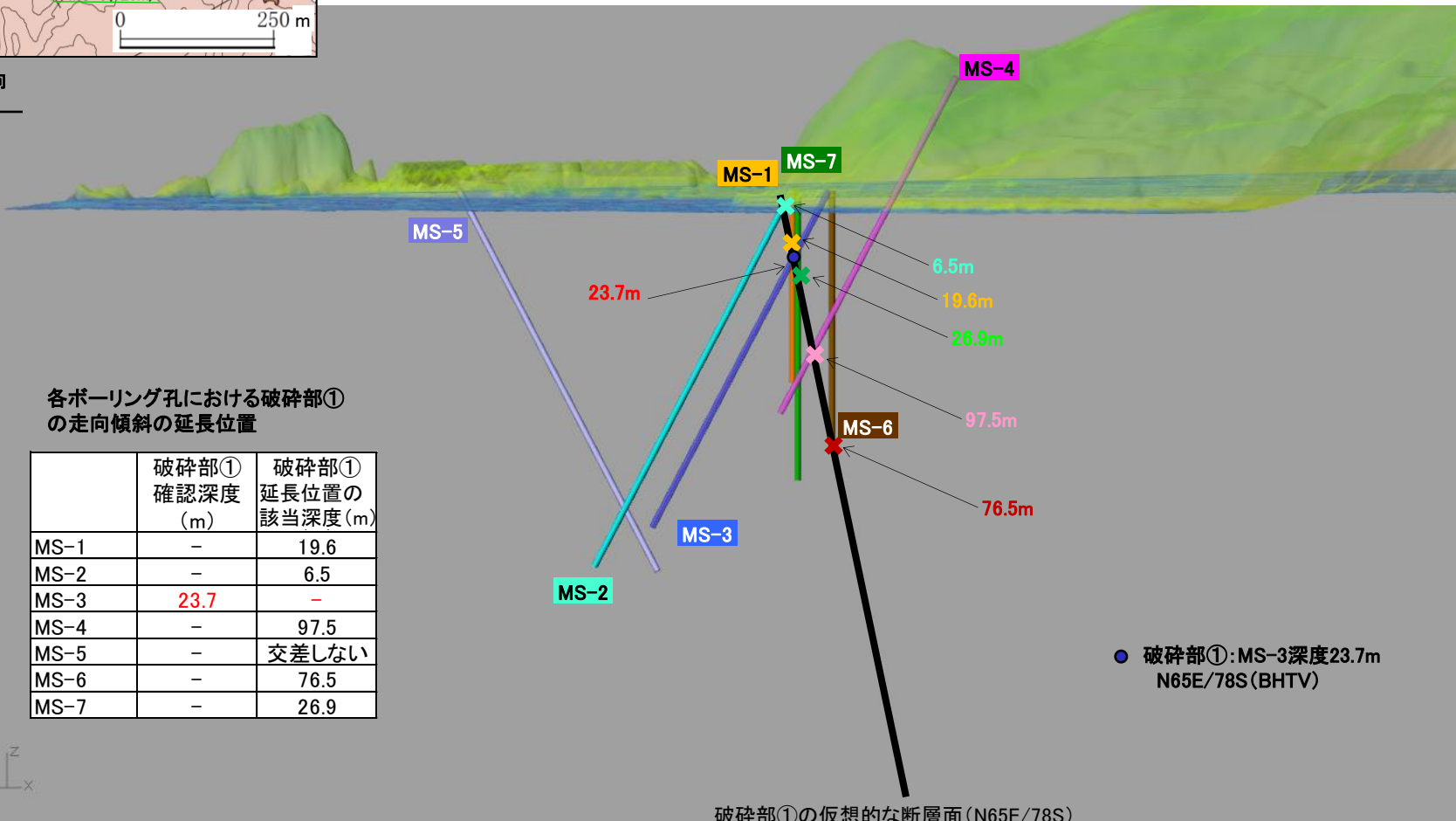


- 破碎部①, ②, ③の性状について、コア観察、針貫入試験及びCT画像解析等の結果、破碎部近傍の母岩は硬質であり角礫状の破碎は認められない。
- 破碎部①, ②, ③の走向・傾斜について、BHTVの結果、破碎部①はN65E/78S、破碎部②はN86E/85Sであることに対して、破碎部③はN1W/56Eである。
- 以上のことから、破碎部①, ②, ③は一連の構造ではないと考えられる。
- しかしながら、破碎部①, ②の走向は文献断層①の走向と概ね対応すること及び破碎部①, ②の傾斜が高角度であることから、破碎部①, ②の各々の走向傾斜延長及び破碎部①②が連続すると仮定した場合の破碎部の連続性について、3次元検討を行う。

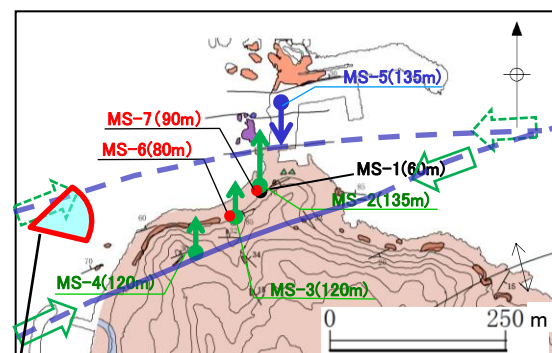
女島(女島地点)(ボーリング調査(破碎部①の連続性))



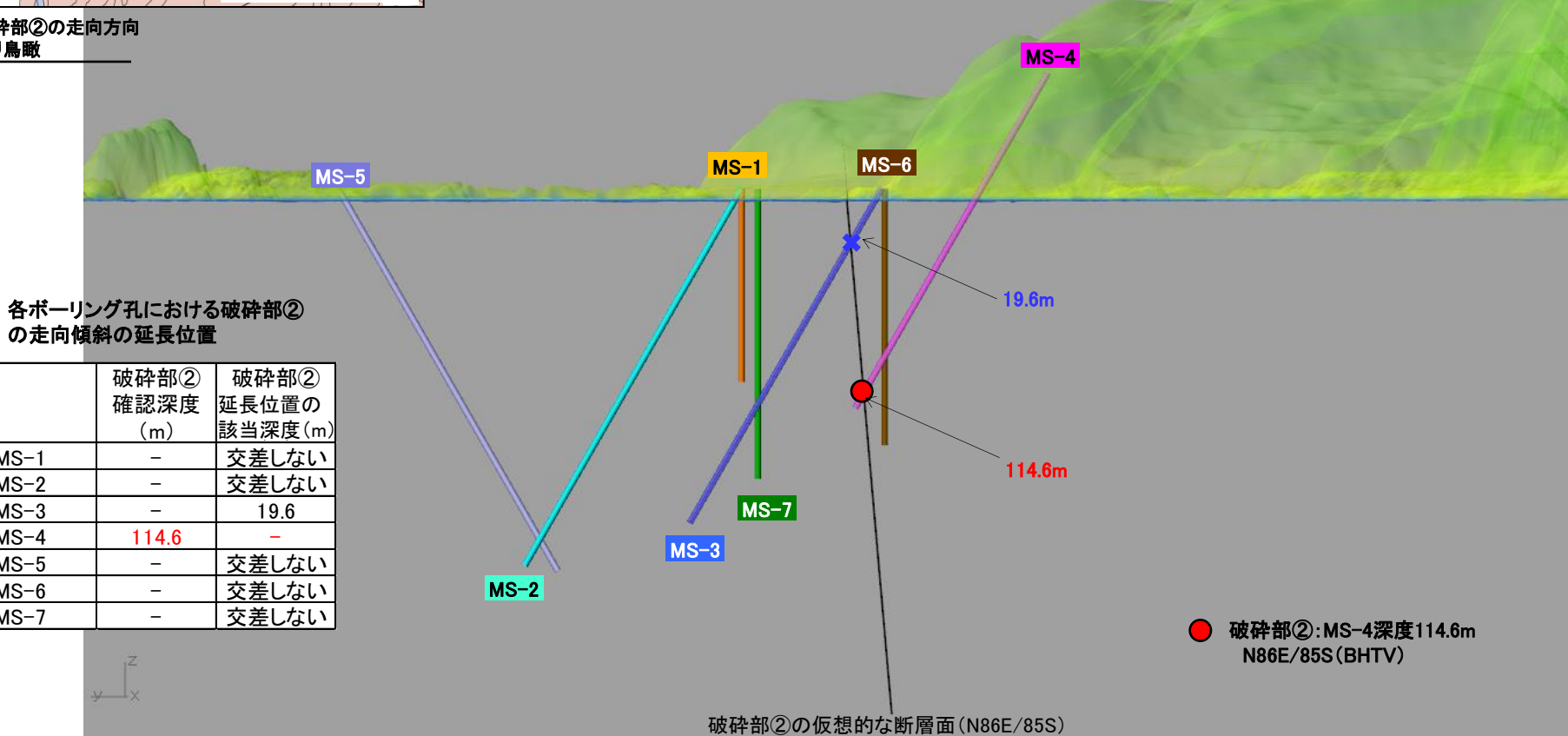
- 各ボーリング孔における破碎部①(MS-3)の延長位置を確認したところ、MS-1の深度19.6m、MS-2の深度6.5m、MS-4の深度97.5m、MS-6の深度76.5m、MS-7の深度26.9mに該当することを確認した。
- 該当深度付近に、破碎部は認められない。



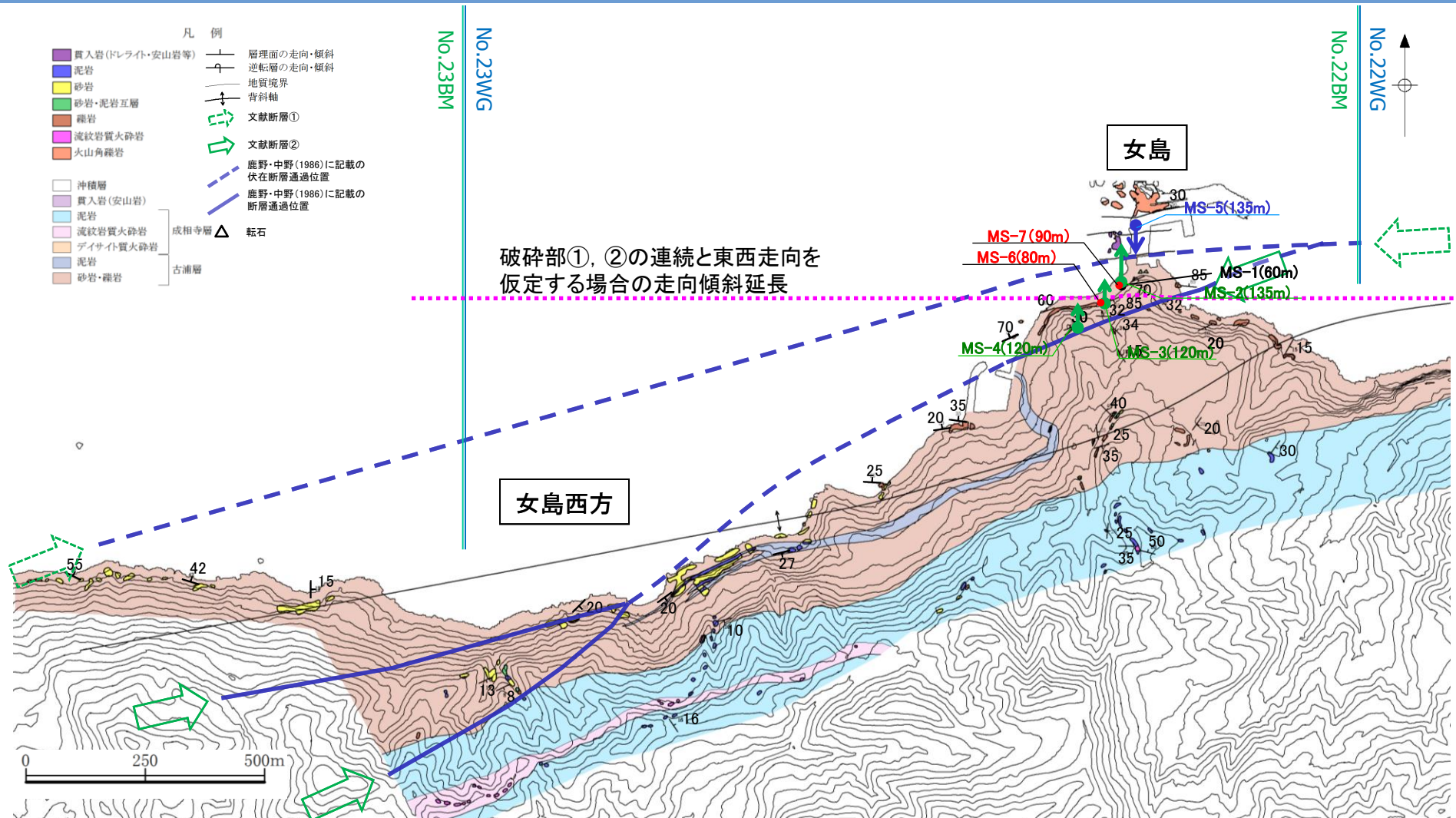
女島(女島地点)(ボーリング調査(破碎部②の連続性))



- 各ボーリング孔における破碎部②(MS-4)の延長位置を確認したところ、MS-3の深度19.6mに該当することを確認した。
- 該当深度付近に、破碎部は認められない。



女島(女島地点)(ボーリング調査(破碎部①, ②の連続性))



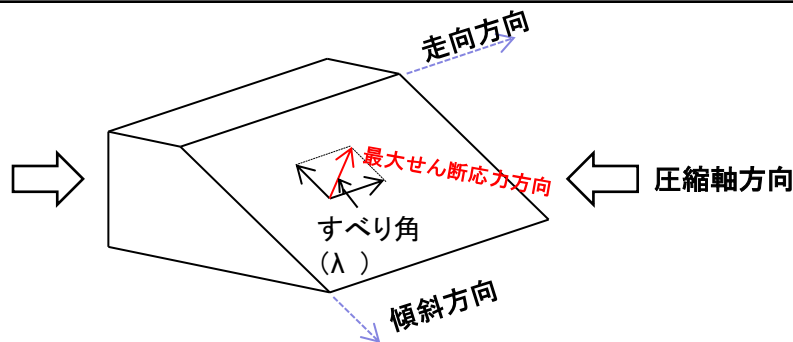
- ・破碎部①, ②が連続すると仮定した場合の破碎部の連続性について、東西走向を仮定し各ボーリング孔における破碎部の延長位置を確認したところ、いずれのボーリング孔にも交差しないことが確認された。
- ・このため、音波探査測線において破碎部の延長位置及び文献断層通過位置を確認し、該当位置付近の記録を確認した。
- ・破碎部の延長位置及び文献断層通過位置付近に、断層活動を示唆する変状は認められない。

女島(女島地点)(ボーリング調査(破碎部の活動性))

破碎部の連続性は認められないが、仮に連続するとした安全側の評価として、「破碎部の条線観察結果」、「現在の東西圧縮応力場で推定されるすべり角計算値」及び「横ずれ断層の端部性状に係る文献調査結果」より、破碎部の活動性を検討する。

【検討方法】

すべり角は断層面上の最大せん断応力方向と一致するという仮定に基づき、現在の応力場を東西圧縮応力場として推定される破碎部①、②、③のすべり角を推定し、条線方向と比較検討した。



破碎部	観察結果			計算値 東西圧縮応力場で推定されるすべり角(λ_1)	検討結果
	走向	傾斜	条線方向		
破碎部①	N65E (概ね東西系)	78S	70° 左回転 (逆断層センス)	5° 右回転 (右横ずれ断層センス)	走向: 文献断層①と概ね対応する。 条線方向: 東西圧縮応力場で推定されるすべり角と対応しない。
破碎部②	N86E (東西系)	85S	90° 左回転 (逆断層センス)	0° (右横ずれ断層センス)	走向: 文献断層①と対応する。 条線方向: 東西圧縮応力場で推定されるすべり角と対応しない。
破碎部③	N1W※ (南北系)	56E	70° 左回転 (逆断層センス)	(90° 左回転) (逆断層センス)	※南北走向であることから、東西走向の文献断層①と対応しない。

【条線観察結果】: 破碎部①、②の条線方向は、「縦ずれ優勢(逆断層センス)」を示す。

【すべり角計算値】: 現在の東西圧縮応力場で推定される破碎部①、②のすべり角は、「横ずれ」を示す。

【検討結果】: 破碎部①、②の条線方向は、東西圧縮応力場で推定されるすべり角と対応しない。

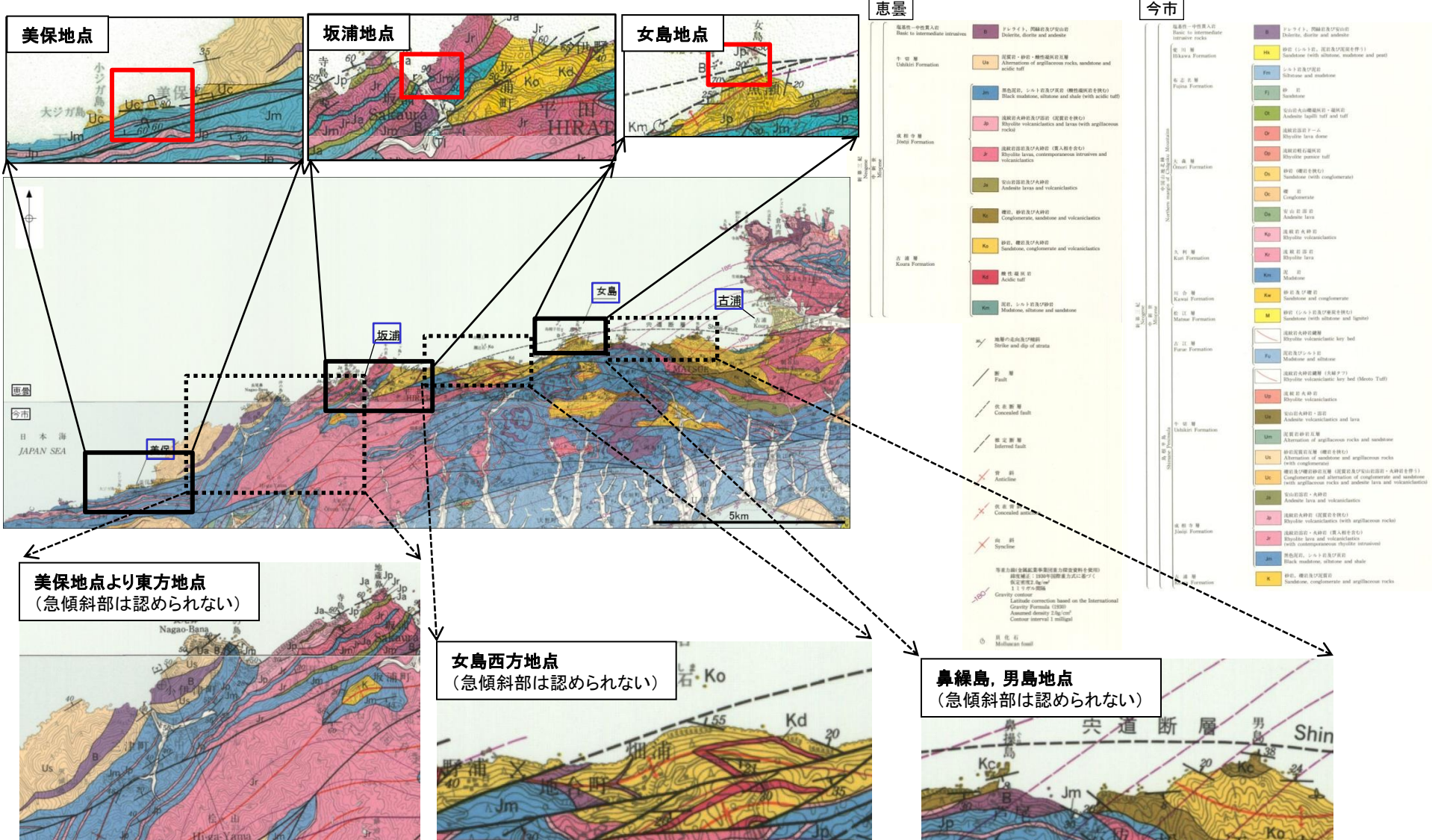
【文献調査結果】: 栗田ほか(1996)⁽³²⁾の地震断層の変位量分布によると、右横ずれ逆断層の北淡地震断層系では、全域で水平変位とともに鉛直変位が確認されており、断層線が屈曲、ステップ、分岐する端部付近においても、水平変位と鉛直変位が認められ、鉛直変位が卓越する傾向は認められない。

女島(女島地点)(ボーリング調査(性状比較))

項目	南講武 (後期更新世以降の活動が認められる断層)	女島 (破碎部①, ②, ③)
地形	変位地形・リニアメント(Aランク)が認められる。	変位地形・リニアメントは認められない。
粘土幅	10cm	数mm
針貫入試験 (せん断面近傍, 破碎部)	(せん断面近傍)極めて軟質なため針貫入勾配は測定不能である。	(破碎部)針貫入勾配は, 0.65~1.25N/mmを示す。
基盤岩の性状	活断層を挟んだ基盤岩が, 幅約16mの区間が著しく破碎を被っている。	破碎部近傍の基盤岩が, 破碎を被っていない。
針貫入試験 (基盤岩)	著しく破碎を被っている範囲の基盤岩の針貫入勾配は3.0N/mm以下と軟質である。	破碎部近傍の基盤岩が, 硬質であり貫入不能である。
破碎部の連続性	連続性の良いせん断面が認められる。	破碎部①, ②, ③が確認されたが, それらの走向・傾斜等から, 連続する構造ではないと考えられる。
運動センス	横ずれ断層センスを示す。 (横ずれ断層に特徴的な構造が認められる。)	縦ずれ優勢の逆断層センスを示す。
活動時期	東西圧縮応力場の下にある後期更新世以降に活動している。	東西圧縮応力場の下にある後期更新世以降に活動したものではないと評価した。

・女島の破碎部と, 南講武の断層(宍道断層)の比較検討の結果, 性状等が著しく異なる。

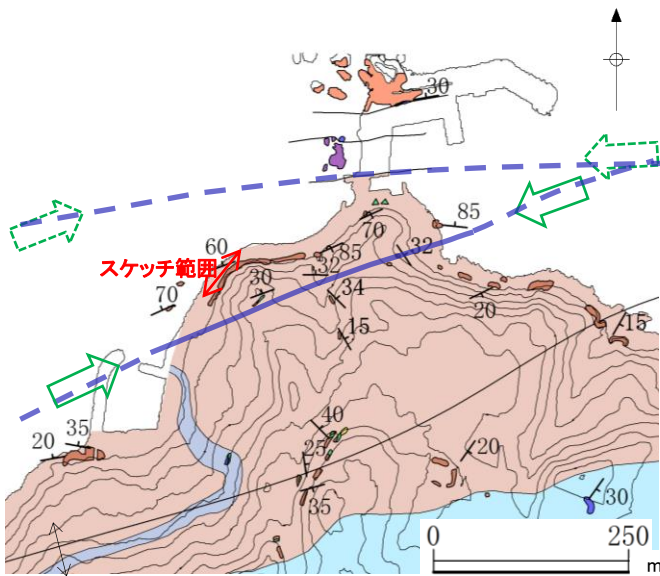
女島(地層の急傾斜部に係る検討)



鹿野・中野(1986), 鹿野・竹内ほか(1991)によると、地質断層としての宍道断層の通過位置上における地層の急傾斜部は、古浦～女島～美保地点の区間では女島地点と美保地点に示されているが、その他地点では示されていない。なお、坂浦地点では、宍道断層の通過位置の北側に地層の急傾斜部が示されている。

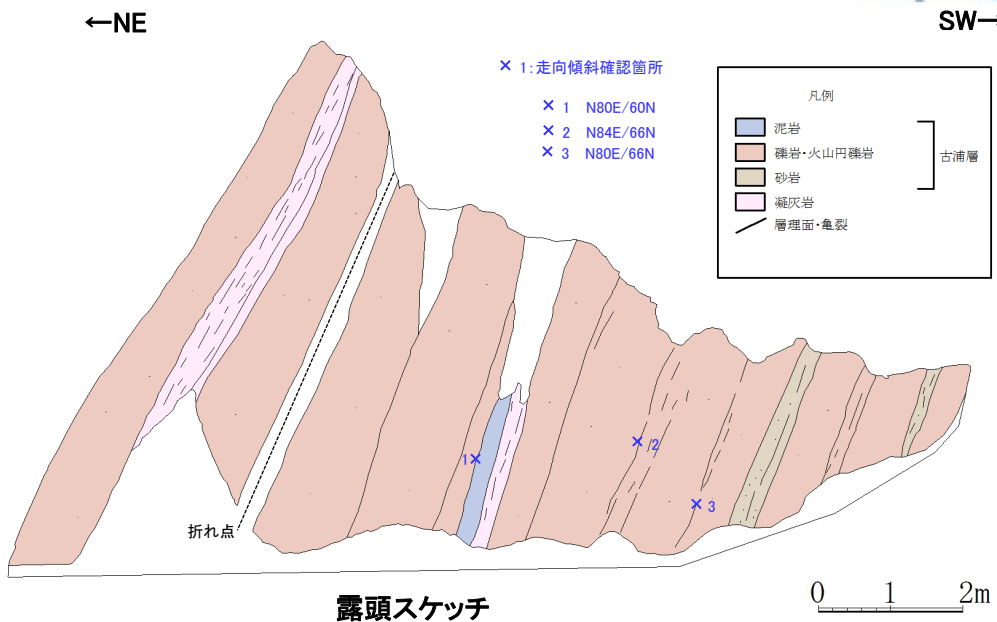
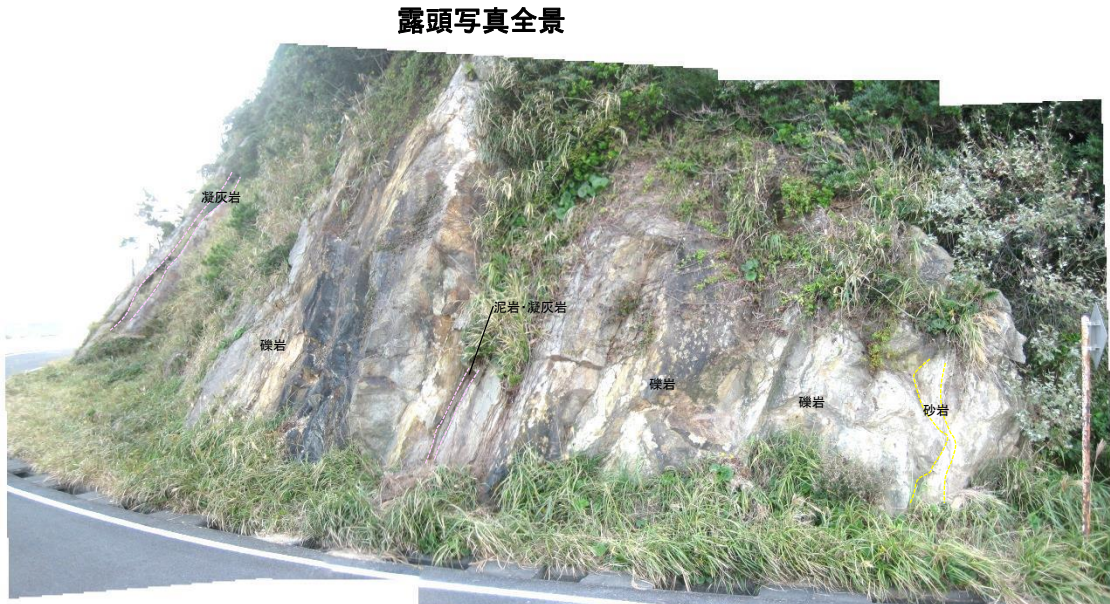
以上のことから、女島地点、美保地点及び坂浦地点の地層の急傾斜部の性状を詳細に観察した。

女島(地層の急傾斜部の性状(女島地点))



凡例	
貫入岩(トレライ特・安山岩等)	層理面の走向・傾斜
泥岩	逆転層の走向・傾斜
砂岩	地質境界
砂岩・泥岩互層	背斜軸
礫岩	文献断層①
流紋岩質火砕岩	文献断層②
火山角礫岩	鹿野・中野(1986)に記載の 伏在断層通過位置
沖積層	鹿野・中野(1986)に記載の 断層通過位置
貫入岩(安山岩)	△ 軟石
泥岩	
デイサイト質火砕岩	
泥岩	
礫岩・火山円礫岩	
成相寺層	
古浦層	

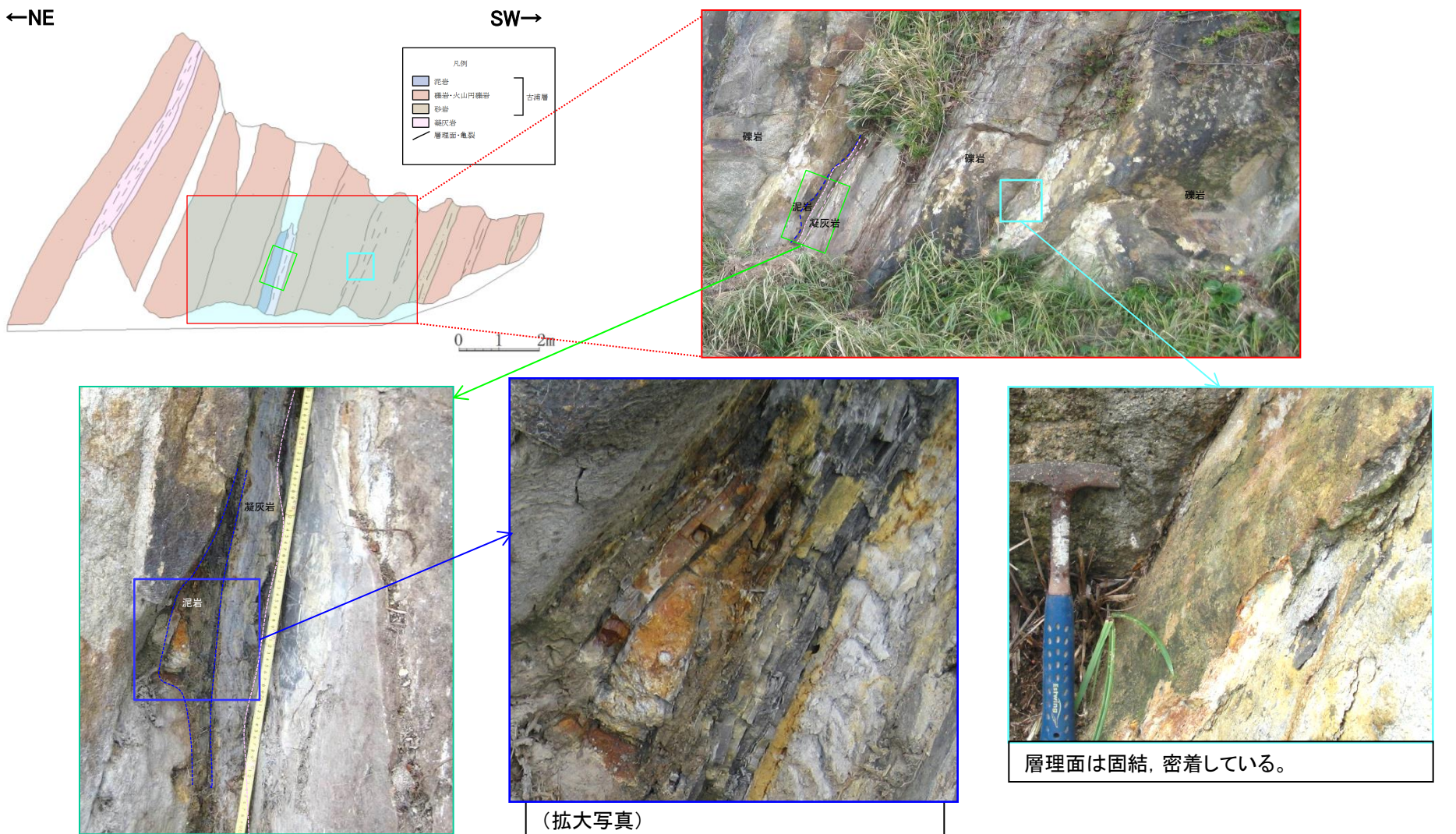
地質断層としての宍道断層の通過位置上における地層の急傾斜部は、古浦層の礫岩・火山円礫岩及び一部泥岩・凝灰岩の薄層からなる。一部の凝灰岩は風化作用により明灰色の粘土混りシルト状となるが、上方及び下方へは連続しない。また、層理面沿いは固結密着している。
以上のことから、固結後の断層活動は認められない。



女島(地層の急傾斜部の性状(女島地点))

←NE

SW→



層厚約20cmの泥岩・凝灰岩で明瞭な葉片状の層理面が発達している。地層下位の凝灰岩は風化作用により明灰色の粘土混リシルト状となるが、上方及び下方へは連続しない。

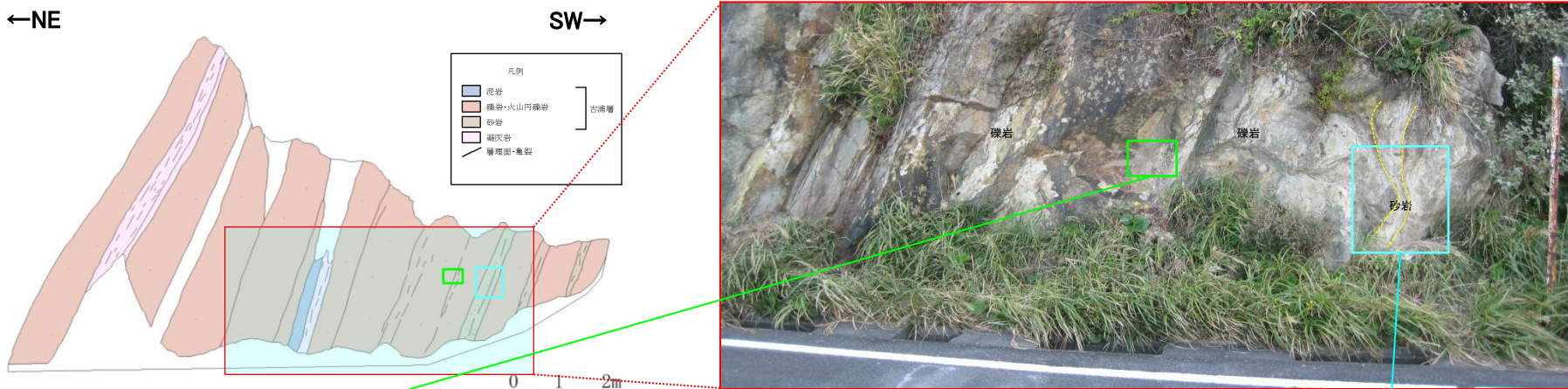
(拡大写真)

凝灰岩は、明瞭な葉片状の層理面が発達し、層理面は固結、密着している。
泥岩中には、扁平した偽礫等の未固結時の変形が認められる。

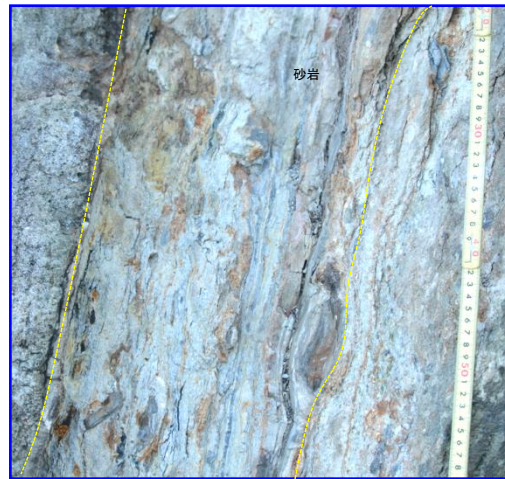
女島(地層の急傾斜部の性状(女島地点))

←NE

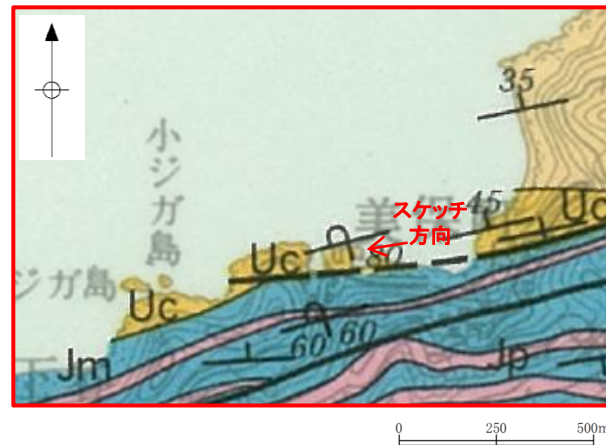
SW→



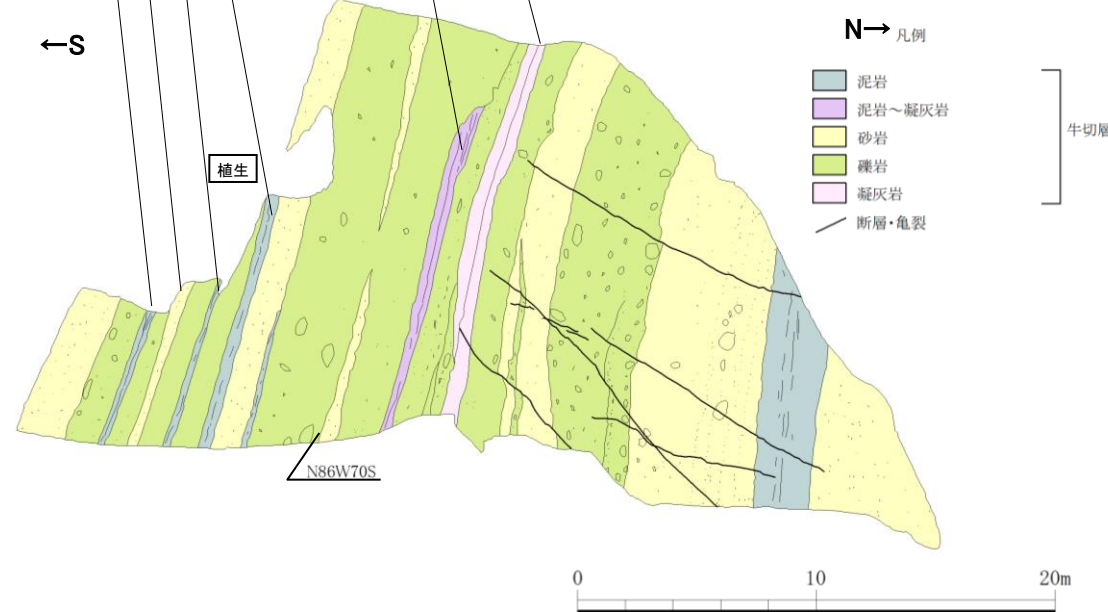
層理面は固結、密着している。

(拡大写真)
砂岩は、明瞭な葉片状の層理面が発達し、
層理面は固結、密着している。層厚約25cmの砂岩で泥岩を葉片状に挟み、
細かな亀裂が発達している。

女島(地層の急傾斜部の性状(美保地点))

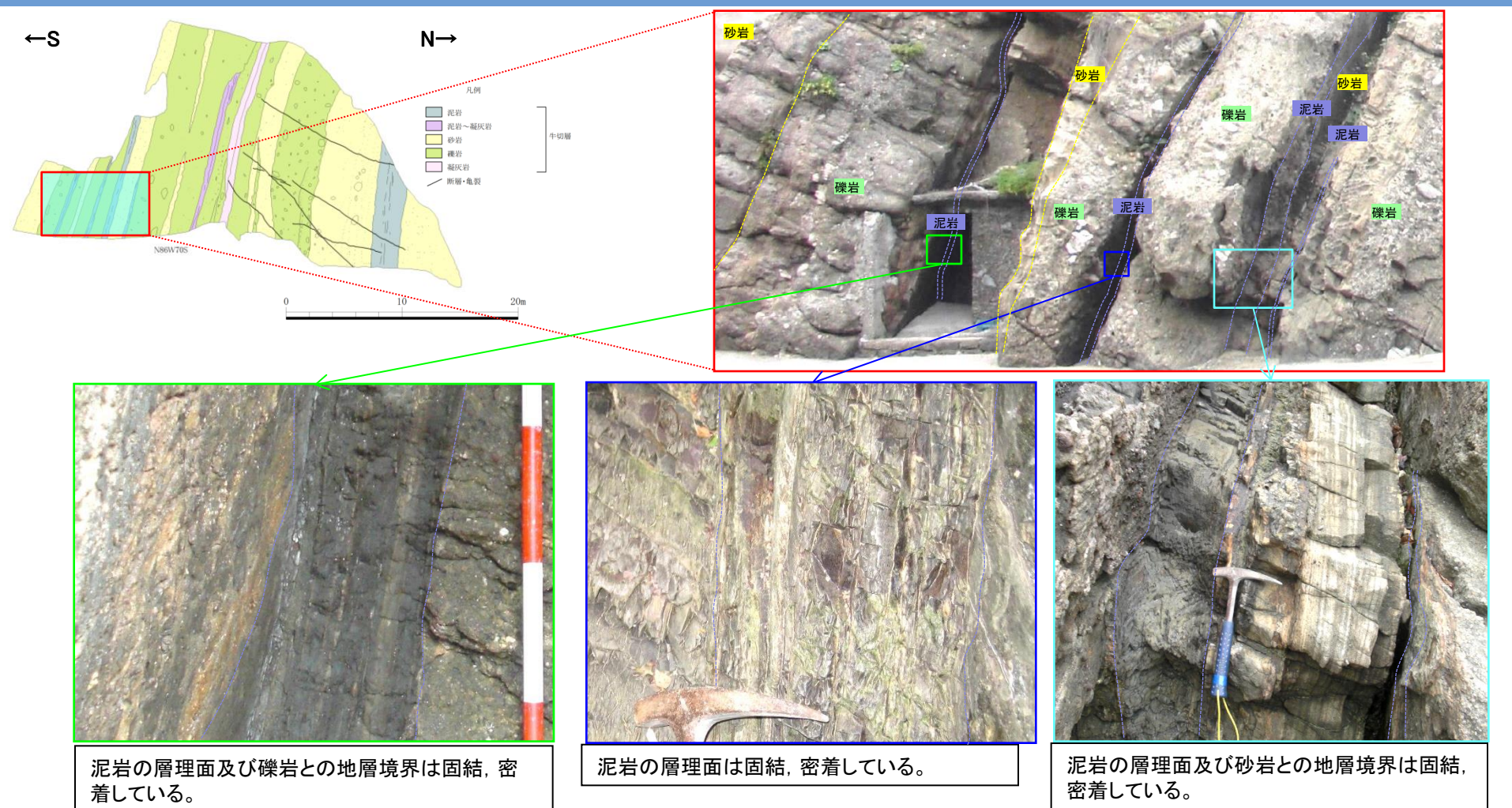


凡例	
牛切層	Us 砂岩泥質岩互層(礫岩を挟む) Uc 磨岩及び礫岩砂岩互層(泥質岩及び安山岩溶岩・火碎岩を伴う) Ja 安山岩溶岩・火碎岩 Jp 流紋岩火碎岩(泥質岩を挟む) Jr 流紋岩溶岩・火碎岩(貫入相を含む) Jm 黒色泥岩、シルト岩及び頁岩
	地層の走向及び傾斜 直立層 逆転層 断層 推定断層 伏在断層
成相寺層	

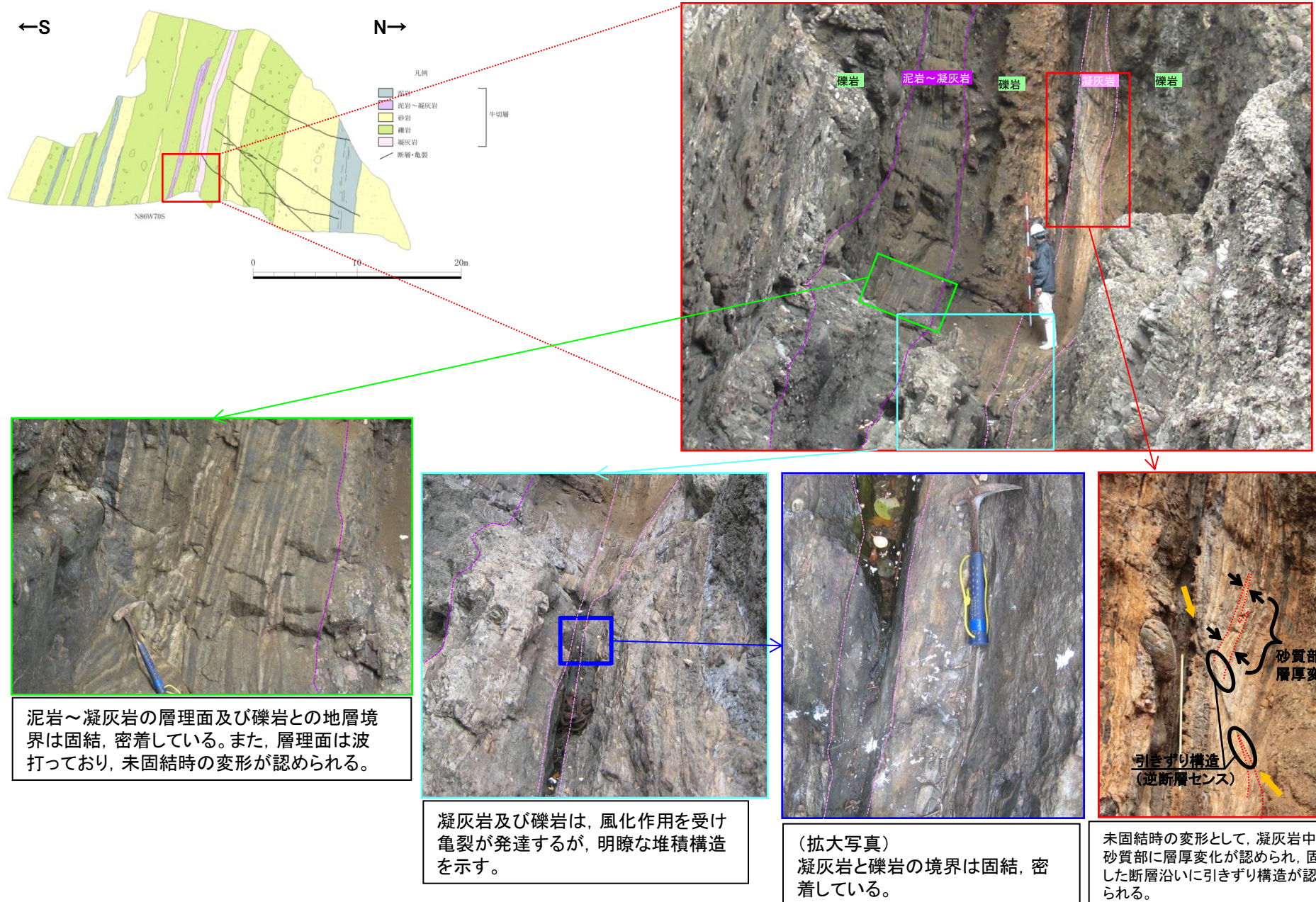


- 地質断層としての宍道断層の通過位置上における地層の急傾斜部は、牛切層の礫岩・火山円礫岩及び一部泥岩及び凝灰岩の薄層からなり、急傾斜を示す層理面沿いは固結、密着している。
- 凝灰岩は、風化作用を受け亀裂が発達しやや軟質であるが、礫岩との境界部は固結、密着している。
- 以上のことから、固結後の断層活動は認められない。

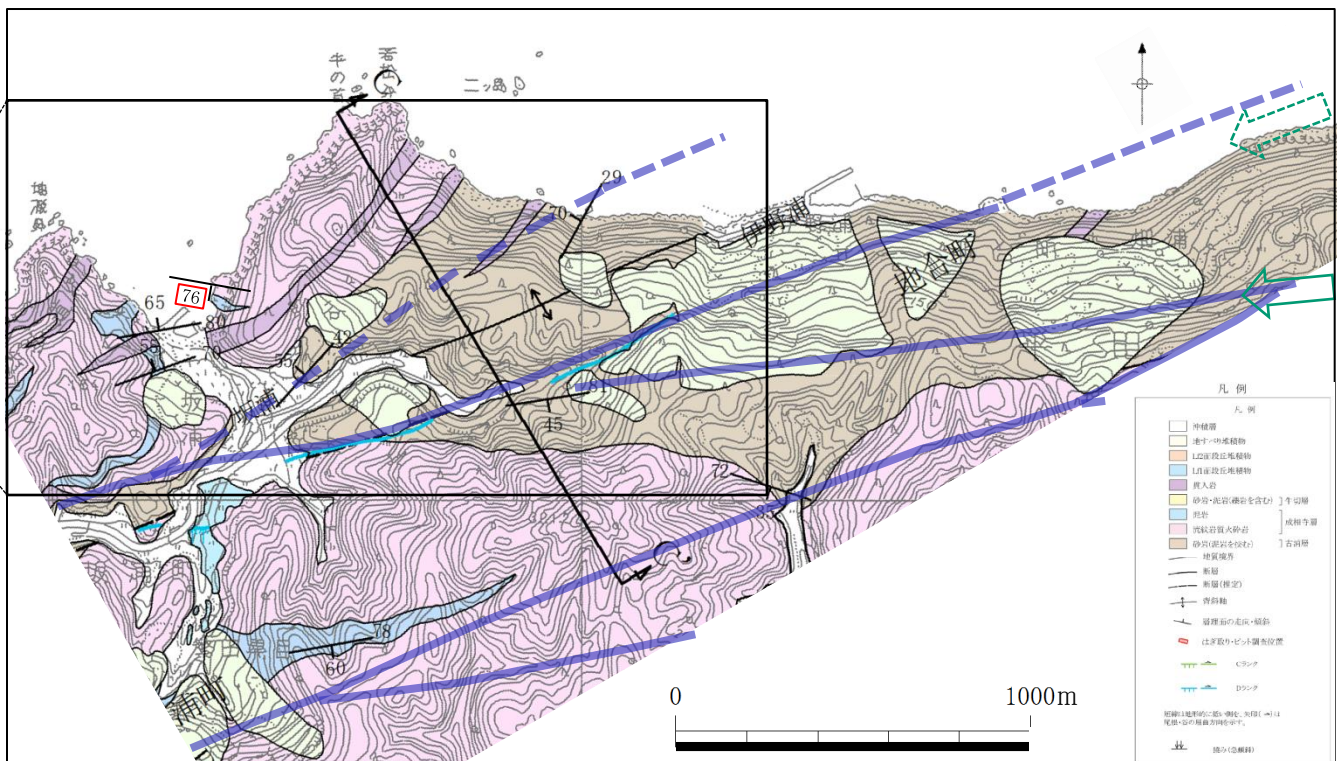
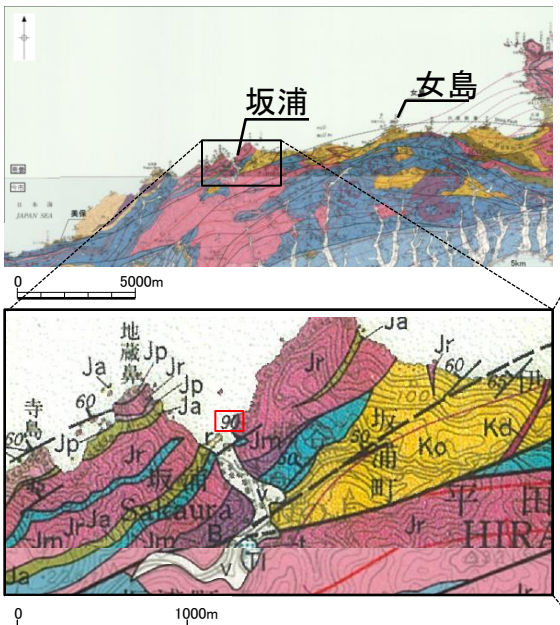
女島(地層の急傾斜部の性状(美保地点))



女島(地層の急傾斜部の性状(美保地点))



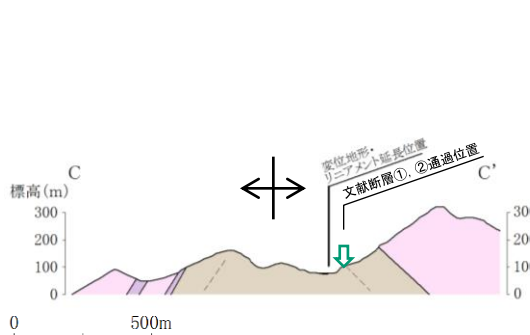
女島(地層の急傾斜部の性状(坂浦地点))



・鹿野・中野(1986)によると、地質断層としての宍道断層の通過位置の北側である、坂浦地点で最大90° 地層が傾斜するとされている。

・地表地質踏査の結果、貫入岩付近に文献と同様に地層の急傾斜部が認められるが、貫入岩の末端に向かって地層が緩くなり、大局的には背斜軸から北では北傾斜を示す。

・文献断層及び変位地形・リニアメント延長位置付近には急傾斜部は認められない。



文献による断層
文献による推定断層
文献による伏在断層

文献断層①

文献断層②

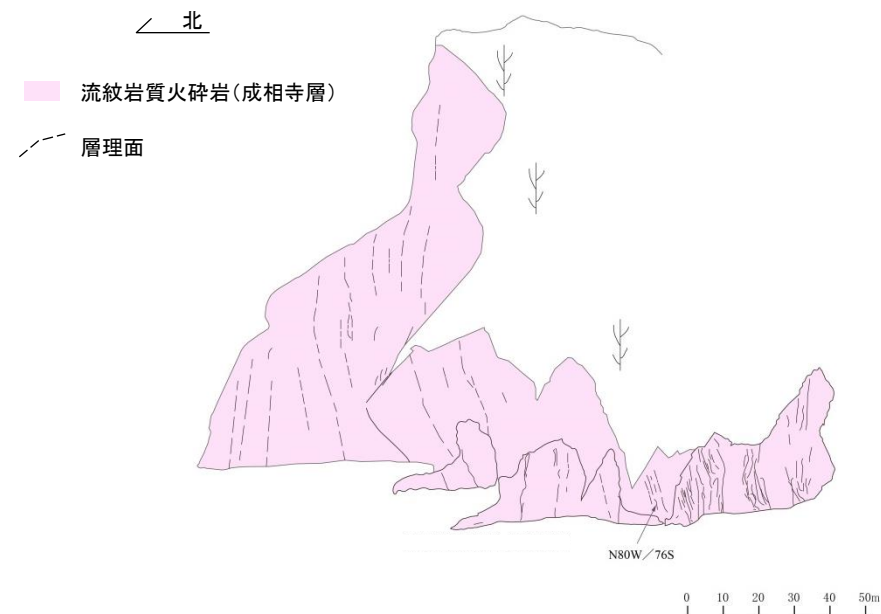
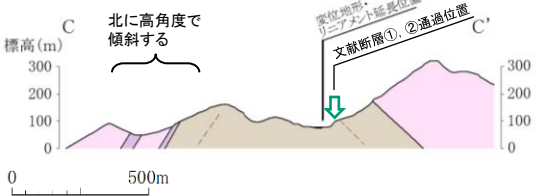
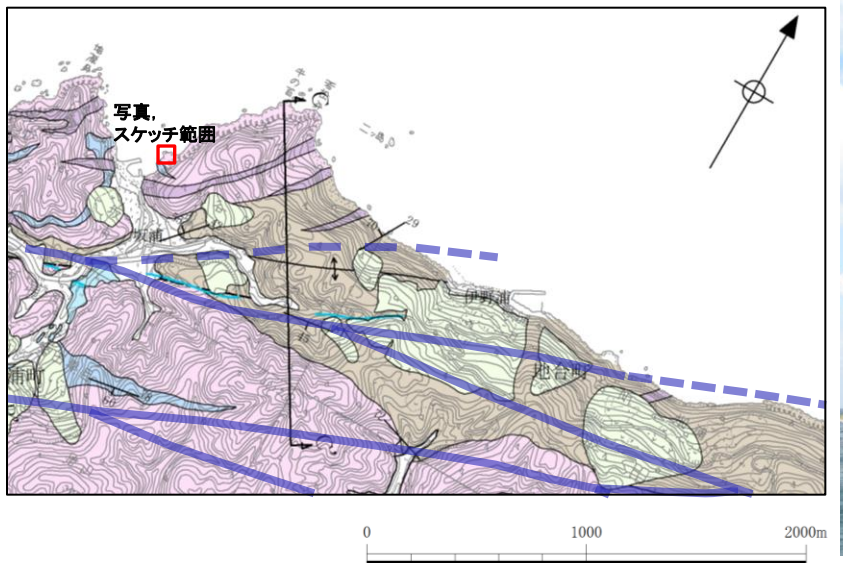
女島(地層の急傾斜部の性状(坂浦地点))

凡例

凡例	
沖積層	
地すべり堆積物	
山面疊合堆積物	
山面疊合堆積物	
貫入岩	
砂岩(花崗岩を含む)	牛切層
泥岩	
流紋岩質火碎岩	成相寺層
砂岩(花崗岩を含む)	古瀬層
地盤境界	
断層	
断層(推定)	
脊軸	
層理面の走向・傾斜	
はさ取りヒッチ調査位置	
Cブロック	
Dブロック	

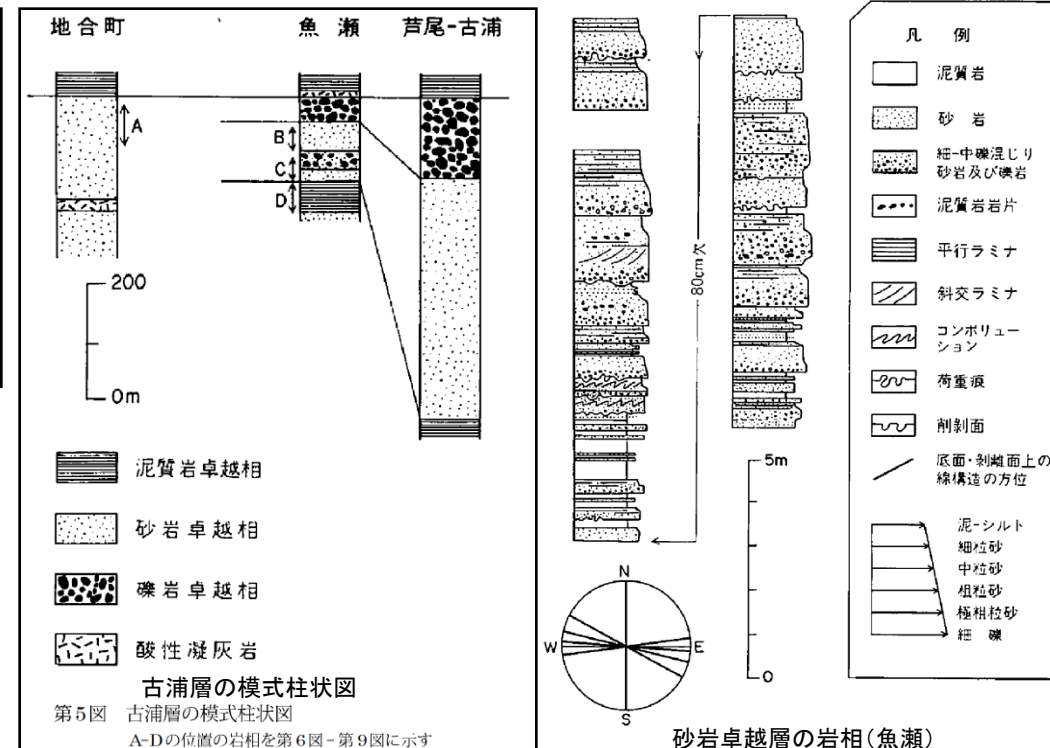
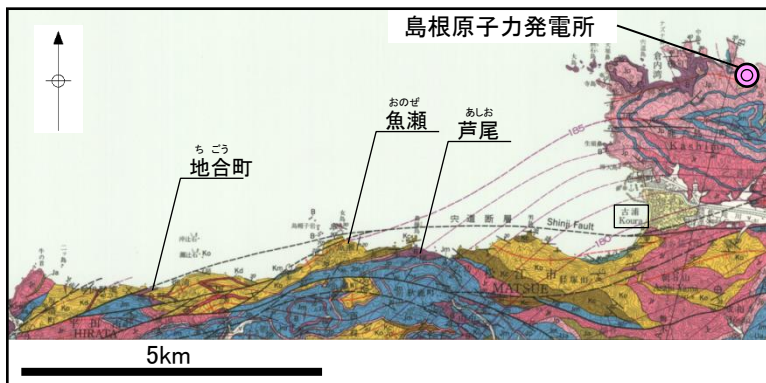
範囲は地形的に低い側を、矢印(→)は実勢等谷の屈曲部位を示す。

文献による断層
文献による推定断層
文献による伏在断層



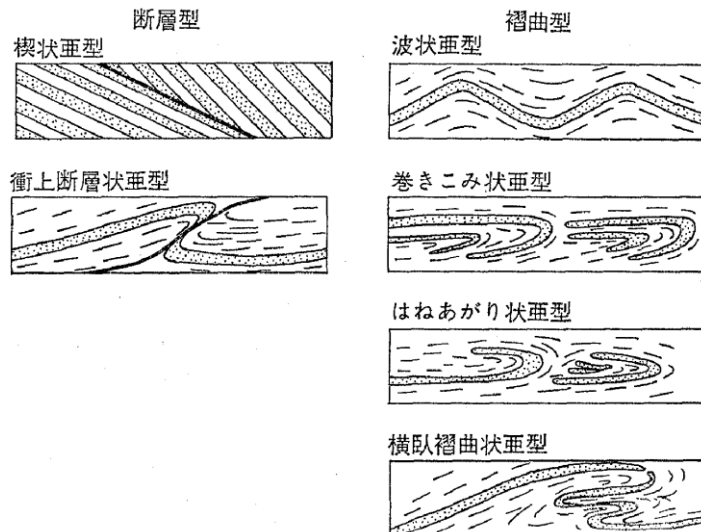
・坂浦の急傾斜部は、成相寺層の流紋岩質火碎岩から成り、急傾斜を示す露頭に断層は認められない。

女島(地層の急傾斜部の成因(文献調査(古浦層の堆積構造)))

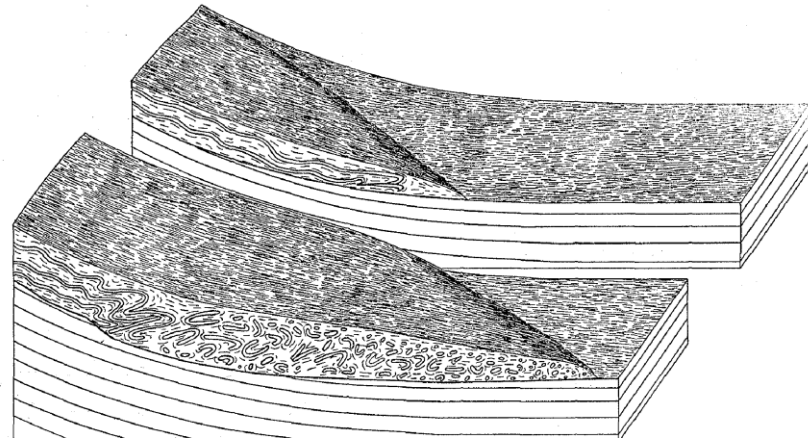


- 鹿野・中野(1986)によると、古浦層は、下部の方で泥質岩が卓越し、上位に向かうにつれて砂岩～礫岩が卓越するようになるとされている。また、砂岩は下部の方でタービダイトあるいはタービダイト類似の特徴を示すものが多いとされている。
- 鹿野・中野(1986)によると、古浦層の堆積環境は、上位層準ほど粗粒堆積物が卓越する等の特徴から、堆積場の水深が次第に浅くなったか、堆積物の供給源が近い所に迫ってきたことを意味しているとし、泥質岩は湖の静かな水底に堆積したことを示し、上方に向かうにつれてそこにより粗粒の重力流堆積物が流入するようになり、扇状地を形成したとされている。また、粗粒の重力流堆積物は扇状地のチャネル堆積物と考えられるとされている。
- 古川ほか(2008)⁽³³⁾によると、古浦層中部～上部の地層に対して堆積相解析の方法を適用して、堆積環境の復元を試みた結果、波浪堆積構造やスランプ堆積物が頻繁に見られることから、この地層は比較的浅い斜面環境の地層であるとし、ファンデルタの地層が推定されるとされている。

女島(地層の急傾斜部の成因(文献調査(中新統内の乱堆積構造)))

第2図 亂堆積構造の分類
乱堆積(スランプ)構造の分類

山内(1977)より引用

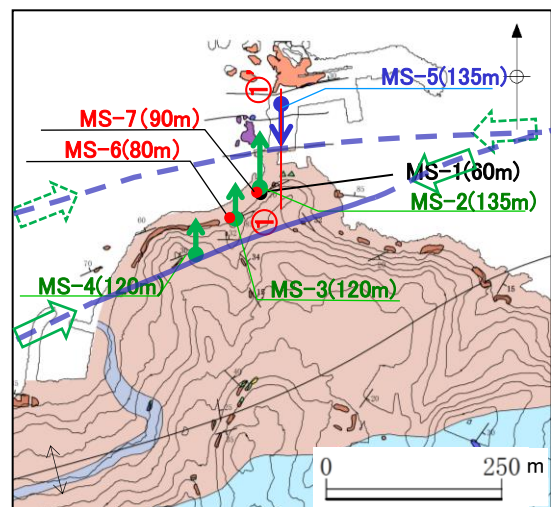
第16図 典型的な乱堆積構造の三次元モデル
縦方向を誇張してある
典型的な乱堆積(スランプ)構造の三次元モデル

山内(1977)より引用

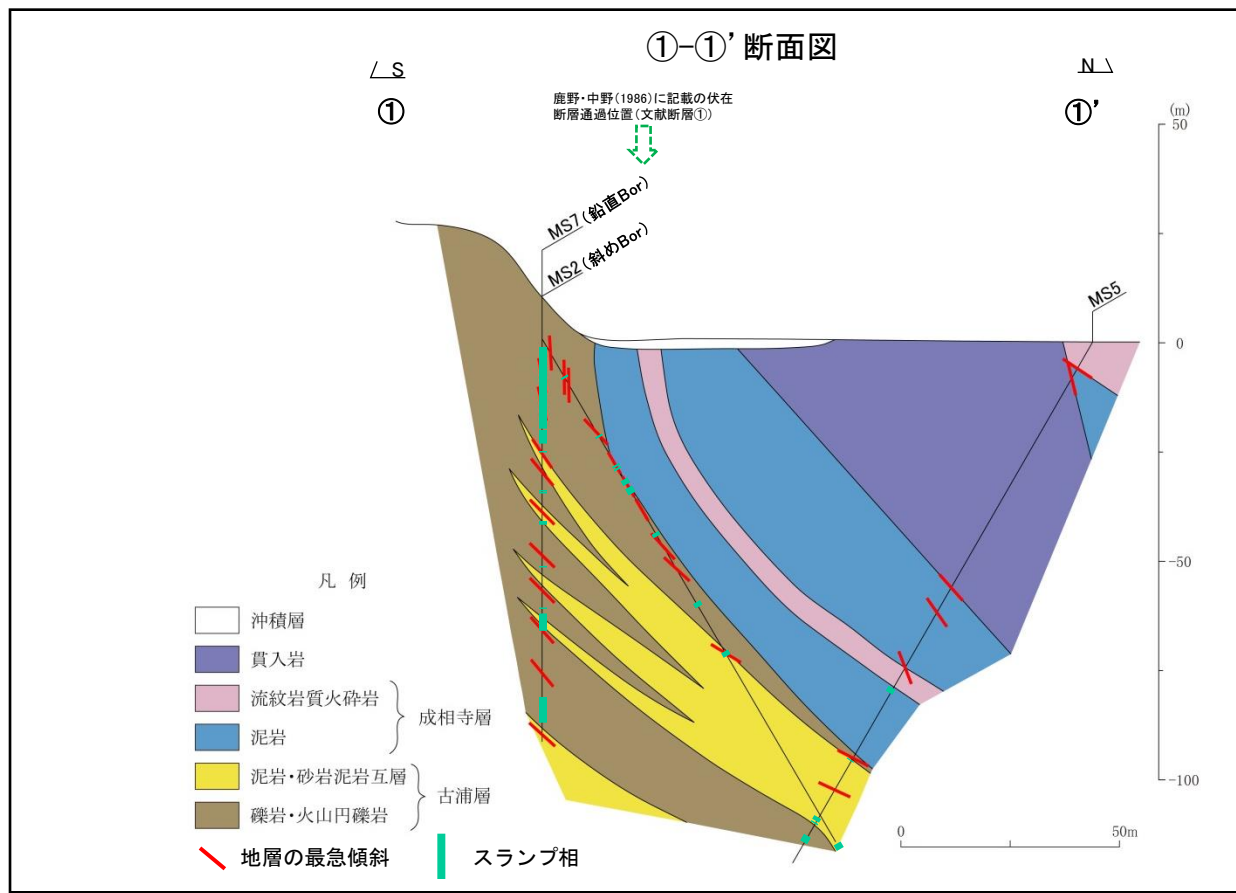
- ・山内(1977)⁽³⁴⁾によると、秩父盆地を事例として中新統内の乱堆積(スランプ)構造の形態的特徴を3つの型と9つの亜型に区分されている。また、山内(1977)は、乱堆積(スランプ)構造が比較的発達した段階の三次元モデルを示している。
- ・山内(1979)⁽³⁵⁾によると、中新統内の乱堆積(スランプ)層は特定の層準に密集して発達しているものが多いとされている。また、山内(1979)は、乱堆積(スランプ)層を形成した海底地すべり(スランピング)の成因について、堆積物の可動性(滑動層の存在、滑動性に影響を与える岩相の相違等)と堆積面の傾斜にあるとし、後者について海底地すべりが発生した古海底斜面の傾斜を計算した結果、 $3\sim10^\circ$ の緩傾斜であることを示している。

女島

(地層の急傾斜部の成因(スランプ相の分布(①-①' 断面図)))

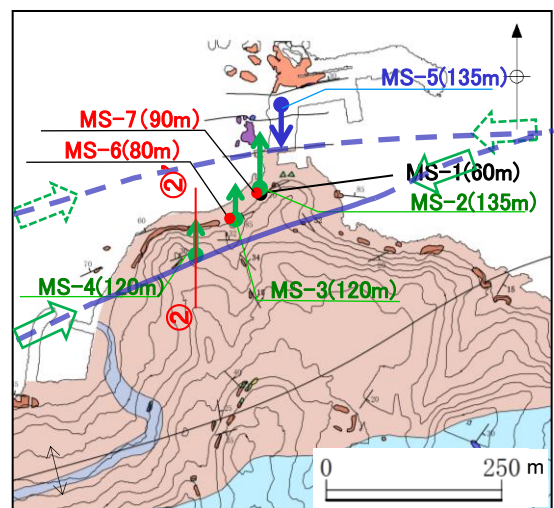


凡 例	
貫入岩(ドレライト・安山岩等)	層理面の走向・傾斜
泥岩	逆転層の走向・傾斜
砂岩	地質境界
砂岩・泥岩互層	背斜軸
礁岩	文献断層①
流紋岩質火砕岩	文献断層②
火山角礫岩	鹿野・中野(1986)に記載の 伏在断層通過位置
冲積層	鹿野・中野(1986)に記載の 断層通過位置
貫入岩(安山岩)	文献断層①
泥岩	文献断層②
ディサイト質火砕岩	鹿野・中野(1986)に記載の 伏在断層通過位置
泥岩	断層通過位置
礁岩・火山角礫岩	転石
成相寺層	
古浦層	

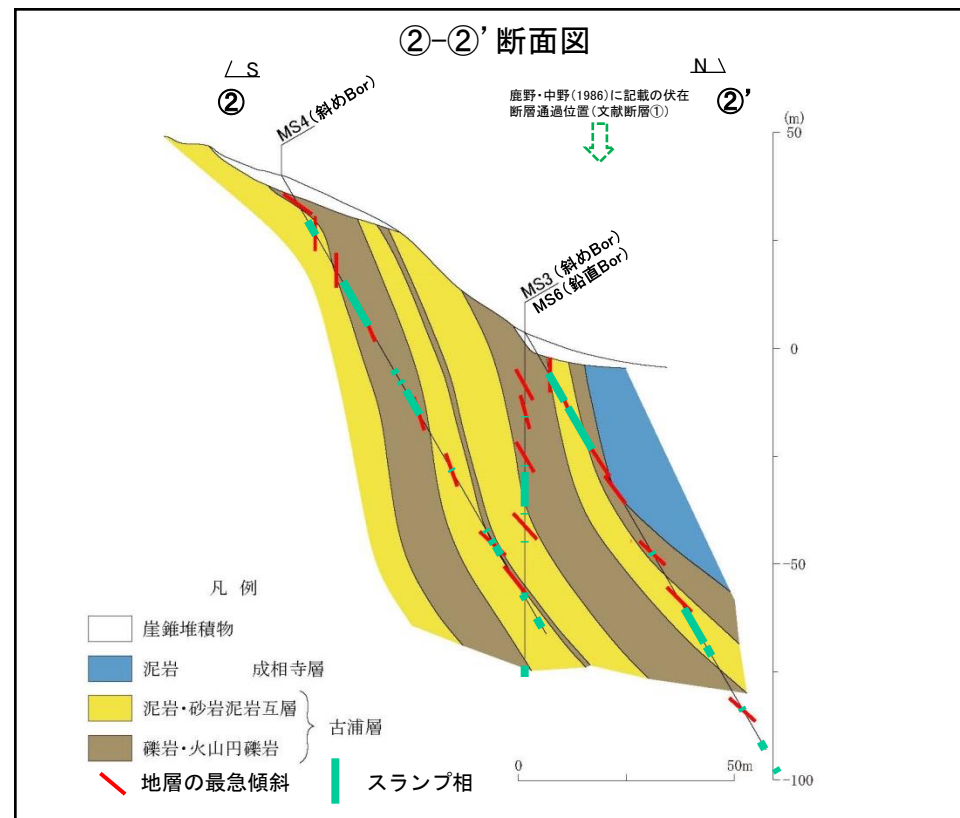


- ボーリング調査の結果、古浦層には、偽礫を含む堆積層が複数箇所で認められ、また、一部で堆積構造の乱れやスランプ褶曲が認められる(スランプ相)。これらの堆積構造は、古浦層中部～上部の地層に対して認められる未固結時の堆積構造(スランプ構造)と考えられ(古川ほか(2008)等)、女島では、比較的小規模であり連続性に乏しい。
- スランプ相の分布と地層の傾斜との関係は認められない。

女島(地層の急傾斜部の成因(スランプ相の分布(②-②' 断面図)))

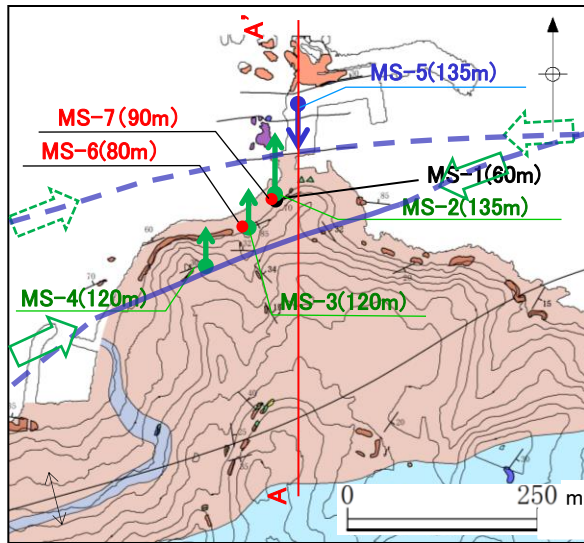


凡 例	
貫入岩(ドレレイ、安山岩等)	層理面の走向・傾斜
泥岩	逆転層の走向・傾斜
砂岩	地質境界
砂岩・泥岩互層	背斜軸
礫岩	
流紋岩質火砕岩	文献断層①
火山角礫岩	文献断層②
冲積層	鹿野・中野(1986)に記載の 伏在断層通過位置
貫入岩(安山岩)	鹿野・中野(1986)に記載の 断層通過位置
泥岩	
デイサイト質火砕岩	転石
泥岩	
礫岩・火山円礫岩	
成相寺層	
古浦層	

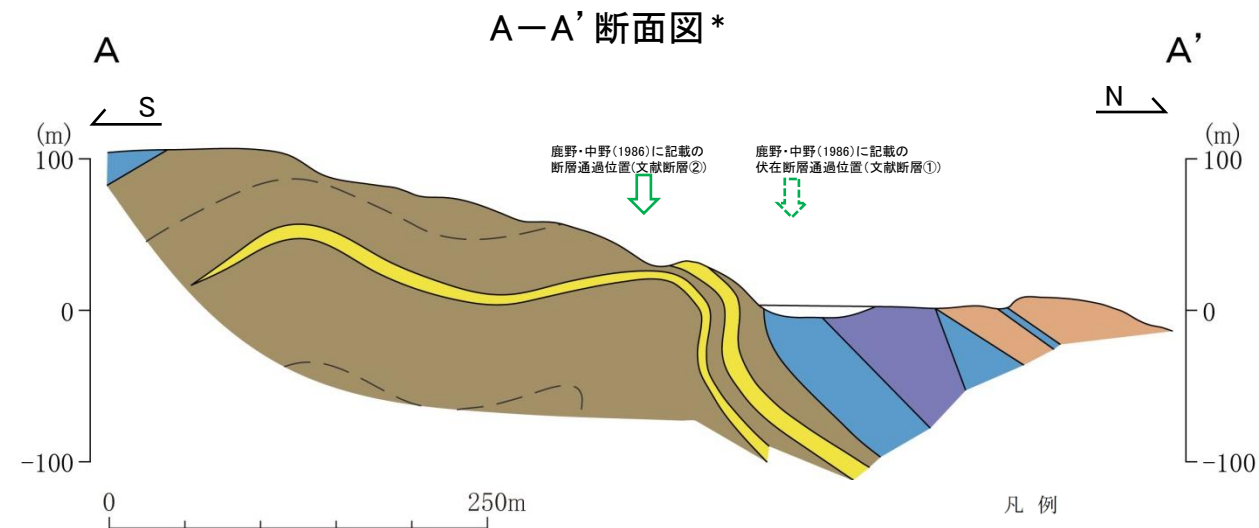


- ボーリング調査の結果、①-①' 断面図と同様に、古浦層において、比較的小規模であり連續性に乏しいスランプ構造が認められる。
- スランプ相の分布と地層の傾斜との関係は認められない。

女島(まとめ)



凡 例	
貫入岩(ドレライト・安山岩等)	層理面の走向・傾斜
泥岩	逆転層の走向・傾斜
砂岩	地質境界
砂岩・泥岩互層	背斜軸
礫岩	
流軟岩質火砕岩	文献断層①
火山角礫岩	文献断層②
	鹿野・中野(1986)に記載の 伏在断層通過位置
	鹿野・中野(1986)に記載の 断層通過位置
	鹿野・中野(1986)に記載の 断層通過位置
	転石
沖積層	
貫入岩(安山岩)	
泥岩	
ディサイト質火砕岩	
泥岩	
礫岩	
火山角礫岩	
	成相寺層
	古浦層



* 地表地質踏査及びボーリング調査結果から、A-A' 断面を作成
(①-①' 断面を基本とし、②-②' 断面を参考に作成)

沖積層	
貫入岩	
火山角礫岩	成相寺層
泥岩	
泥岩・砂岩泥岩互層	古浦層
礫岩・火山円礫岩	

女島(まとめ)

1. 文献調査

- ・鹿野・中野(1986)によると、地質断層としての宍道断層について、「古浦から西方での行方は確認されていないが、その延長に当たる魚瀬や、更に西方に宍道断層と同規模の北上がり高角逆断層があることから、それに続く可能性が高い。宍道断層やその延長部に当たる断層の南側にある断層の多くは北あるいは南傾斜40-90°の逆断層で宍道断層同様複背斜を切っており、恐らく宍道断層とほぼ同時期に形成された。」とされている。
- ・鹿野・中野(1986)によると、女島地点において、地質断層としての宍道断層の延長に当たる可能性が高いとして、沿岸部に90°の急傾斜を示す古浦層と30°の緩傾斜を示す成相寺層との間に伏在断層(文献断層①)，その分岐断層として、陸域部に25°の緩傾斜を示す古浦層と70°の急傾斜を示す古浦層との間に断層(文献断層②)が示されている。また、文献断層②は、女島西方において、東北東-西南西方向の背斜軸を切る断層として示されている。
- ・山陰地域における応力場の変遷について、鹿野・吉田(1985)によると、中期～後期中新世頃まで主応力(σ_{Hmax})の方向はNS方向であり、宍道断層は中期中新世末期～後期中新世に形成されたとしている。また、多井(1973)を引用し、宍道褶曲帯を形成した運動は、和久羅山安山岩噴出(後期中新世末期)前に終了したと考えられているとしている。

2. 変動地形学的調査

- ・鹿島町古浦～福原町の間は尾根・谷の系統的かつ明瞭な右屈曲が認められるが、古浦西方においては、変位地形・リニアメントは認められない。さらに、宍道断層の主要部が尾根・谷の右屈曲を示すのに対して、男島付近では左屈曲が認められる。
- ・女島付近においては、変位地形・リニアメントは認められない。

3. 地表地質踏査

(1) 女島西方地点

- ・文献断層②の通過位置付近の沿岸部の露頭に断層は認められない。
- ・女島から女島西方まで背斜軸が通過し、連続した構造と考えられる。

(2) 女島地点

- ・文献断層②の通過位置付近の露頭に断層は認められない。また、古浦層の礫岩・火山円礫岩が緩やかな背斜・向斜を示すことから、断層は推定されない。
- ・急傾斜(85° 北)の古浦層の礫岩・火山円礫岩と、やや緩傾斜(30° 北)の成相寺層のディサイト質火碎岩が分布することから、文献断層①の通過位置付近に、南傾斜の逆断層が推定される。

1～3の調査結果から、文献断層②の通過位置付近に断層は認められない。急傾斜を示す古浦層と緩傾斜を示す成相寺層との間の文献断層①の通過位置付近に、南傾斜の逆断層が推定されることから、ボーリング調査により、断層の存否を確認した。

女島(まとめ)

4. ボーリング調査(女島地点)

(1) ①-①' 断面

- ・地表から約20mまでの地層は急傾斜を示し、それ以深の地層は緩傾斜を示しており、断層は認められない。また、傾斜変換部において、破碎部は認められない。
- ・古浦層内の地層は連続して分布していること及び古浦層と成相寺層が整合関係と考えられることから、地層に顕著な不連続は想定されない。
- ・古浦層と成相寺層の境界に文献断層①に相当する断層は認められない。
- ・成相寺層の泥岩に貫入岩が分布しており、貫入岩と貫入境界付近に、貫入後の断層活動は認められない。なお、鹿野ほか(1994)によると、塩基性-中性の貫入岩の年代は中期中新世～後期中新世とされている。

(2) ②-②' 断面

- ・文献断層①の通過位置付近において、細粒部を伴う破碎部①, ②, ③が認められる。
- ・地表から約20mまでの地層は急傾斜を示し、それ以深の地層は緩傾斜を示しており、傾斜変換部において破碎部は認められない。
- ・古浦層内の地層は連続して分布していることから、地層に顕著な不連続は想定されない。

a. 破碎部の連続性評価

- ・破碎部の連続性評価の結果、破碎部①はN65E/78S、破碎部②はN86E/85Sであることに対して、破碎部③はN1W/56Eであることから、破碎部①, ②と破碎部③の連続性は認められない。
- また、3次元的な詳細な検討により、各ボーリングにおける破碎部①及び破碎部②の走向傾斜延長に位置するコア性状の確認の結果、破碎部は認められないと等から、破碎部①, 破碎部②及び破碎部③の連続性は認められない。

b. 破碎部の活動性評価

- ・破碎部の活動性評価の結果、横ずれ断層の端部性状に係る文献調査では横ずれ断層の端部は鉛直変位が卓越する傾向は認められないことから、破碎部①及び破碎部②の縦ずれ優勢の条線は、横ずれ断層の端部性状を示すものではない。
- 更に、現在の東西圧縮応力場で推定される破碎部のすべり角は横ずれを示すと考えられるが、破碎部の条線観察結果は縦ずれ優勢を示すことから、現在の東西圧縮応力場に活動したものではないと評価した。

c. 破碎部と活断層との性状比較

- ・破碎部と後期更新世以降の活動が認められる断層(南講武地点)の性状の比較検討の結果、女島の破碎部の針貫入勾配が0.65～1.25N/mmを示すことに対して、南講武地点の破碎部は極めて軟質なため測定不能を示すこと等から、後期更新世以降の活動が認められる断層とは性状が著しく異なる。

(1), (2)の調査結果より、文献断層①の通過位置付近に、震源として考慮する活断層は認められない。

女島(まとめ)

5. 女島地点の地層の急傾斜部に係る検討

(1) 地層の急傾斜部の性状

- ・地質断層としての宍道断層の通過位置上における地層の急傾斜部は、古浦～女島～美保地点の区間では女島地点と美保地点に示されているが、その他地点では示されていない。なお、坂浦地点では、宍道断層の通過位置の北側に地層の急傾斜部が示されている。
- ・女島地点の地層の急傾斜部に関する露頭状況の調査の結果、急傾斜を示す層理面沿いは、概ね固結、密着していることから、固結後の断層活動は認められない。
- ・美保地点の地層の急傾斜部に関する露頭状況の調査の結果、急傾斜を示す層理面沿いは、固結、密着していることから、固結後の断層活動は認められない。
- ・坂浦地点の地表地質踏査の結果、文献と同様に貫入岩付近に地層の急傾斜が認められるが、貫入岩の末端に向かって地層が緩くなり、大局的には背斜軸から北では北傾斜を示す。また、急傾斜を示す露頭に断層は認められない。
- ・以上のことから、地層の急傾斜部の連続性は認められず、また少なくとも後期更新世以降の断層活動は認められない。

(2) 地層の急傾斜部の成因

- ・文献調査及びボーリング調査の結果、古浦層には、海底地すべりに伴うスランプ構造が複数認められるが、スランプ相の分布と地層の傾斜との関係は認められない。
- ・また、文献調査の結果、海底地すべりが発生する古海底斜面の傾斜は、 $3\sim10^\circ$ の緩傾斜であるとされている。
- ・以上のことから、地層の急傾斜部の成因は、海底地すべりによるものでなく、中期中新世頃から後期中新世頃までの南北圧縮応力場による褶曲運動の可能性が考えられる。

(1), (2)の調査結果より、女島地点の地層の急傾斜部の成因は、中期中新世頃から後期中新世頃までの南北圧縮応力場による褶曲運動によるものと評価した。

また、ボーリング調査等の結果、地層が非対称褶曲を示すことから、ボーリング調査範囲より更に深部に断層が存在する可能性は否定できないが、存在すると仮定した場合でも女島地点の連続露頭の調査の結果、少なくとも後期更新世以降の断層活動を示す性状が認められることから、震源として考慮する活断層ではないと評価した。

3. 穴道断層の評価

(4) 西端付近の断層活動性

西端付近の断層活動性(評価内容)

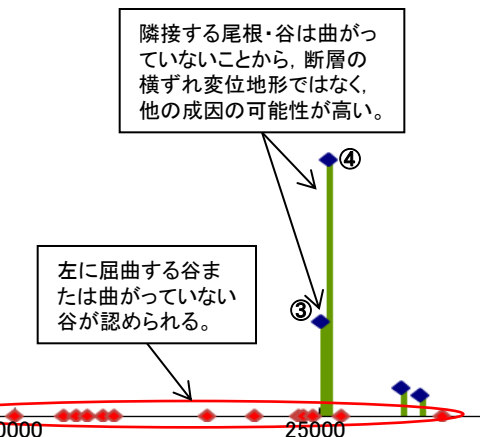
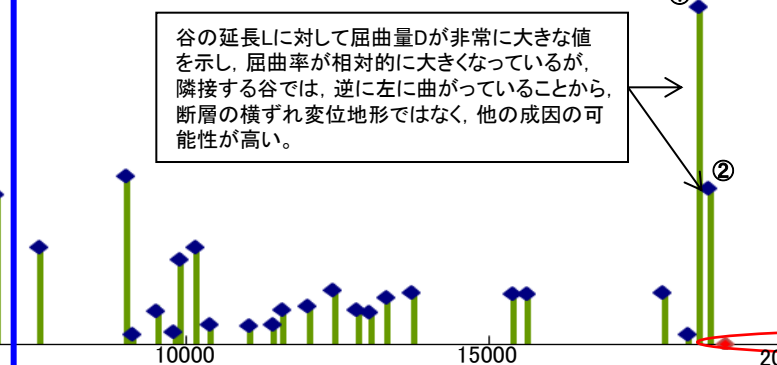
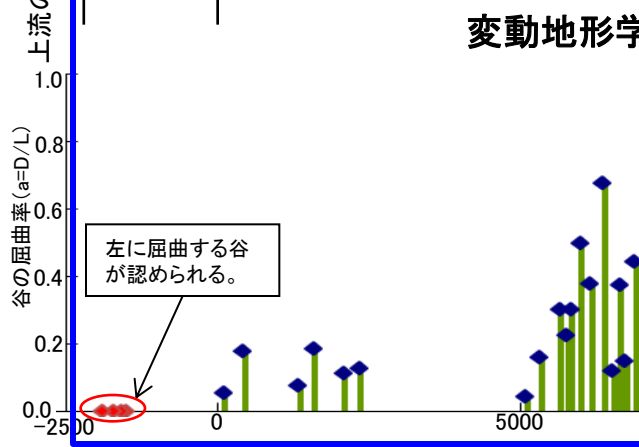
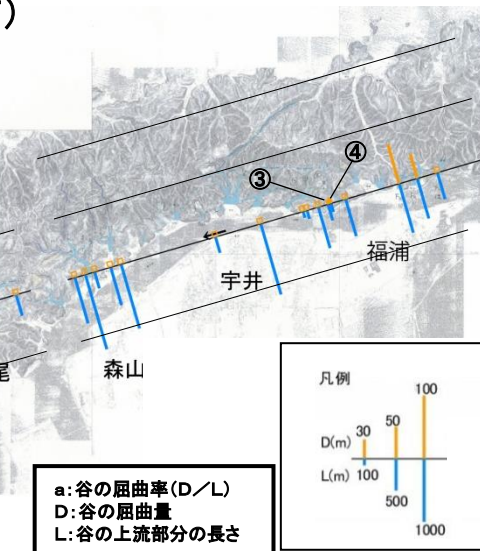
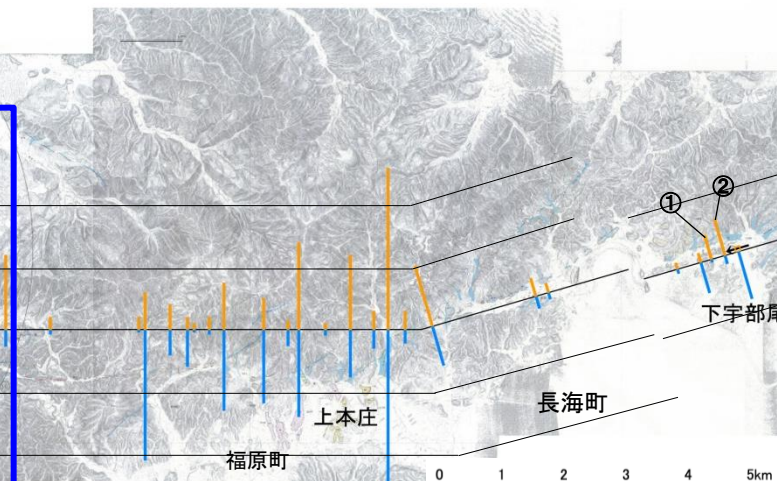
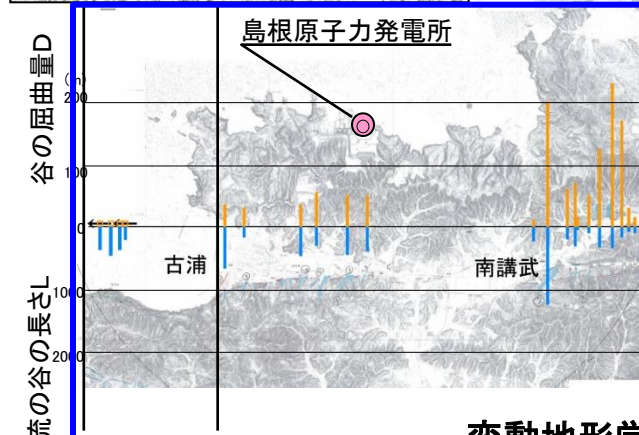
宍道断層の西端付近の断層活動性を評価するために、以下の観点から、各地点の調査結果を比較・検討した。

- ・変動地形学的調査による谷の屈曲量・屈曲率
- ・地層の高度差(断層による鉛直変位量)
- ・断層の性状

西端付近の断層活動性(谷の屈曲量・屈曲率の比較)

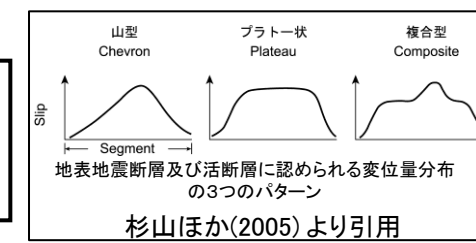


変動地形学的調査による谷の屈曲量（鹿島町古浦～福浦）



・谷の屈曲量・屈曲率について、西端付近は南講武付近と比較して、次第に小さくなる傾向が認められ、杉山ほか(2005)で示された横ずれ断層の変位量分布のパターン(山型・複合型)と整合的である。

・なお、男島付近では、主要部が尾根・谷の右屈曲を示すのに対して、左屈曲が認められる。更に女島では、変位地形・リニアメントは認められない。





地層の年代毎の鉛直変位量の比較

	廻谷	佐陀宮内仲田	南講武
鉛直変位量	約0※～約0.4m (約7千～1万年前の地層)	約1.3m (約1.2万年前の地層)	約1.3m (約1.1万年前の地層)
	約0.8※～約1.3m (約2万年前の地層)	—	約1.6m (約2万年前の地層)
	約1.0※～約1.5m (約2.5万年前の地層)	—	—

※地表面の傾斜(約0.5m北側低下)を考慮した場合

- 地層の高度差を断層による鉛直変位量として検討した結果、廻谷の鉛直変位量は、東側(佐陀宮内仲田及び南講武)に比べて小さい。



断層の性状の比較

検討項目\地点	女島 (ボーリング調査)	廻谷 (ボーリング調査)	長廻池西方 (断層露頭)	佐陀本郷 (ボーリング調査, トレンチ調査)	南講武～尾坂間 の平野部 (ボーリング調査)	南講武 (ボーリング調査, トレンチ調査)	七田南方 の沢 (断層露頭)
せん断面の性状	— (破碎部は確認されたが、宍道断層の延長部に対応する断層は認められない。)	断層部に明瞭なせん断面は認められず、断層粘土を伴わない。	断層部に明瞭なせん断面が認められる。	礫岩と安山岩質火碎岩との間に、幅30cm程度の断層粘土と連続性の良いせん断面が認められる。	断層部は粘土化し、明瞭なせん断面が認められる。	新第三系に接する幅10cm程度の断層粘土と、連続性の良いせん断面が認められる。	幅5cm程度の断層粘土を切る直線的なせん断面が認められる。
基盤岩の性状	断層上盤側の古浦層の泥岩は、顕著な破碎を被っていない。	断層を挟んで成相寺層の流紋岩及び泥岩は、断層粘土を伴うが、顕著な破碎は被っていない。	断層を挟んで古浦層の安山岩質火碎岩は角礫化し、断層粘土を伴うが、顕著な破碎は被っていない。	断層を挟んで成相寺層の泥岩・流紋岩質火碎岩は顕著な破碎を被っている。	断層を挟んで、古浦層の安山岩質火碎岩及び成相寺層の泥岩・流紋岩質凝灰岩が顕著な破碎を被っている。	古浦層と成相寺層が断層で接しており、断层面沿いで成相寺層の泥岩の破碎が著しい。	

- ・南講武(宍道断層の主要部)では、連続性の良いせん断面が認められ、基盤岩は断層による顕著な破碎を被っている。
- ・佐陀本郷、長廻池西方、廻谷では、基盤岩は断層による顕著な破碎を被っていない。
- ・廻谷では、明瞭なせん断面は認められない(断層粘土を伴わない)。
- ・女島では、宍道断層の延長部に対応する断層は認められない。なお、女島で確認された破碎部の性状は、南講武の活断層の性状と著しく異なる。

西端付近の断層活動性(まとめ)

宍道断層の西端付近の断層活動性を評価するために、各地点の調査結果を比較・検討した結果、以下のことを確認した。

1. 谷の屈曲量・屈曲率の比較

- ・変動地形学的調査による谷の屈曲量・屈曲率を比較・検討した結果、西端付近は南講武付近と比較して、次第に小さくなる傾向が認められ、杉山ほか(2005)で示された横ずれ断層の変位量分布のパターン(山型・複合型)と整合的である。

2. 鉛直変位量の比較

- ・地層の高度差を断層による鉛直変位量として比較・検討した結果、廻谷の鉛直変位量は、東側(佐陀宮内仲田及び南講武)に比べて小さい。

3. 断層の性状比較

- ・断層性状を比較・検討した結果、佐陀本郷、長廻池西方及び廻谷では、基盤岩は断層による顕著な破碎を被っていない。また、廻谷では明瞭なせん断面は認められない。

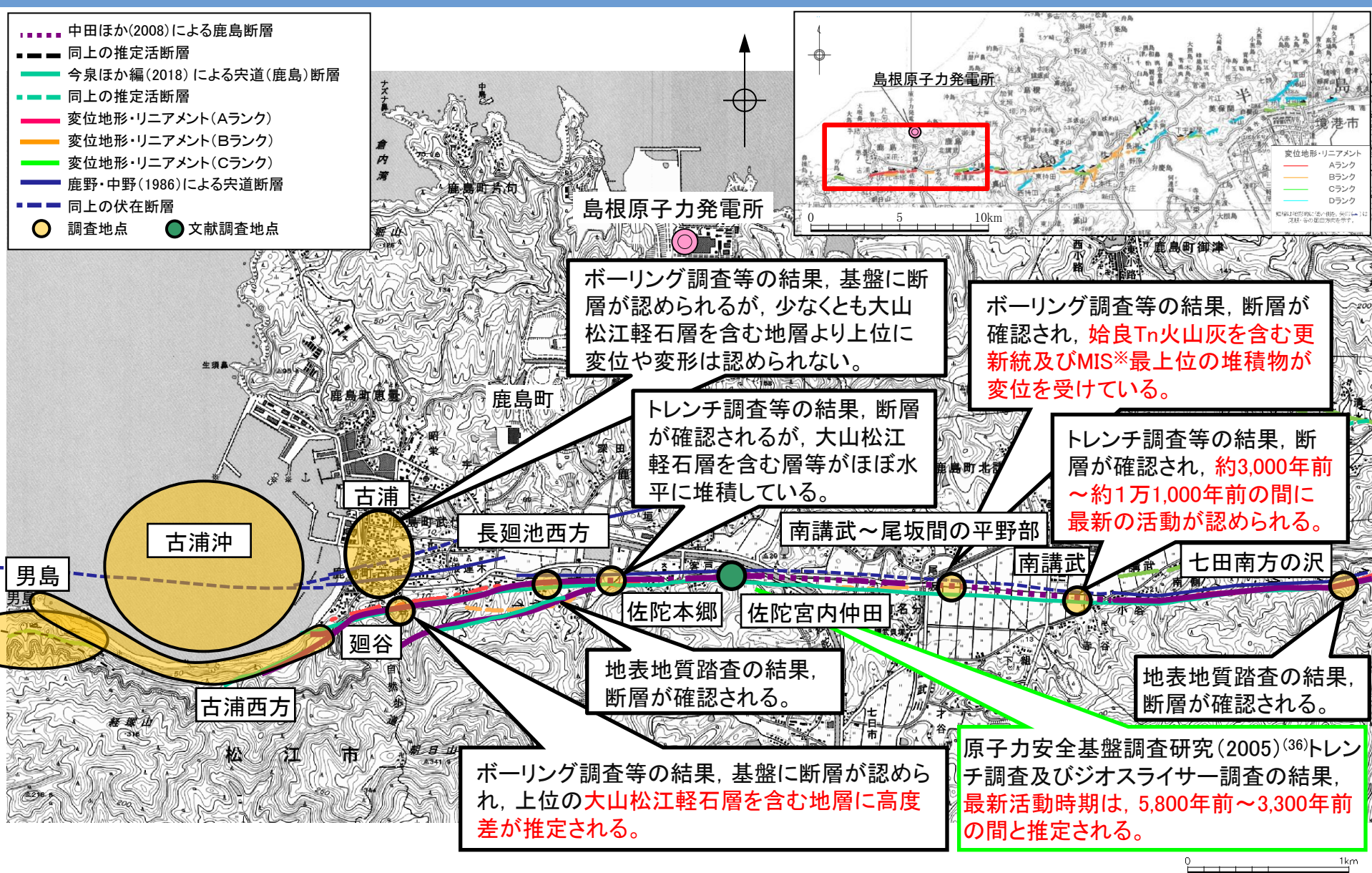
以上のことから、断層活動性について、西端付近は宍道断層の主要部である南講武付近と比べて低下していると評価した。また、女島では、宍道断層の延長部に対応する断層は認められない。

3. 穴道断層の評価

(5) 西端の評価

調査結果(南講武～古浦)

- 中田ほか(2008)による鹿島断層
- 同上の推定活断層
- 今泉ほか編(2018)による宍道(鹿島)断層
- 同上の推定活断層
- 変位地形・リニアメント(Aランク)
- 変位地形・リニアメント(Bランク)
- 変位地形・リニアメント(Cランク)
- 鹿野・中野(1986)による宍道断層
- 同上の伏在断層
- 調査地点
- 文献調査地点



調査結果(古浦沖～女島)



女島

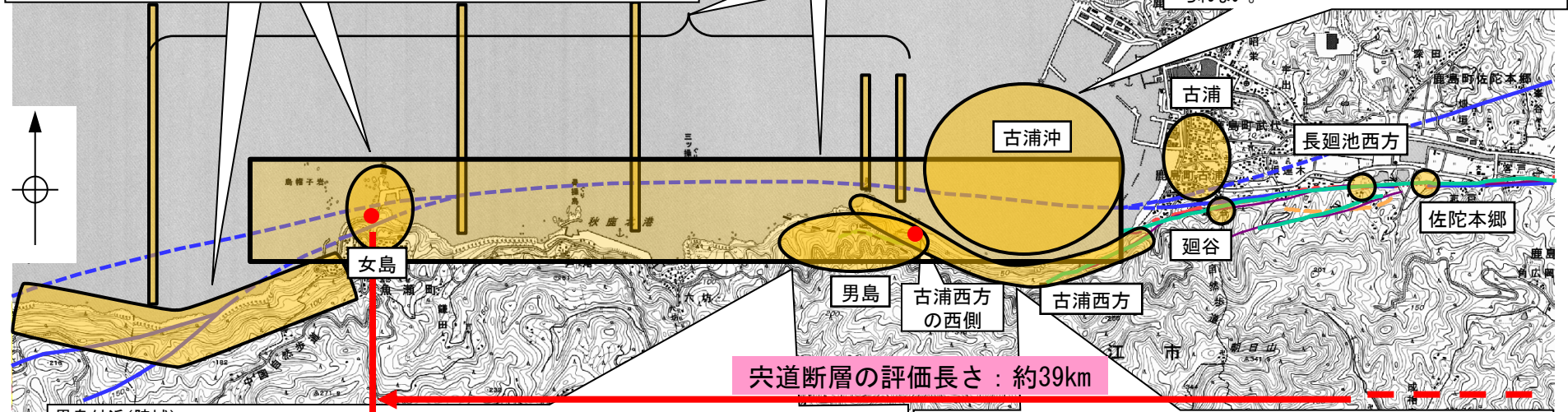
- 地表地質踏査結果
 - 急傾斜を示す古浦層と緩傾斜を示す成相寺層との間の文献断層※1(文献断層①)通過位置付近に、南傾斜の逆断層が推定される。
 - 文献断層②※1の通過位置付近に断層は認められない。
- ボーリング調査結果(文献断層①の存否に係る検討)
 - 古浦層内の地層は連続して分布していること及び古浦層と成相寺層が整合関係であることから、地層に顕著な不連続は想定されない。
 - 古浦層と成層寺層の境界に文献断層①に相当する断層は認められない。
 - 成相寺層の泥岩に貫入岩が分布しており、貫入岩と貫入境界付近に、貫入後の断層活動は認められない。
 - 文献断層①の通過位置付近において、細粒部を伴う破碎部①、②、③が認められるが、連続性、活動性、性状等の検討結果から、宍道断層の延長部に対応する断層は認められない。

古浦沖以西(古浦沖～女島(沿岸付近))

- 音波探査の結果、沿岸付近において、D₂層(中新統)上面以上に断層活動を示唆する変状は認められない。
- 海底面調査、潜水調査及び地表地質踏査の結果、海底面の溝地形及び地形の高まりの成因は岩質の差を反映した組織地形であると評価した。

古浦沖

- 音波探査の結果、Ⅲ_K層(更新統)の内部反射面及びD₂層(下部～中部中新統)上面に断層活動を示唆する反射面は確認されず、また、I_K層及びⅡ_K層(いずれも完新統)はほぼ水平に分布しており、これらの地層に断層活動を示唆する変位や変形は認められない。



調査結果(女島～大田沖断層)

女島付近(女島、女島西方)

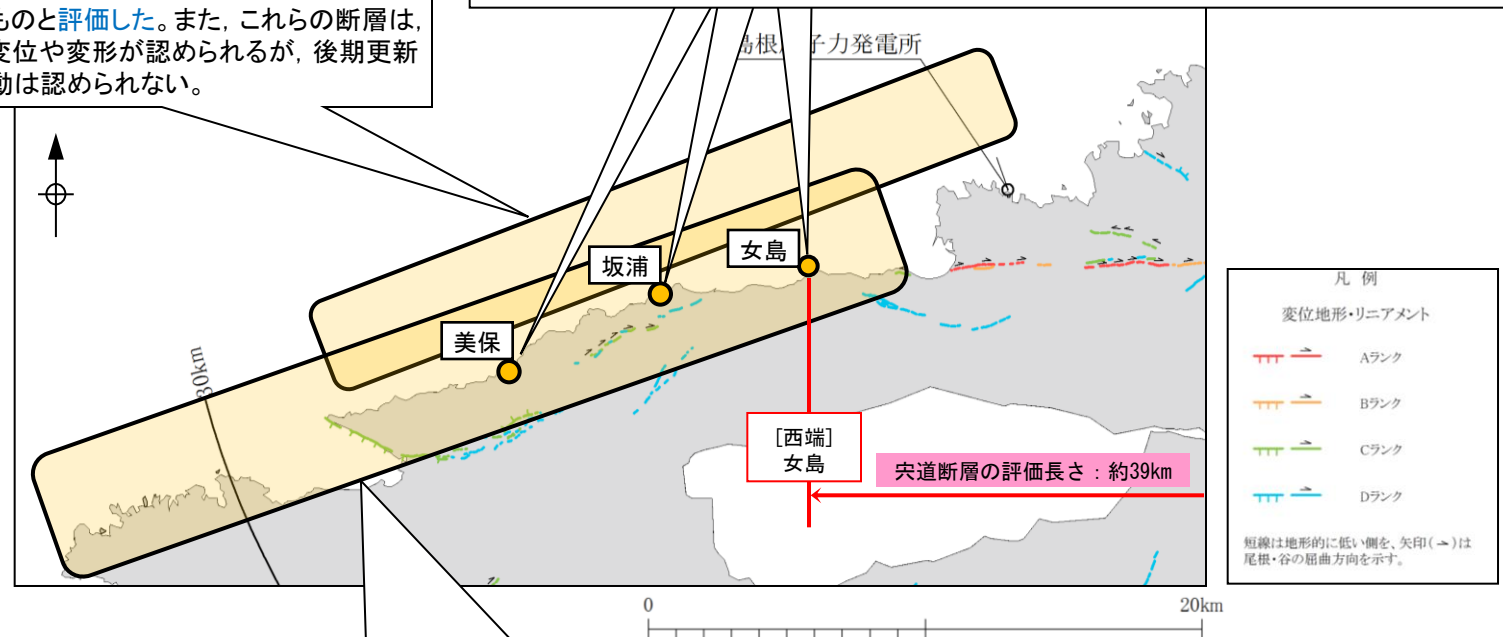
3. 女島地点の地層の急傾斜部に係る検討

- 文献断層※1(文献断層①)の通過位置上における地層の急傾斜部は、古浦～女島～美保地点の区間では女島地点と美保地点に示されているが、その他地点では示されていない。なお、坂浦地点では、文献断層の通過位置の北側に地層の急傾斜部が示されている。
- 露頭状況の調査の結果、女島地点、美保地点の急傾斜を示す層理面沿いは固結・密着していることから、固結後の断層活動は認められない。
- ボーリング調査等の結果、海底地すべりに伴うスランプ構造が複数認められるが、スランプ相の分布と地層の傾斜との関係は認められず、地層の急傾斜の成因は海底地すべりによるものではなく、中期中新世頃から後期更新世頃までの南北圧縮応力場による褶曲運動によるものと評価した。

古浦～十六島沿岸付近

- 音波探査等の結果、重力コンターの傾斜部は、F-①断層及びF-②断層に伴う音響基盤の落差(音響基盤の傾斜部)を反映したものと評価した。また、これらの断層は、D₂層(中新統)に変位や変形が認められるが、後期更新世以降の断層活動は認められない。

女島地点では、ボーリング調査範囲より更に深部に断層が存在する可能性は否定できないが、3. の調査の結果、後期更新世以降の断層活動を示す性状が認められることから、地下深部に想定される断層は宍道断層の延長部に対応する断層ではない。



女島～大田沖断層(沿岸付近)

- 女島～大田沖断層間の音波探査の結果、D₂層(中新統)以上に断層活動を示唆する変状は認められない。

※1 鹿野・中野(1986)及び鹿野ほか(1991)による断層・伏在断層・推定断層

3. 宍道断層の評価 (5) 西端の評価

西端の評価(まとめ)

■ 地質調査結果(宍道断層の西側)

- ・ 陸域(女島付近, 男島付近, 古浦西方)における地表地質踏査, ピット調査等の結果, 断層は認められない。
- ・ 陸海境界付近(古浦沖, 男島付近, 女島付近)における海底面調査の結果, 男島付近の溝地形及び女島付近の海底地形の高まりを除き, 海底地形面には東西方向へ連続する構造は認められない。また, 溝地形及び海底地形の高まりの成因は, 潜水調査, はぎ取り調査等の結果, 岩質の差を反映した組織地形と評価した。さらに, 女島では陸海境界付近を横断する群列ボーリング調査, 急傾斜部における露頭調査等の結果, 宍道断層の延長部に対応する断層は認められない。
- ・ 海域及び沿岸付近(古浦沖, 男島付近, 女島付近, **女島**~大田沖断層)における音波探査の結果, 後期更新世以降の断層活動を示唆する変位や変形は認められない。また, 古浦~十六島沿岸付近の重力センターの傾斜部は, 音波探査等の結果, F-①断層及びF-②断層に伴う音響基盤の落差を反映したものと評価した。また, これらの断層は, D₂層(中新統)に変位や変形が認められるが, 後期更新世以降の断層活動は認められない。

(補足説明資料1.(1) 古浦~十六島沿岸付近 参照)



申請時の西端「古浦西方の西側」を含め, 古浦より西側の海域, 陸海境界付近, 陸域のいずれの調査地点においても, 宍道断層の延長部に対応する断層は認められないが, 陸海境界付近の調査結果の不確かさを考慮し, ボーリング調査等により精度や信頼性のより高い調査結果が得られている「女島」を西端として評価する。

3. 穴道断層の評価

(6) 地質調査(穴道断層の東側)

3. 宍道断層の評価 (6) 地質調査(宍道断層の東側)

① 調査結果の概要

宍道断層の東端検討

- 文献調査
「日本の重力データベース DVD版」(地質調査総合センター編(2013))のデータセットを用いて作成した敷地周辺の重力異常の水平勾配図及び鉛直1次微分図において、中海北岸付近に東北東～西南西方向に帯状の分布が確認される。
- ・地震調査研究推進本部(2016a)において、宍道断層(鹿島)東部に、活断層の可能性のある構造(P1)が記載されているが、これは活断層の可能性があるものの、活断層としての証拠が揃っていないことから評価から外したことされている。また、活断層の可能性のある構造(P1)については、重力異常による構造不連続、島根半島東部の地形的特徴等により、東延長の海陸境界付近には、地質構造が連続する可能性があるものの、活断層としての活動性については詳細なデータが不足し判断できていないとされている。

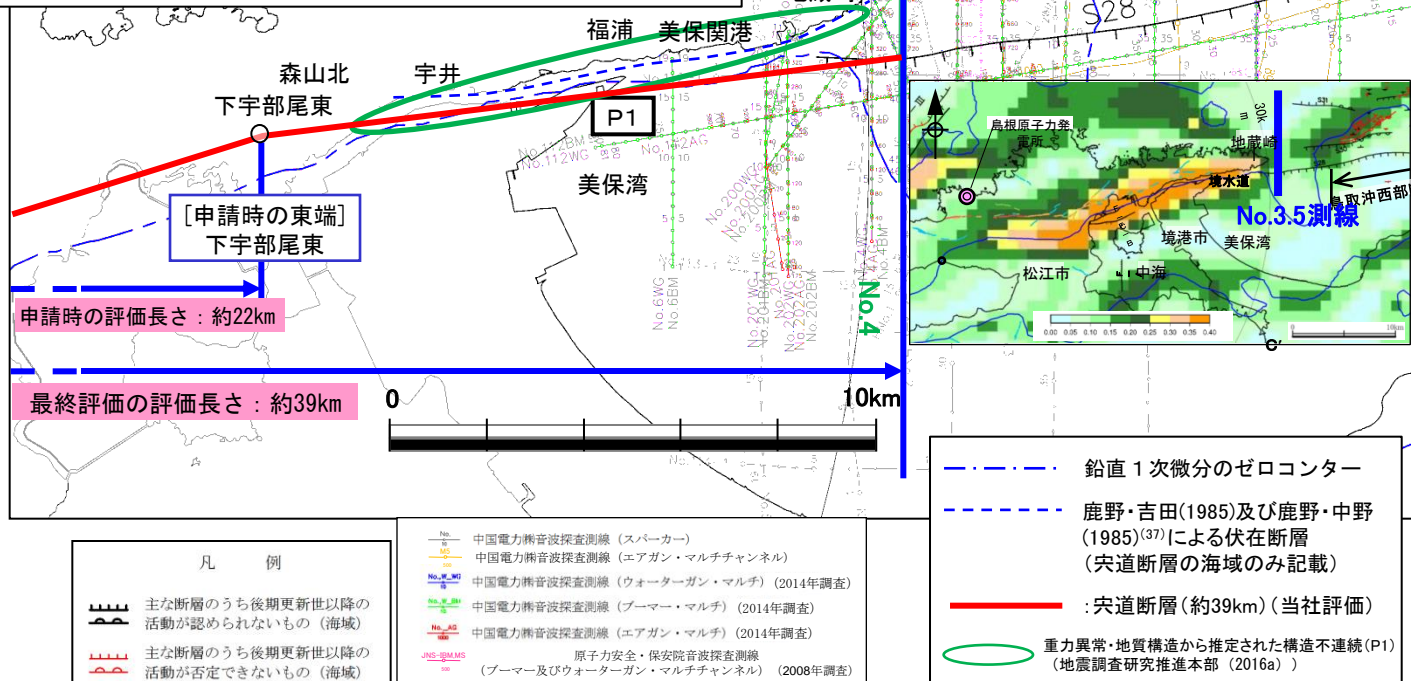
- 地質調査
・宍道断層の東端評価において、端部の評価、末端性状及び重力異常について検討を行うために下宇部尾東以東のデータ拡充を実施した。調査結果を以下に示す。
- ・変動地形学的調査(変位地形・リニアメントの有無、谷の屈曲量・屈曲率等の検討)の結果、下宇部尾東以東では、南講武付近と比べて、断層活動性が低下している。
- ・下宇部尾東におけるボーリング調査及びはき取り調査、森山におけるトレンチ調査等の結果、後期更新世以降の断層活動は認められないものの、更に東方の森山から地蔵崎における地質調査の結果、陸域において一部断層を除き上載地層がないこと、また、陸海境界において十分な調査が実施できないことから、後期更新世以降の断層活動が完全には否定できない。
- ・美保湾～美保関町東方沖合いにおいて、複数の音源・測線による音波探査の結果、後期更新世以降の断層活動は認められず、明瞭な重力異常(重力センターの急傾斜部)が認められなくなる位置の音波探査測線は、No.3.5測線であることを確認した。

- 宍道断層の東端評価
・申請時の東端「下宇部尾東」において幅広なはぎ取り調査等の結果、宍道断層に対応する断層は認められず、更に東方の森山におけるトレンチ調査等の結果、後期更新世以降の断層活動は認められない。しかしながら、地震調査研究推進本部(2016a)において宍道断層東部を「活断層の可能性のある構造(P1)」と評価しているため、その周辺の地質について詳細に調査した結果、陸域では一部の断層を除いて上載地層がなく、後期更新世以降の断層活動が完全には否定できなかったこと及び陸海境界付近の調査結果の不確かさを考慮し、音波探査により精度や信頼性のより高い調査結果が得られており、かつ、明瞭な重力異常が認められないことを確認している「美保関町東方沖合い」を東端とする。

(東端検討に係る詳細な調査結果は「3.(6)(2)～(6)」に示す。それ以外の地点の詳細な調査結果は「補足説明1.(2)地質調査(宍道断層の東側)」に示す。)

- 宍道断層と鳥取沖西部断層の運動評価
・宍道断層と鳥取沖西部断層の間で実施した音波探査及び重力データ解析から、後期更新世以降の断層活動は認められないこと及び宍道断層で認められる明瞭な重力異常が鳥取沖西部断層に連続しないこと等から、宍道断層と鳥取沖西部断層は連動しないと評価する。

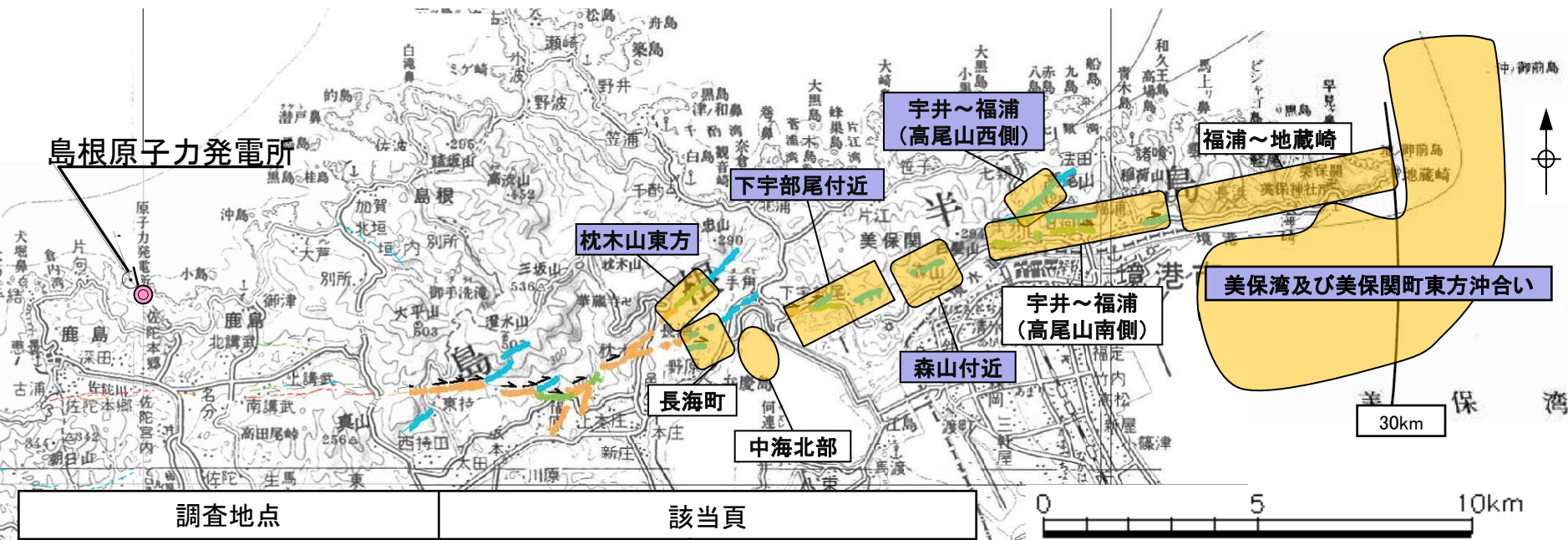
(宍道断層と鳥取沖西部断層の運動評価は「4. 宍道断層と鳥取沖西部断層の運動評価」に示す。また、運動評価に係る詳細な調査結果は「補足説明2. 宍道断層と鳥取沖西部断層との関係」に示す。)



3. 宍道断層の評価 (6) 地質調査(宍道断層の東側) ①調査結果の概要

各地点の調査結果の概要

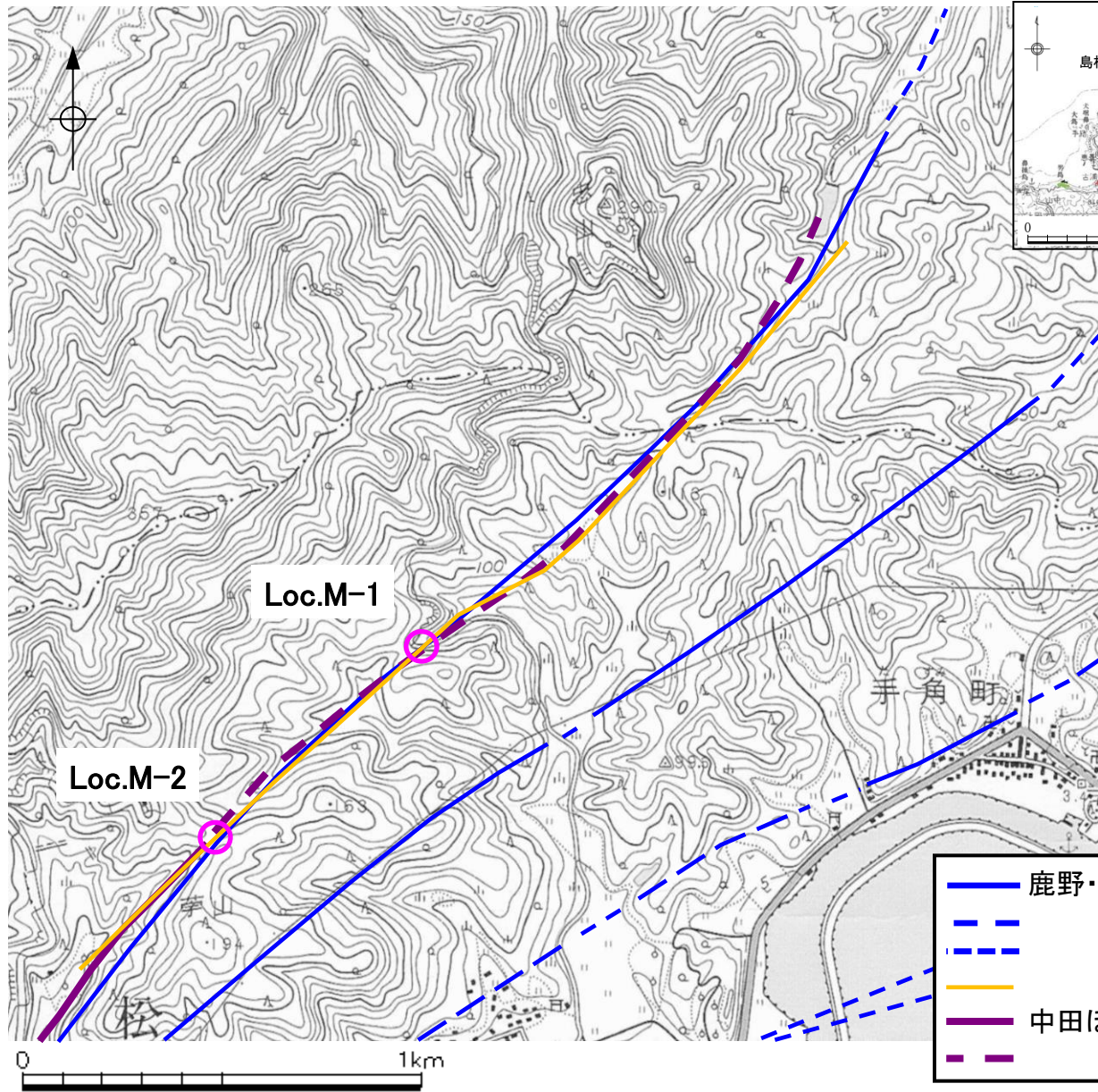
・宍道断層の東側の各地点の調査結果の概要を次頁以降に示す。



調査地点	該当頁	
枕木山東方	本資料	P150-158
長海町	補足説明資料	1.(2) 長海町
中海北部	補足説明資料	1.(2) 中海北部
下宇部尾付近	下宇部尾付近	本資料 P159-170
	万原	補足説明資料 1.(2) 万原
森山付近		本資料 P171-208
		補足説明資料 1.(2) 森山付近
宇井～福浦	高尾山西側	本資料 P209-230
	高尾山南側	補足説明資料 1.(2) 宇井～福浦
福浦～地蔵崎	補足説明資料	1.(2) 福浦～地蔵崎
美保湾及び美保関町東方沖合い	本資料	P231-256

凡例	
変位地形・リニアメント	
	Aランク
	Bランク
	Cランク
	Dランク
短線は地形的に低い側を、矢印(→)は尾根・谷の屈曲方向を示す。	

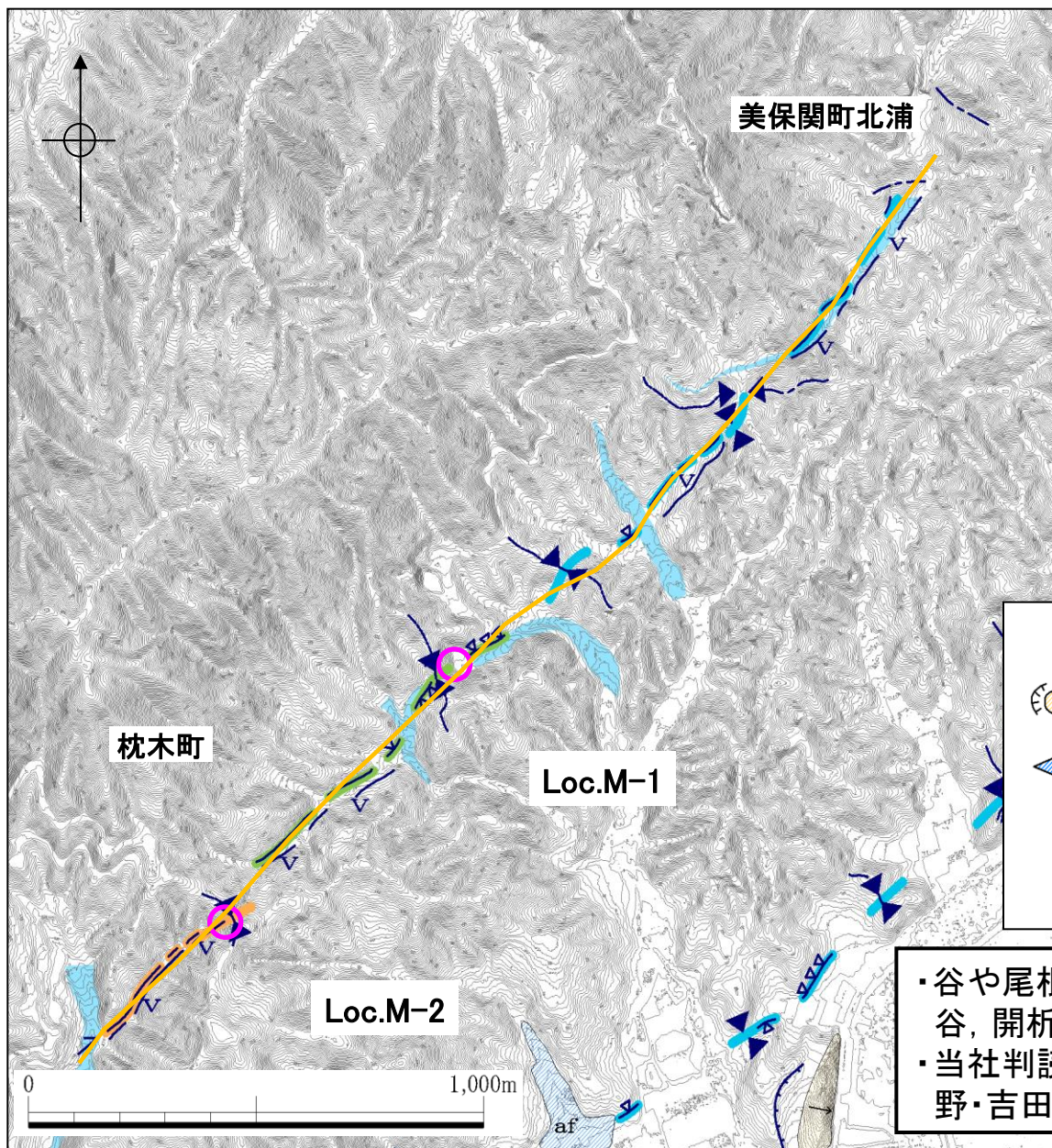
枕木山東方: 枕木町~美保関町北浦(文献調査)



○ 調査地点

- 鹿野・吉田(1985) の断層(縮尺:5万分の1)
- 同上 推定断層
- 同上 伏在断層
- 同上 枕木山東リニアメント
- 中田ほか(2008) による鹿島断層
- 同上 鹿島断層(位置やや不明確)

枕木山東方(変動地形学的調査)



○ 調査地点

- 変位地形・リニアメント(Bランク)
- 変位地形・リニアメント(Cランク)
- 変位地形・リニアメント(Dランク)

■ 鹿野・吉田(1985)の枕木山東リニアメント

地形面



地すべり



扇状地

地形要素



傾斜変換線(遷緩線)



谷線(△は屈曲の方向を示す)



尾根線(△は屈曲の方向を示す)



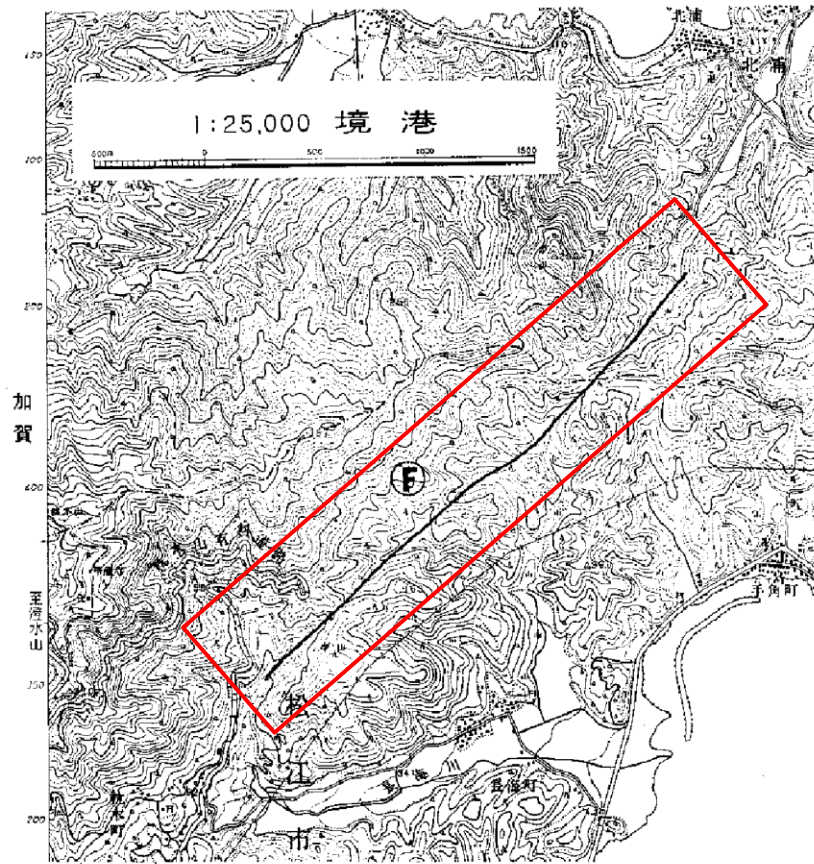
鞍部



直線状の谷

- ・谷や尾根の屈曲は認められず、山地内の鞍部、直線谷、開析された南東側低下の崖が認められる。
- ・当社判読の枕木山東の変位地形・リニアメントは、鹿野・吉田(1985)に示されるリニアメントに対応する。

枕木山東方(変位地形・リニアメントの成因)

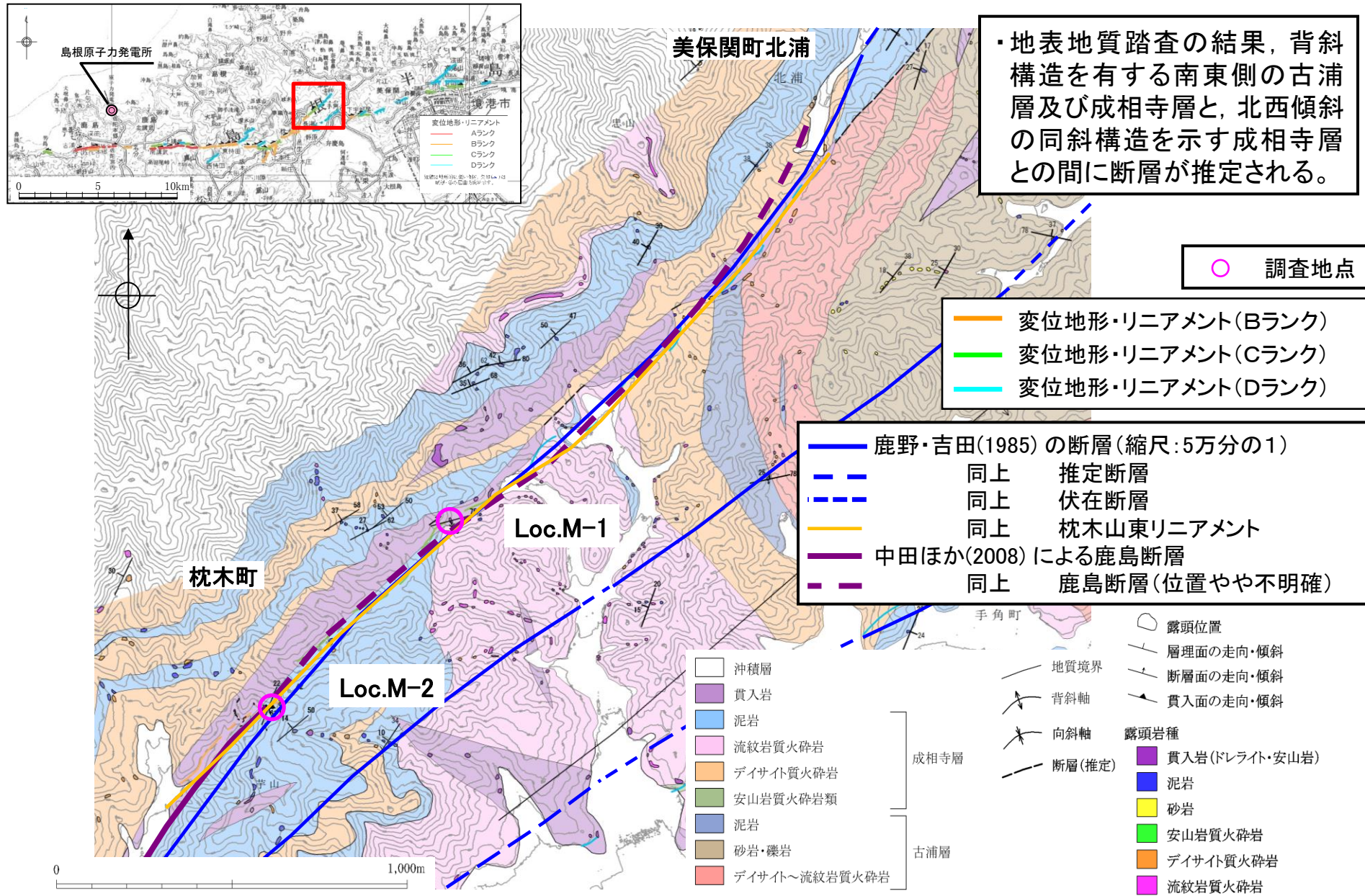


第28図 枕木山東リニアメント, ⑩ (国土地理院発行 2万5千分の1「境港」の一部を使用)

鹿野・吉田(1985)より引用・加筆

・鹿野・吉田(1985)によると、枕木山東リニアメントの成因について、「リニアメントを境にして北西側の山地高度は南東側に比べてやや高く、また、リニアメントは宍道断層から派生したと考えられる地質断層と一致し、断層の両側には断層とほぼ平行な走向をもって成相寺層の泥質岩及びドレライト岩床が分布することから、組織地形であると判断される。」とされている。

枕木山東方(地質図)

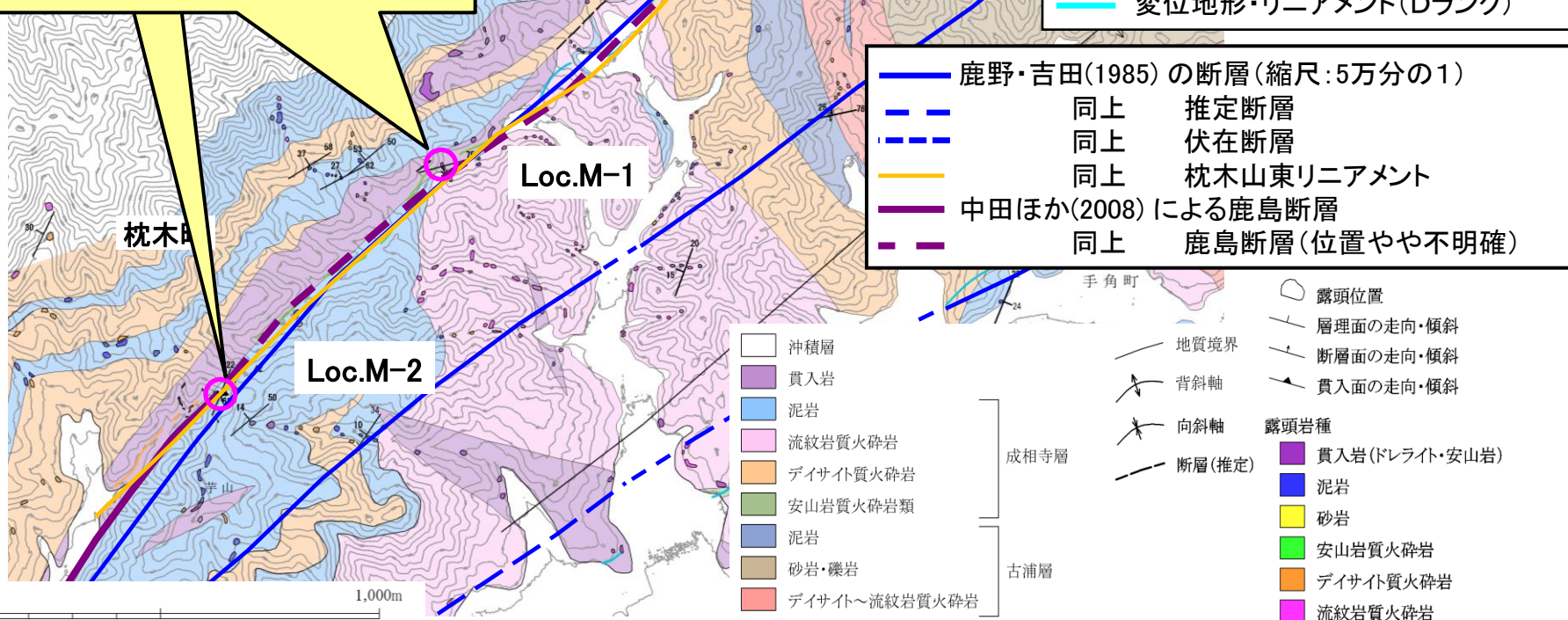


枕木山東方(調査の概要)

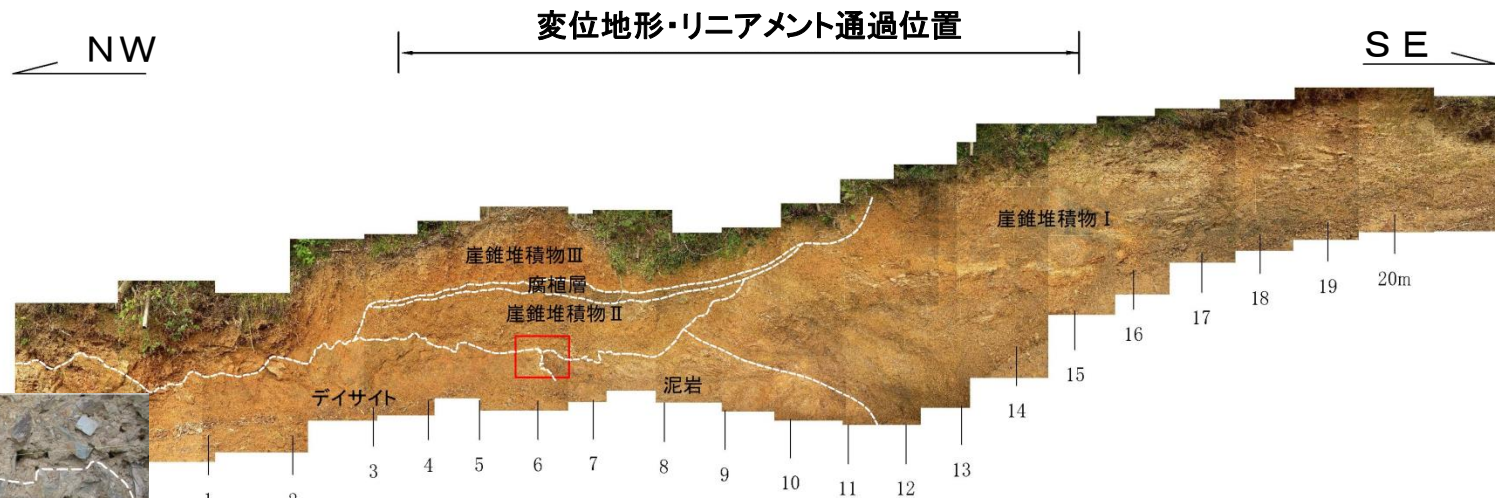


1. はぎ取り調査・ピット調査

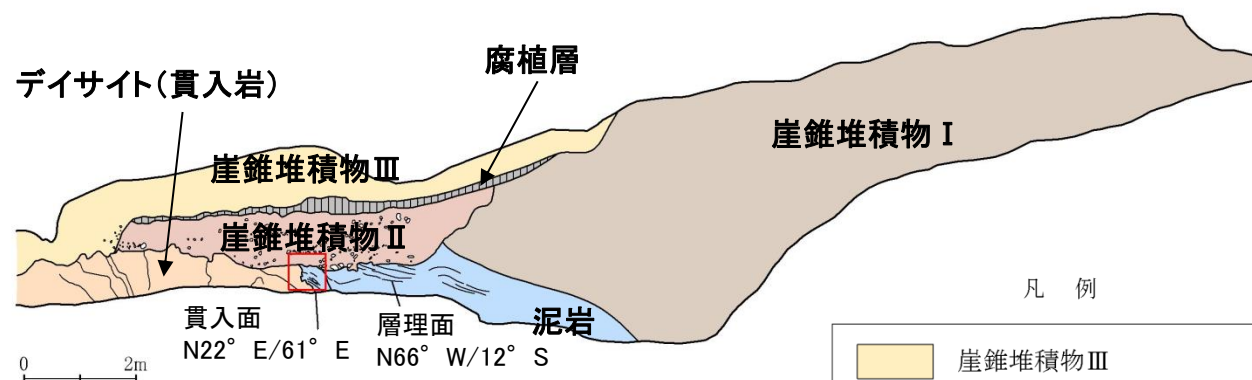
鹿野・吉田(1985)に示される枕木山東リニアメントに対応する枕木山東の変位地形・リニアメント通過位置付近において、はぎ取り調査及びピット調査を実施し、各地点の調査結果により総合的に検討し、活動性を評価した。



枕木山東方(ピット調査(Loc. M-2))



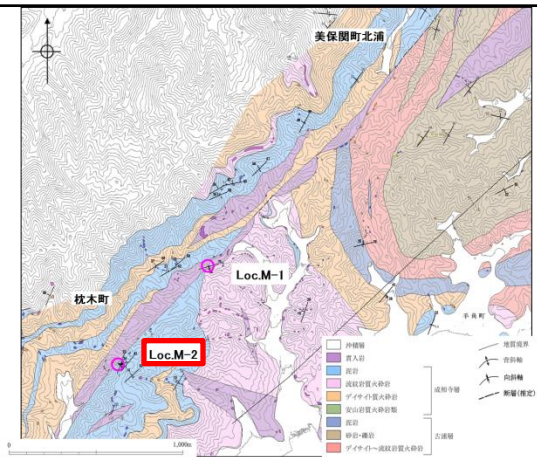
近接写真



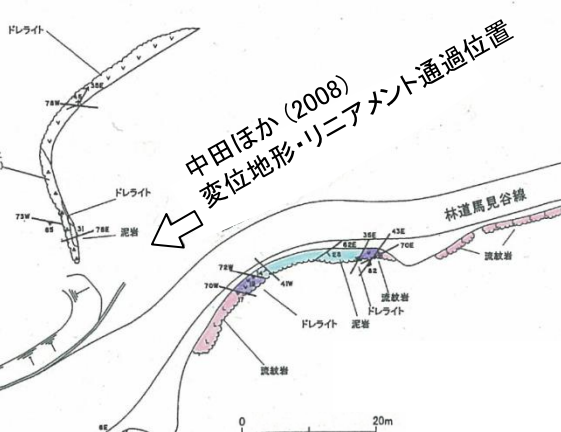
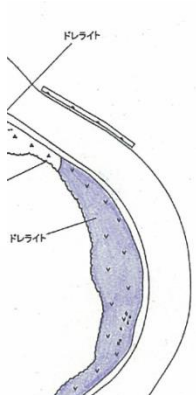
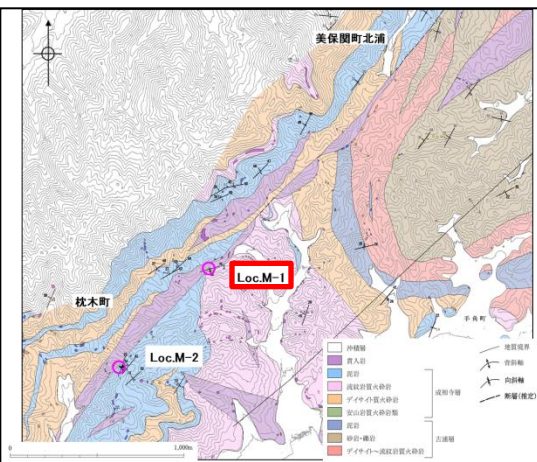
・ピット調査の結果、北西側に貫入岩のデイサイトが、南東側に泥岩が分布しており、断層は認められない。

[Yellow Box]	崖錐堆積物III
[Pink Box]	崖錐堆積物II
[Grey Box]	腐植層
[Brown Box]	崖錐堆積物I
[Orange Box]	デイサイト(貫入岩)
[Blue Box]	泥岩

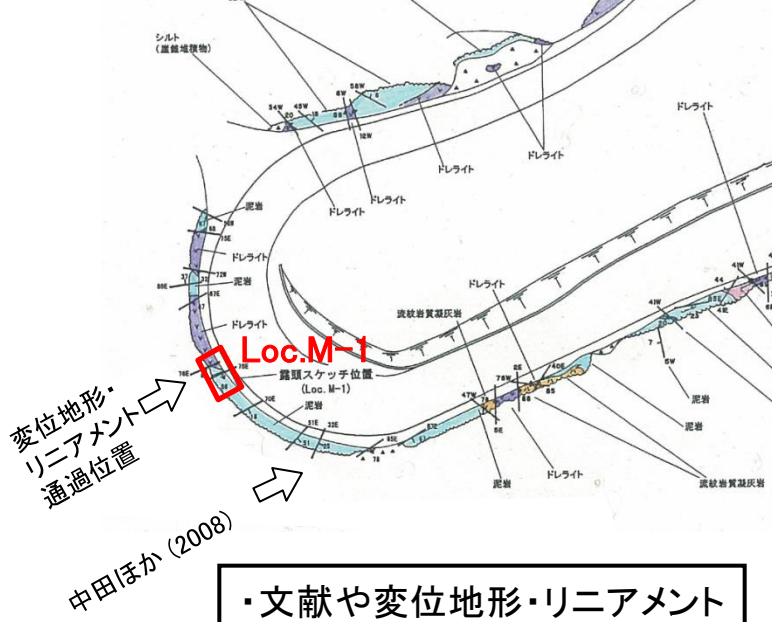
成相寺層



枕木山東方(はぎ取り調査(Loc. M-1))



凡例	
	露頭位置
△ △	崖錐堆積物(崩積土)
L L	流紋岩(一部火碎岩質)
H H	流紋岩質火碎岩
■ ■	泥岩
V V	ドレライト
— —	層理面の走向・傾斜
↑ ↑	断层面の走向・傾斜
▲ ▲	貫入面の走向・傾斜
□ □	節理面の走向・傾斜



文献や変位地形・リニアメントを含む幅広いはぎ取り調査の結果、一部で断層が確認される。

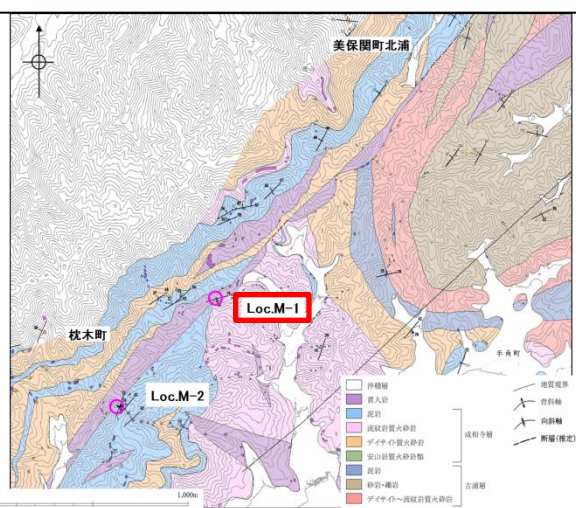
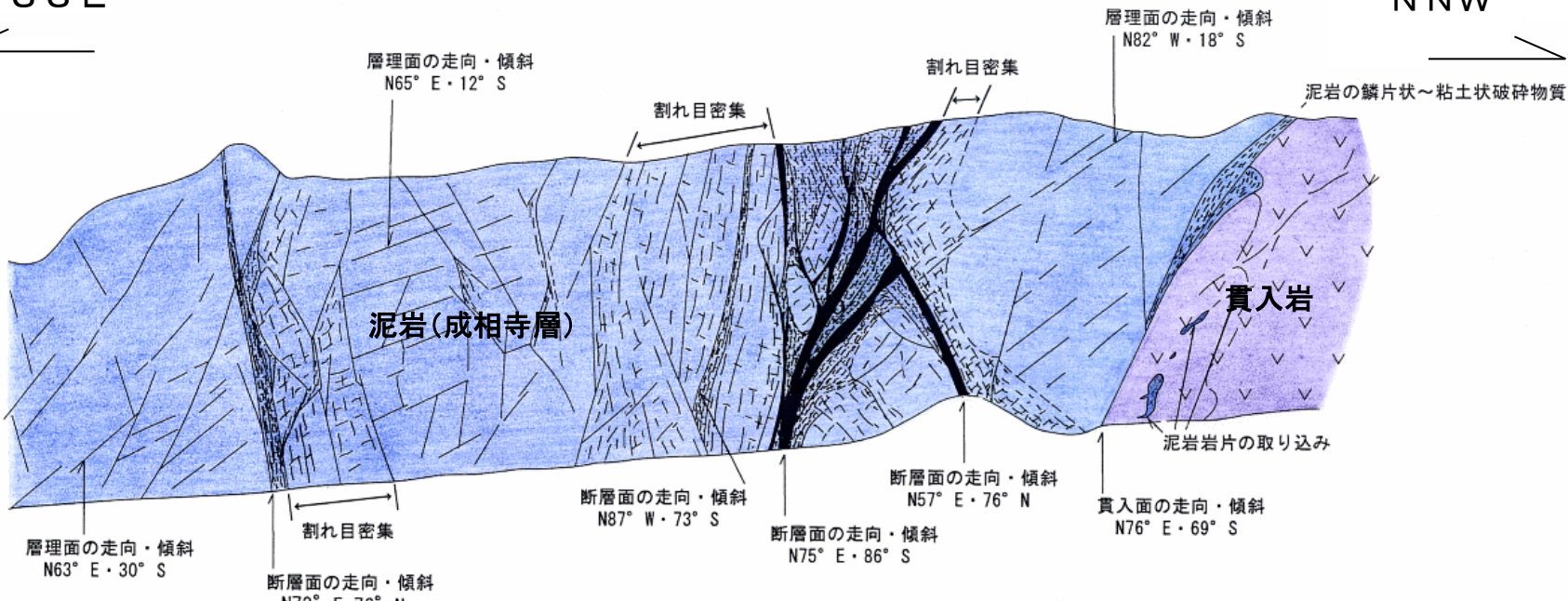


Loc.M-1付近露頭写真

枕木山東方(はぎ取り調査(Loc. M-1))

SSE

NNW



- ・断層内物質は固結し、これを切るような新しいせん断面は認められないことから、少なくとも後期更新世以降の断層活動は認められない。
- ・変位地形・リニアメントは泥岩と、貫入岩との岩相差を反映した組織地形と評価した。

枕木山東方:枕木町～美保関町北浦(まとめ)

1. 文献調査・変動地形学的調査

- ・ 枕木山東方の枕木町から美保関町北浦間では、谷や尾根の屈曲は認められず、山地内の鞍部、直線谷、開析された南東側低下の崖が認められる。
- ・ 鹿野・吉田(1985)に示されるリニアメントに対応する枕木山東リニアメントについて、鹿野・吉田(1985)は、「リニアメントを境にして北西側の山地高度は南東側に比べてやや高く、また、リニアメントは宍道断層から派生したと考えられる地質断層と一致し、断層の両側には断層とほぼ平行な走向をもって成相寺層の泥質岩及びドレライト岩床が分布することから、組織地形であると判断される。」としている。

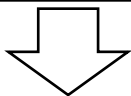
2. 地表地質踏査

- ・ 地表地質踏査の結果、背斜構造を有する南東側の古浦層及び成相寺層と、北西傾斜の同斜構造を示す成相寺層との間に断層が推定される。

3. はぎ取り調査・ピット調査

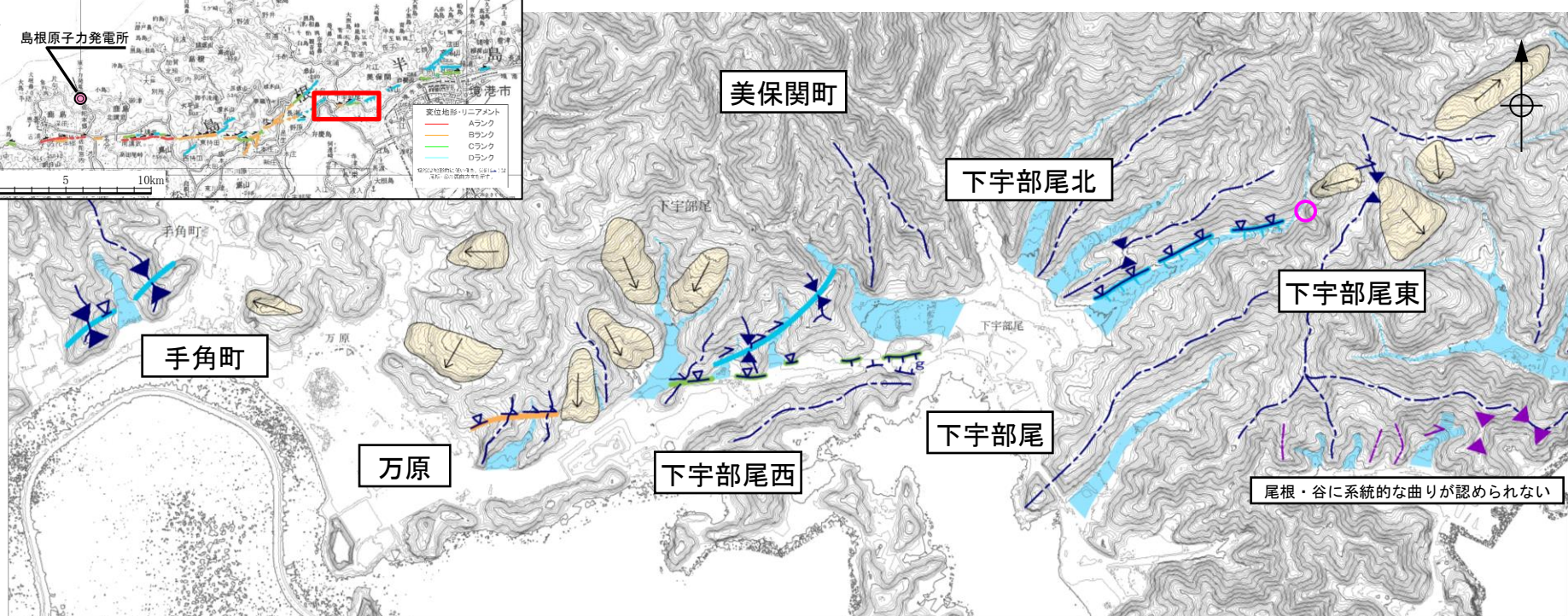
断層が推定される変位地形・リニアメント通過位置付近において調査を実施し、各地点の調査結果により総合的に検討し、活動性を評価した。

- ・ Loc.M-2では、ピット調査の結果、北西側に貫入岩のデイサイトが、南東側に泥岩が分布しており、断層は認められない。
- ・ Loc.M-1では、文献や変位地形・リニアメントを含む幅広いはぎ取り調査の結果、一部で断層が確認されるが、断層内物質は固結し、これを切るような新しいせん断面は認められない。



以上のことから、枕木山東方:枕木町～美保関町北浦について、後期更新世以降の断層活動は認められず、変位地形・リニアメントは泥岩と貫入岩との岩相差を反映した組織地形と評価した。

下宇部尾付近(変動地形学的調査)



※2007年中国電力取得の2mDEM(航空レーザー測量)を使用

- 変位地形・リニアメント(Bランク)
- 変位地形・リニアメント(Cランク)
- 変位地形・リニアメント(Dランク)

○ 調査地点

地形要素
(変位地形・リニアメントを判読したもの)

- 傾斜変換線(遷緩線)
- 谷線(▲は屈曲の方向を示す)
- 尾根線(▲は屈曲の方向を示す)
- 鞍部
- 溝状地

地形要素
(変位地形・リニアメントを判読していないもの)

- 谷線(▲は屈曲の方向を示す)
- 尾根線(▲は屈曲の方向を示す)
- 鞍部

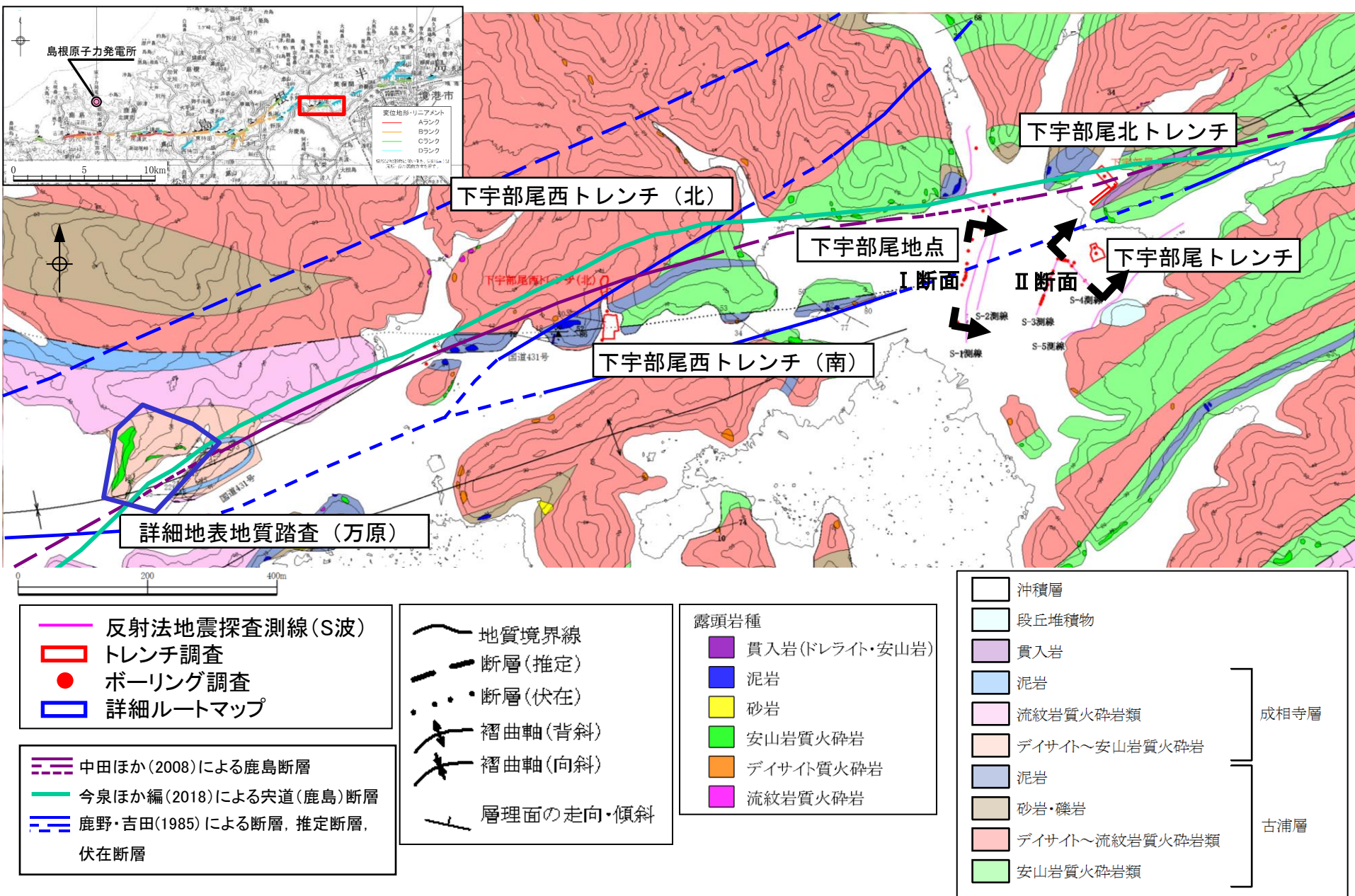
地形面



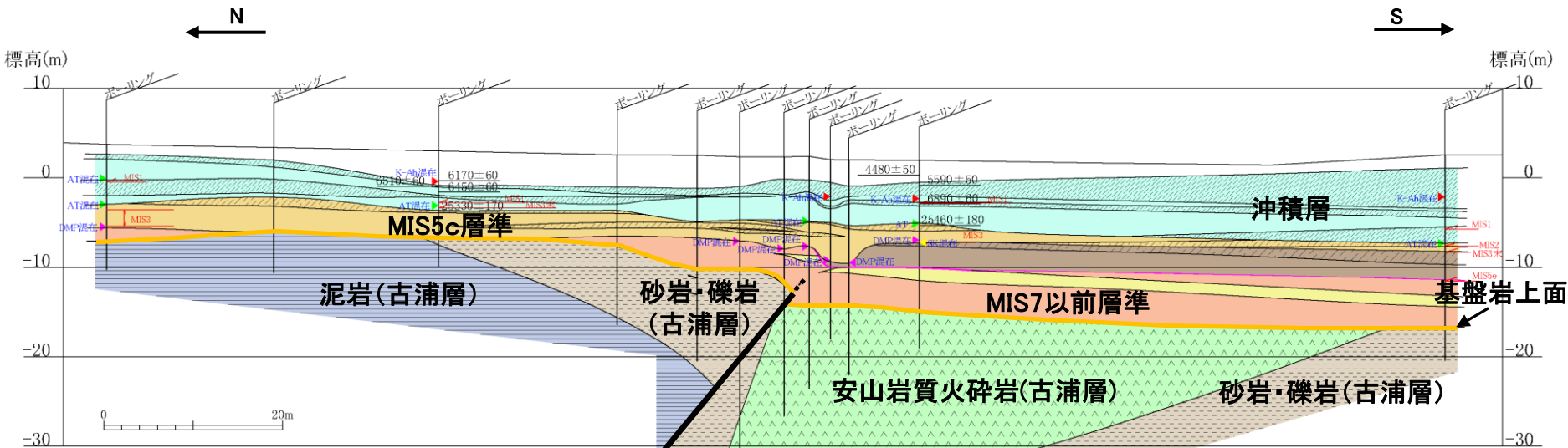
地すべり

- ・美保関町万原から下宇部尾の間では河谷や尾根の右屈曲が認められ、また道路に沿って直線的な凹地が認められる。
- ・下宇部尾東までは傾斜変換線が認められるが、その東では変位地形・リニアメントは認められない。

下宇部尾付近(調査位置及び地質図)



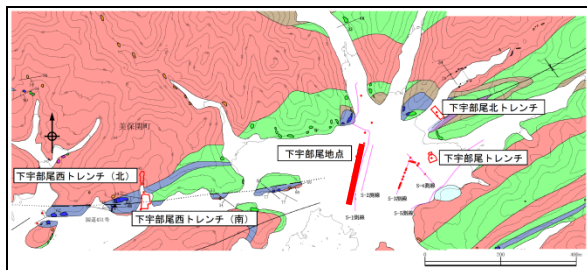
下宇部尾地点(地質断面図(I断面))



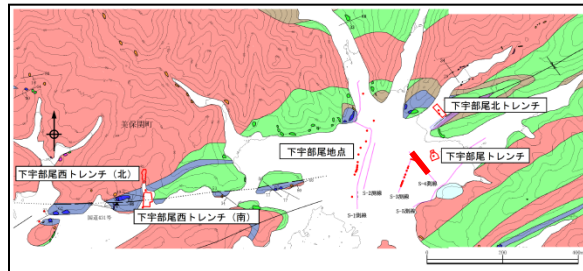
・ボーリング調査の結果、北側に泥岩・礫岩を主とする堆積岩が、南側に安山岩質火碎岩が分布しており、両者は断層により境される。

・断層を挟んで基盤の上面に高度差が認められ、断層がMIS7以前の地層に及んでいる可能性があるが、それらを覆うDMP層及びMIS5cの堆積物に変位や変形は認められない。

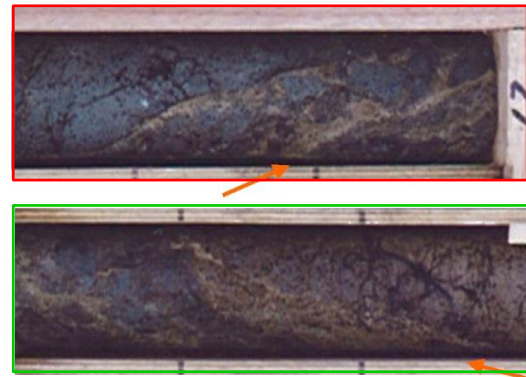
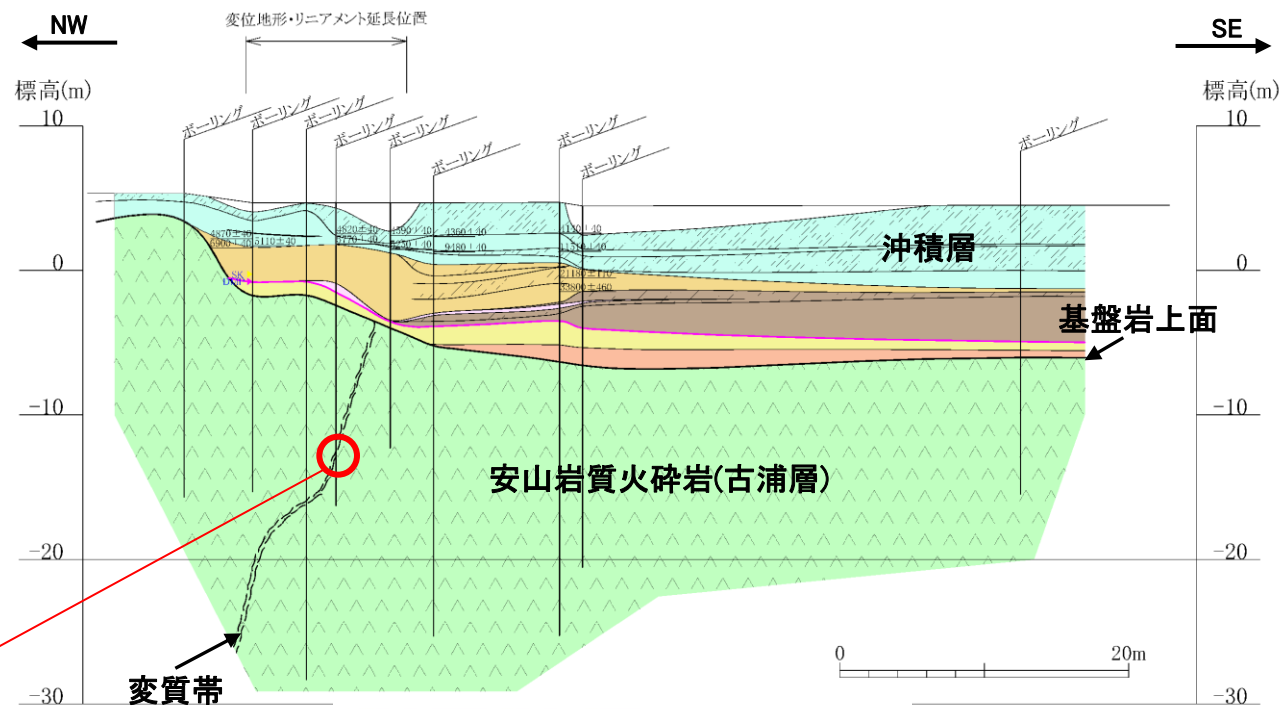
・しかしながら、断層の上部地層に落ち込み構造が認められることから、本地点を挟んだ両外側においてトレーニング(下宇部尾西トレーニング、下宇部尾東トレーニング)を実施した。



3. 宮道断層の評価 (6) 地質調査(宮道断層の東側) ③下宇部尾付近
(参考) 下宇部尾地点(地質断面図(Ⅱ断面))



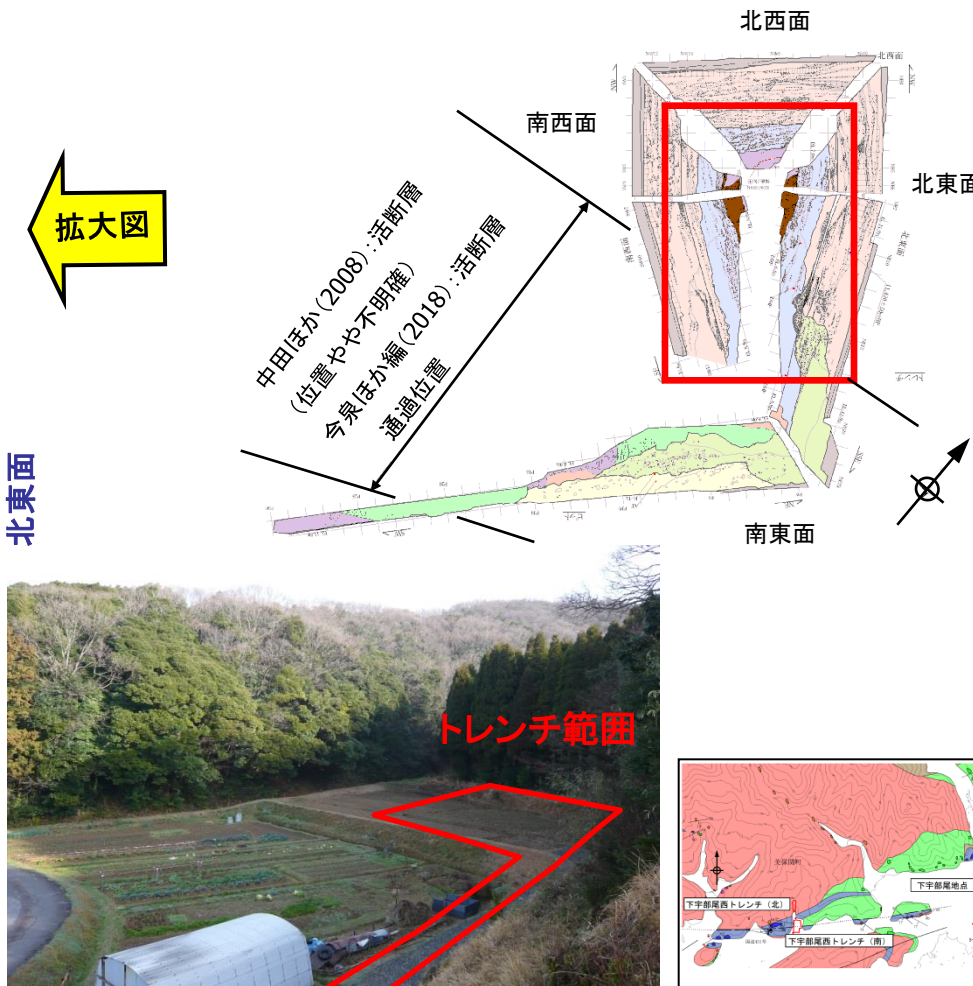
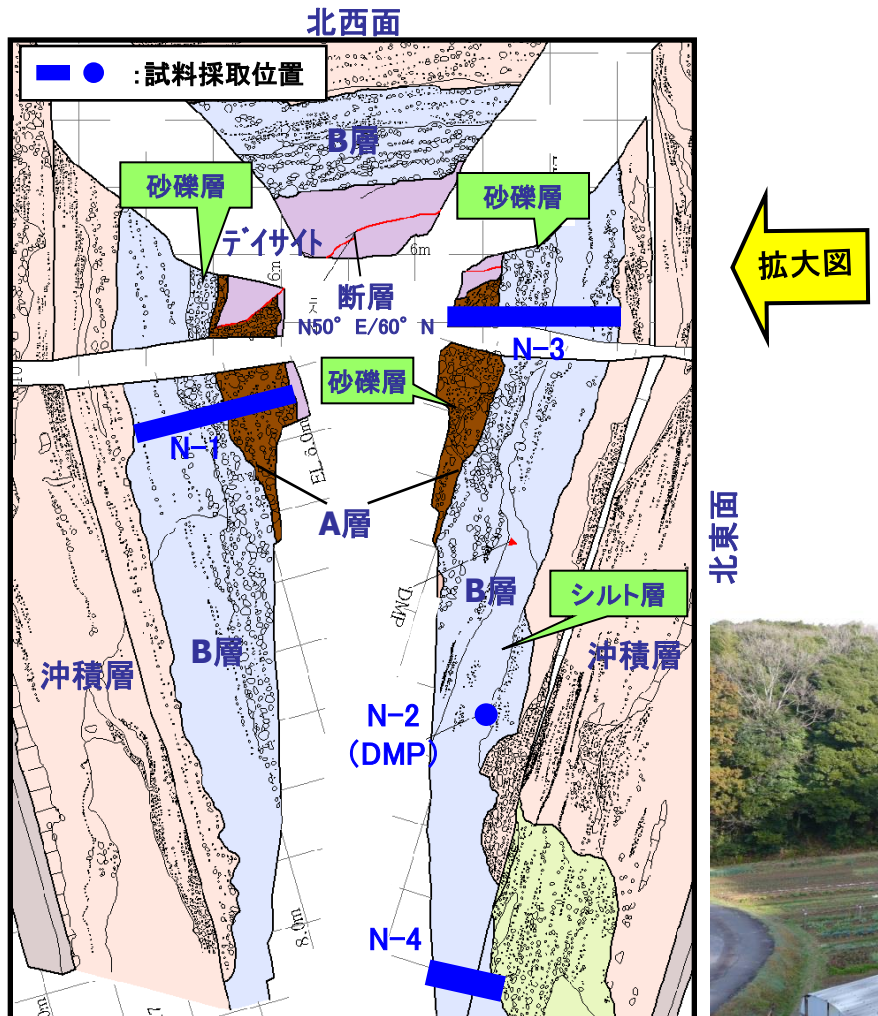
凡例	
人工改変土含む	
シルト・砂層	沖積層
疊層	
シルト・砂層 (MIS3~5c)	安山岩・同質火碎岩 古浦層
疊層	
DMP層	
シルト・砂層 (MIS5e)	5e層準基底
疊層	基盤岩上面
砂・礫層 (MIS7以前)	変質帯
風化砂層	
SK:三瓶木次軽石 DMP:大山松江軽石 MIS:花粉分析により推定した 海洋酸素同位体ステージ 数値:放射性炭素同位体年代	



- 変質帯内部は、極薄い粘土脈が網目状に発達している。
- 変質帯の上端・下端面とともにやや波打った形状を示し、直線的なせん断面は認められない。

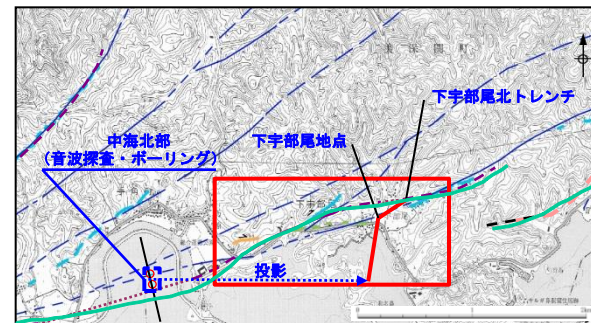
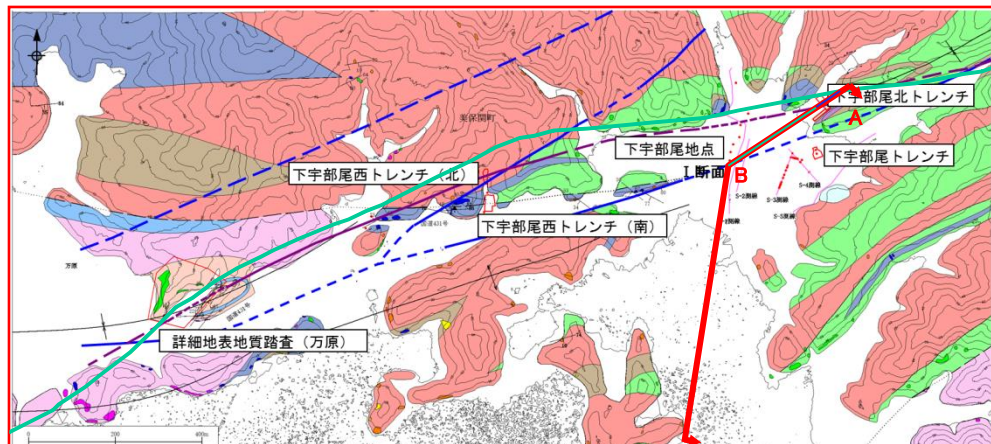
- ボーリング調査の結果、安山岩質火碎岩が広く分布し、小規模な変質帯(熱水変質作用により岩石・鉱物に変化が及んだ範囲)が認められるものの、断層は認められない。
- 変位地形・リニアメント延長位置を含む下宇部尾トレンチ調査の結果、変質帯は確認されていないことから(次頁以降参照)、申請時(H25.12.25)の地質断面図(Ⅱ断面)に記載していた変質帯を削除する。

下宇部尾北トレンチ(スケッチ)

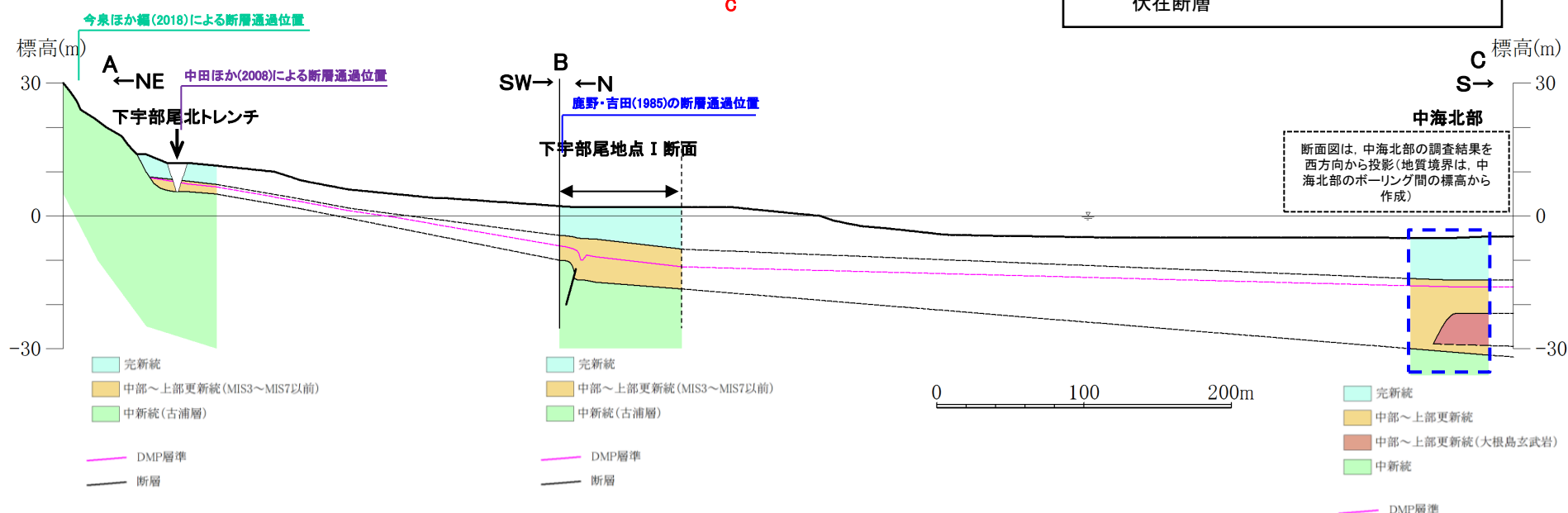


- 幅広いトレンチ調査の結果、文献に示される範囲において断層は認められないが、北西面の基盤(ディサイト)に断層を確認した。
- 重鉱物分析、花粉分析等の結果より、A層はMIS6(約13万年前)以前、B層はMIS5e(約11.5~13万年前)の堆積層と判断した。
- 確認された断層はA層(MIS6以前の砂礫層)に変位を与えているものの、上位のB層(MIS5eのシルト層及び砂礫層)に変位や变形が認められることから考慮する活断層ではないと考えているが、A層に含まれる火山灰は再堆積したものであるとも考えられることから、後期更新世以降の断層活動を完全には否定できないと評価した。

(参考)下宇部尾平野部(地質断面図(DMP層準の高度分布))



--- 中田ほか(2008)による鹿島断層
— 今泉ほか編(2018)による宍道(鹿島)断層
— 鹿野・吉田(1985)による断層、推定断層、伏在断層



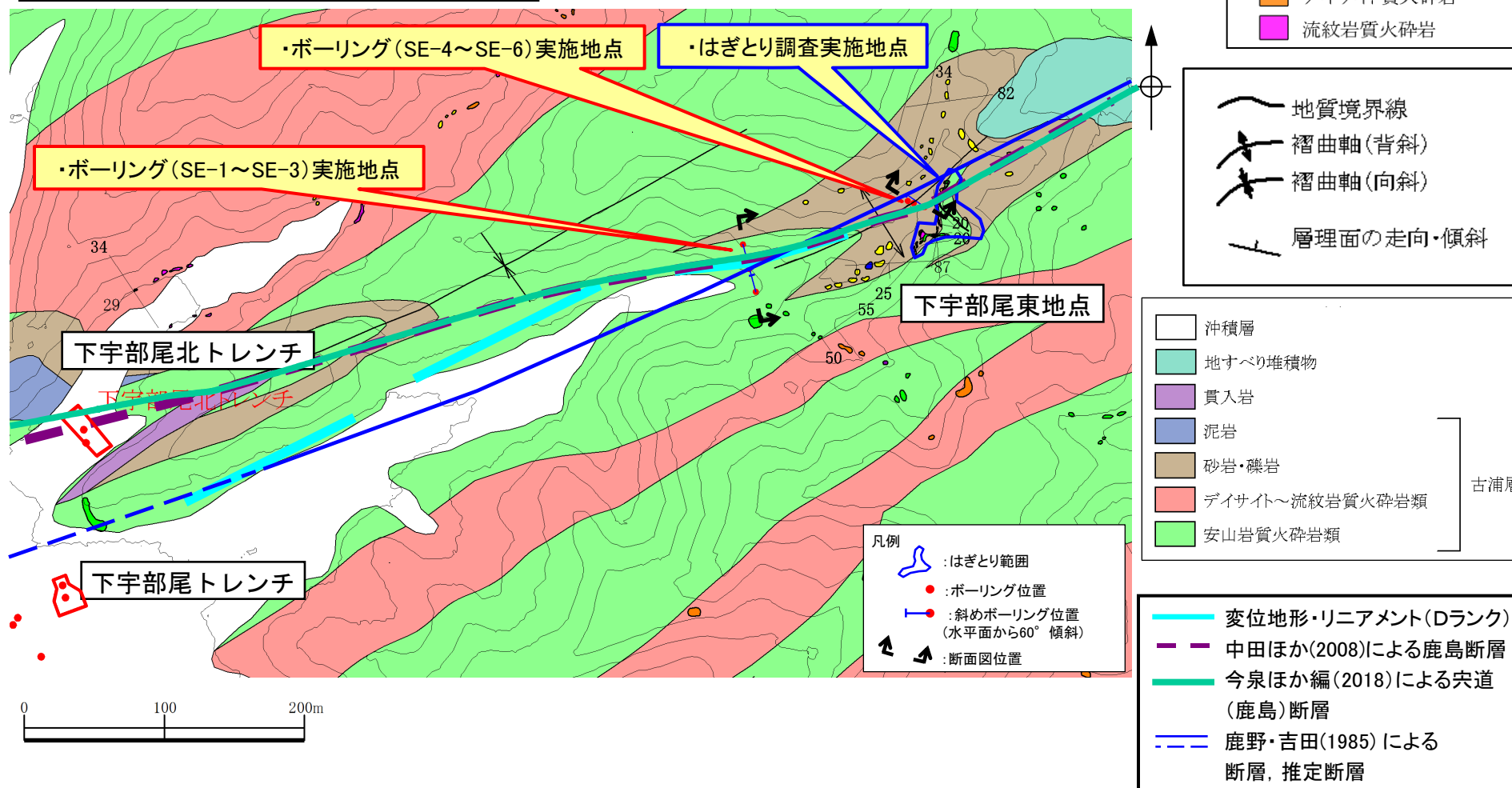
・下宇部尾北トレンチからほぼ谷筋に沿って下宇部尾平野部から中海北岸に至る地質断面図では、沖積層やDMP層準は谷の傾斜と調和的な高度分布を示しており、断層活動を示唆する変位や変形は認められない。

下宇部尾東(地表地質踏査及び追加調査位置図)

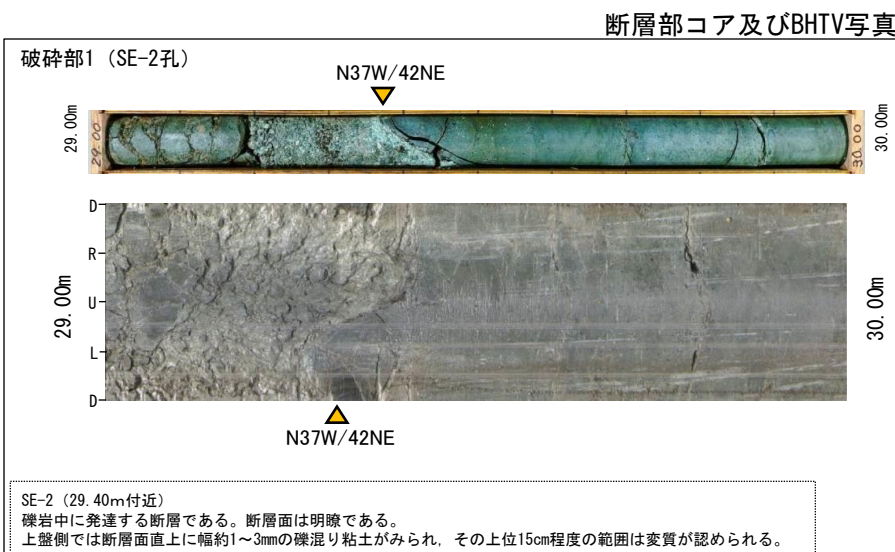
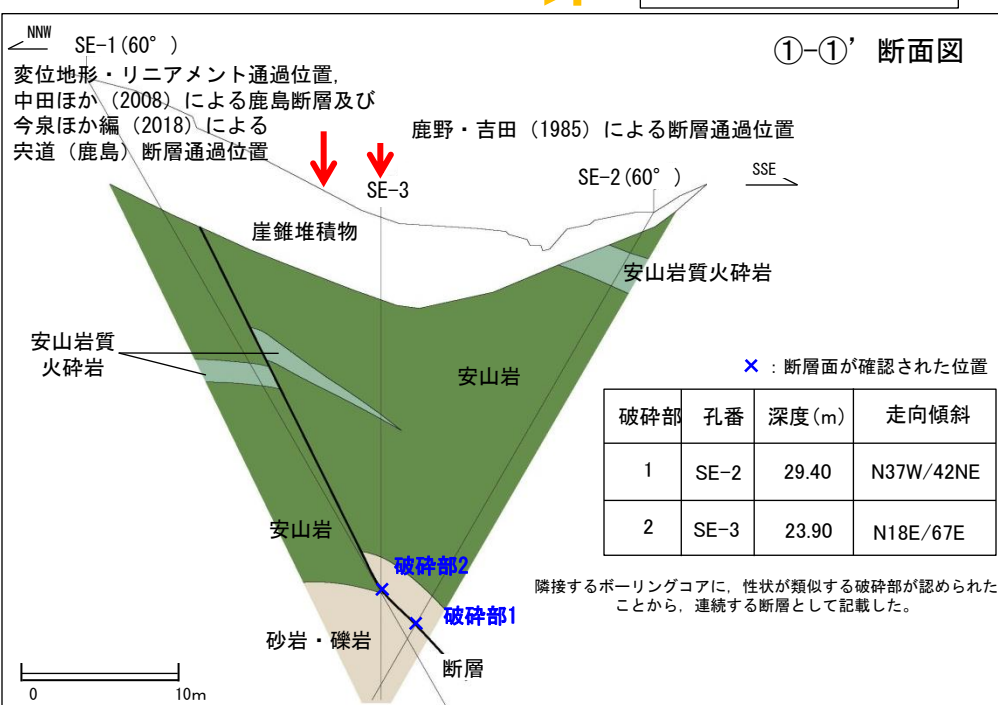
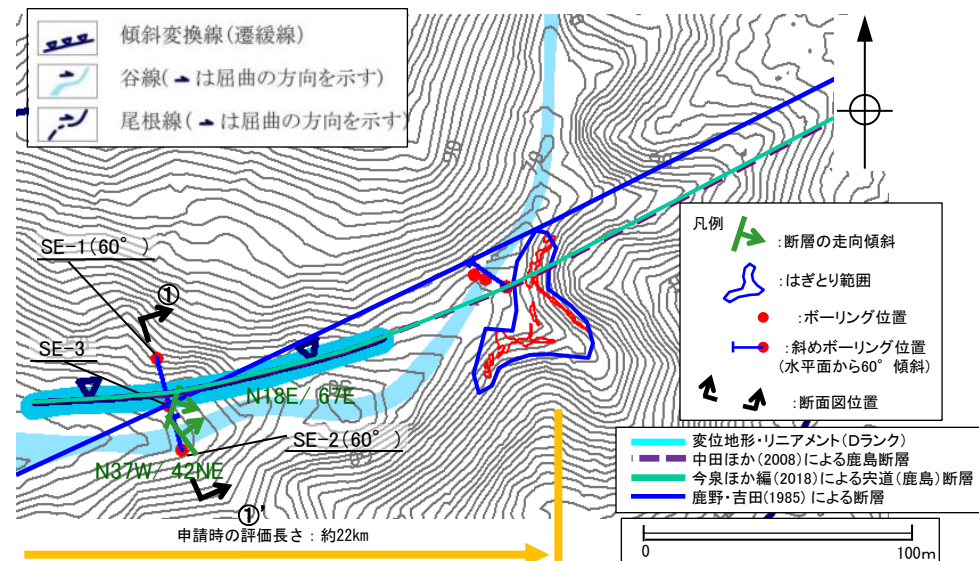


変位地形・リニアメント及び文献断層の端部付近では、緩やかな背斜構造を示す。

露頭岩種
貫入岩(ドレライト・安山岩)
泥岩
砂岩
安山岩質火砕岩
ディサイト質火砕岩
流紋岩質火砕岩

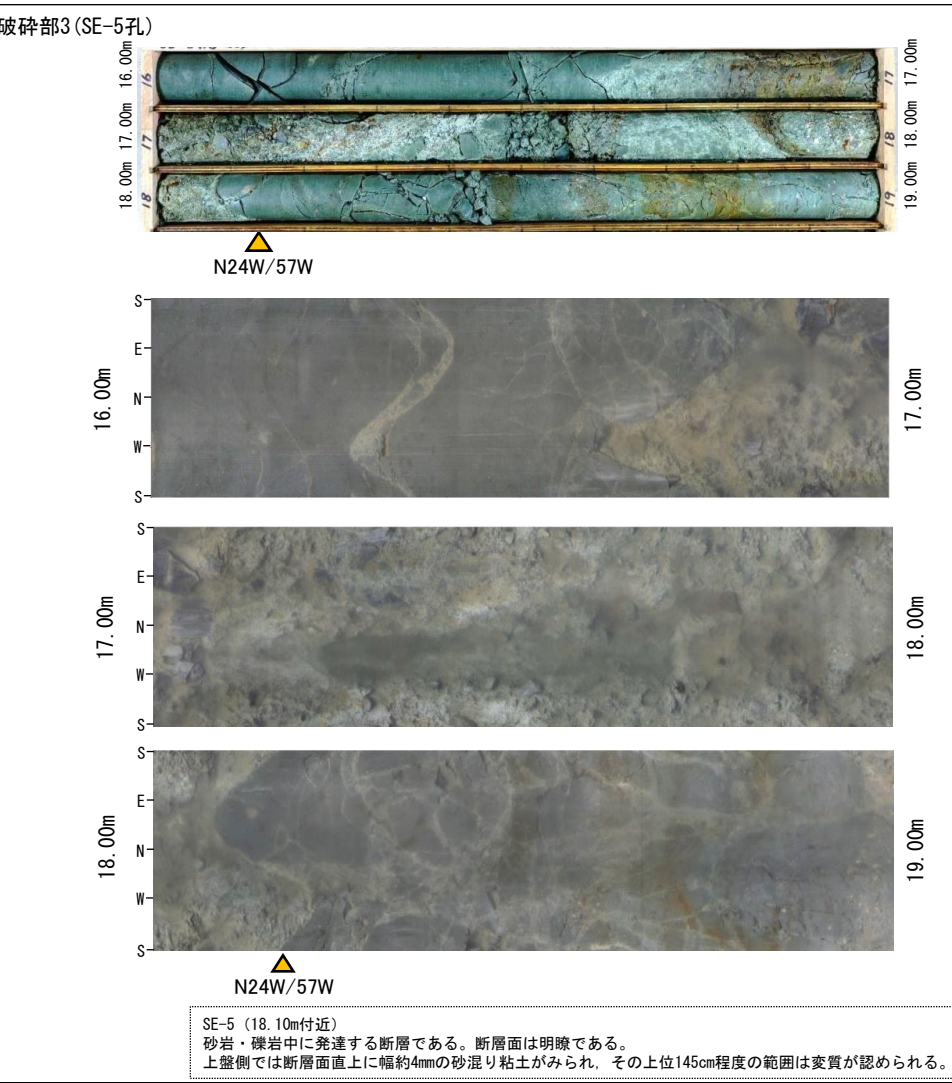
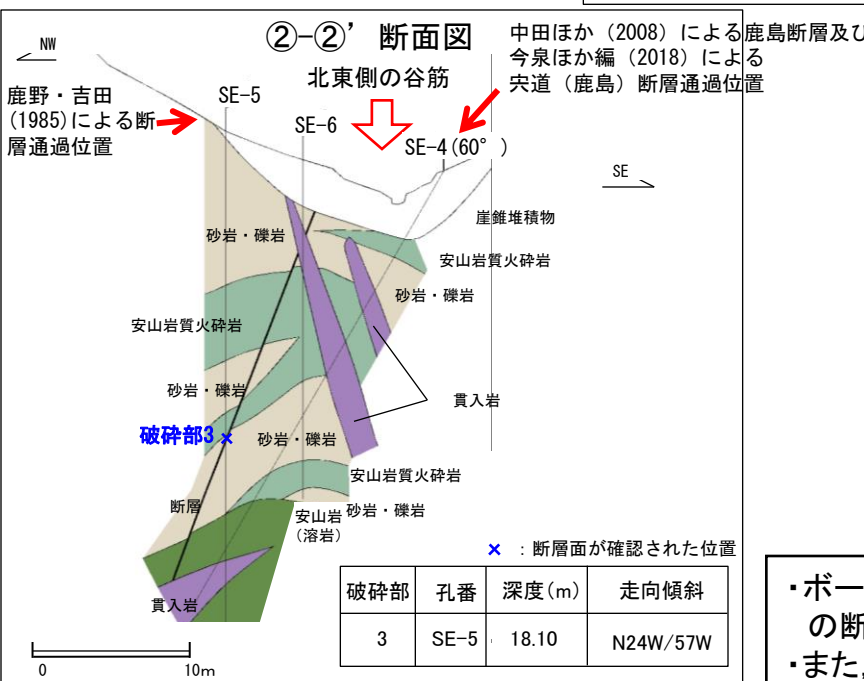
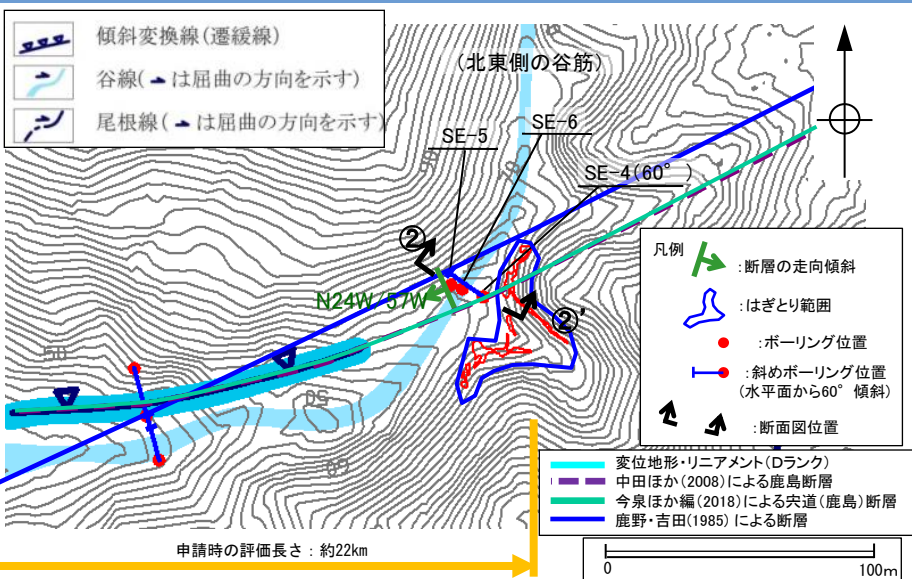


下宇部尾東(ボーリング調査(①-①' 断面図))



ボーリング調査の結果、ほぼ南北走向(北西-南東、北北東-南南西走向)の断層は認められるが、変位地形・リニアメント及び文献断層に対応する断層は認められない。

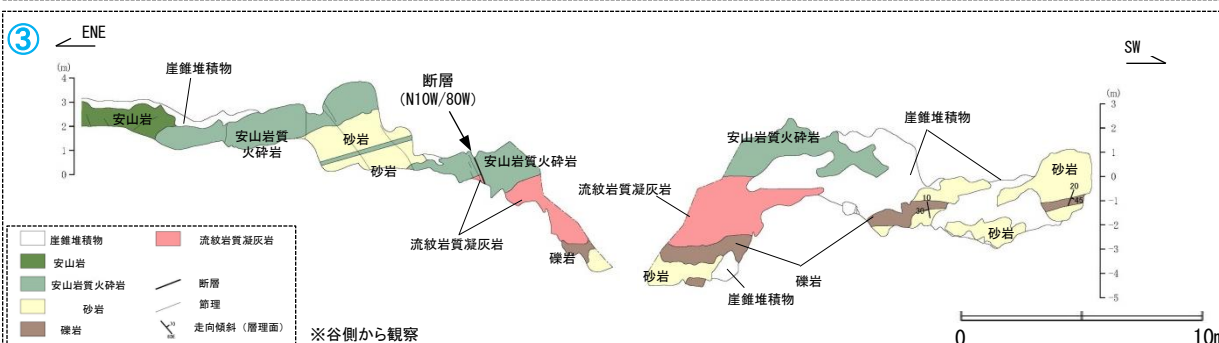
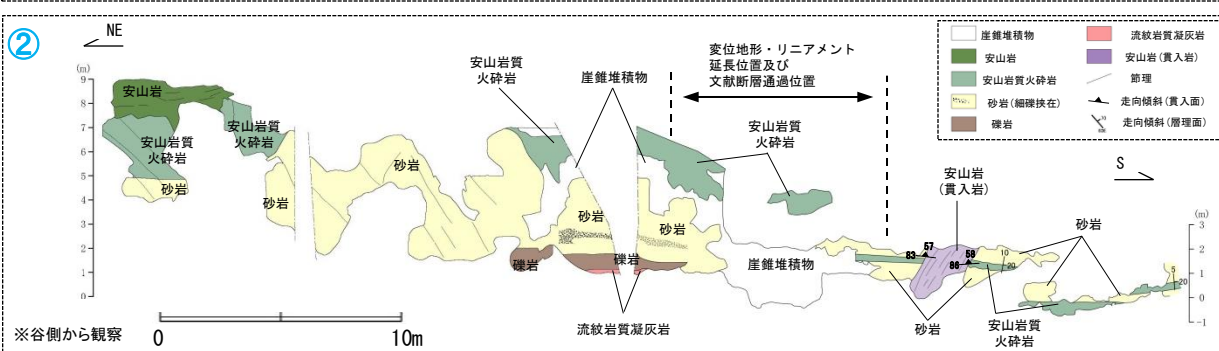
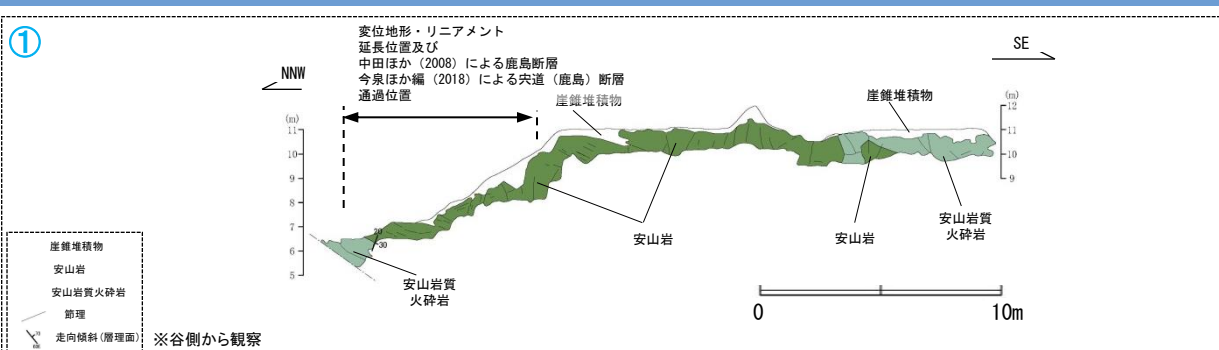
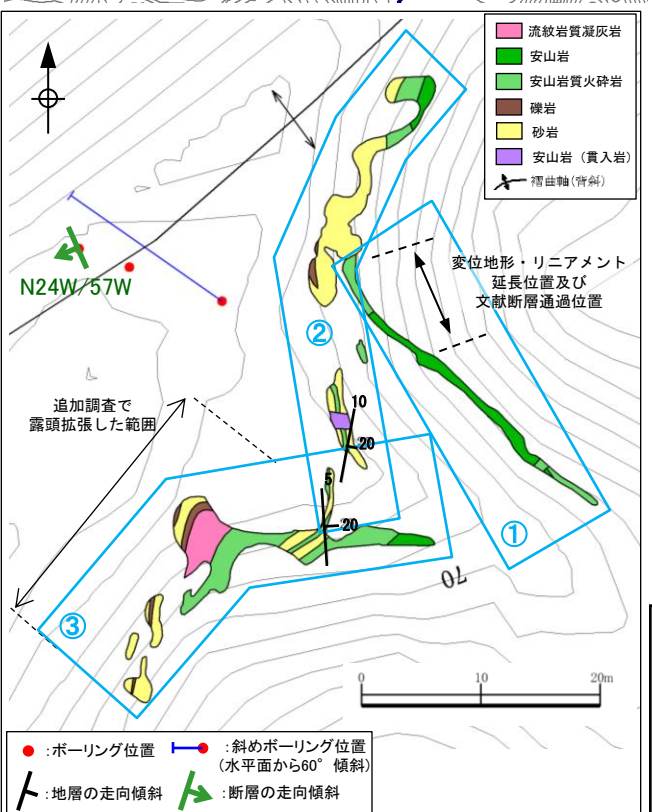
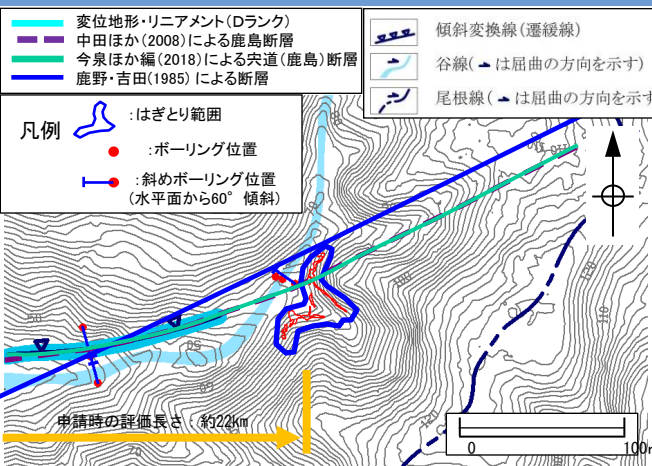
下宇部尾東(ボーリング調査(②-②'断面図))



・ボーリング調査(SE-4～SE-6)の結果、ほぼ南北走向(北北西-南南東走向)の断層は認められるが、北東側の谷筋に向かう断層は認められない。
・また、変位地形・リニアメント及び文献断層に対応する断層も認められない。

3. 宮道断層の評価 (6) 地質調査(宮道断層の東側) ③下宇部尾付近

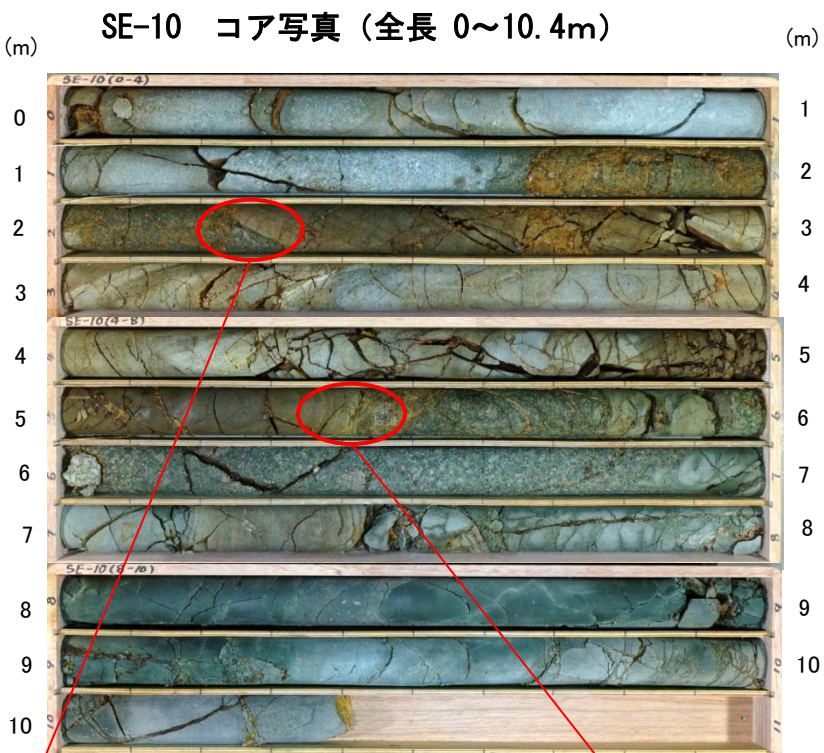
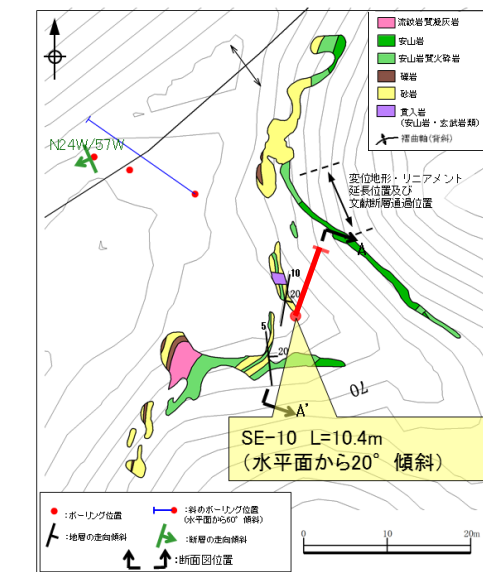
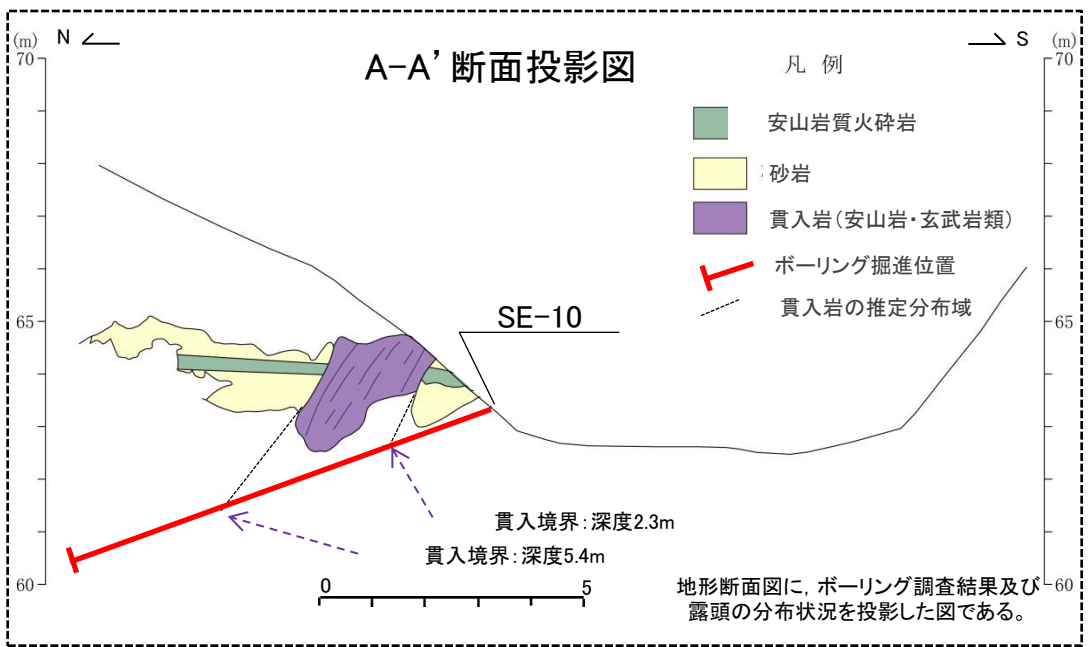
下宇部尾東(はぎ取り調査(スケッチ))



既往調査範囲を拡張した、約70mの幅広いはぎ取り調査の結果、地質の連続性を確認し、変位地形・リニアメントの延長位置及び文献断層の通過位置付近において、断層は認められない。

なお、変位地形・リニアメント延長位置及び文献断層通過位置付近には貫入岩が分布するものの、接触変成作用の影響は認められない。

下宇部尾東(ボーリング調査(コア写真))



- ・ボーリング調査の結果、深度2.3m付近と5.4m付近において、貫入岩と堆積岩の貫入境界を確認した。
- ・貫入岩には、貫入境界面と同方向の割れ目が発達するが、せん断面は認められない。

下宇部尾付近(まとめ)

1. 変動地形学的調査(万原～下宇部尾東)

- ・美保関町万原から下宇部尾の間では河谷や尾根の右屈曲が認められ、また道路に沿って直線的な凹地が認められる。また、下宇部尾東までは傾斜変換線が認められる。

2. 地表地質踏査(万原)

- ・詳細地表地質踏査の結果、文献や変位地形・リニアメントの通過位置付近にはほぼ全面にわたって安山岩が分布しており、変位地形・リニアメントに対応する断層は認められない。(補足説明資料1.(2) 万原 参照)

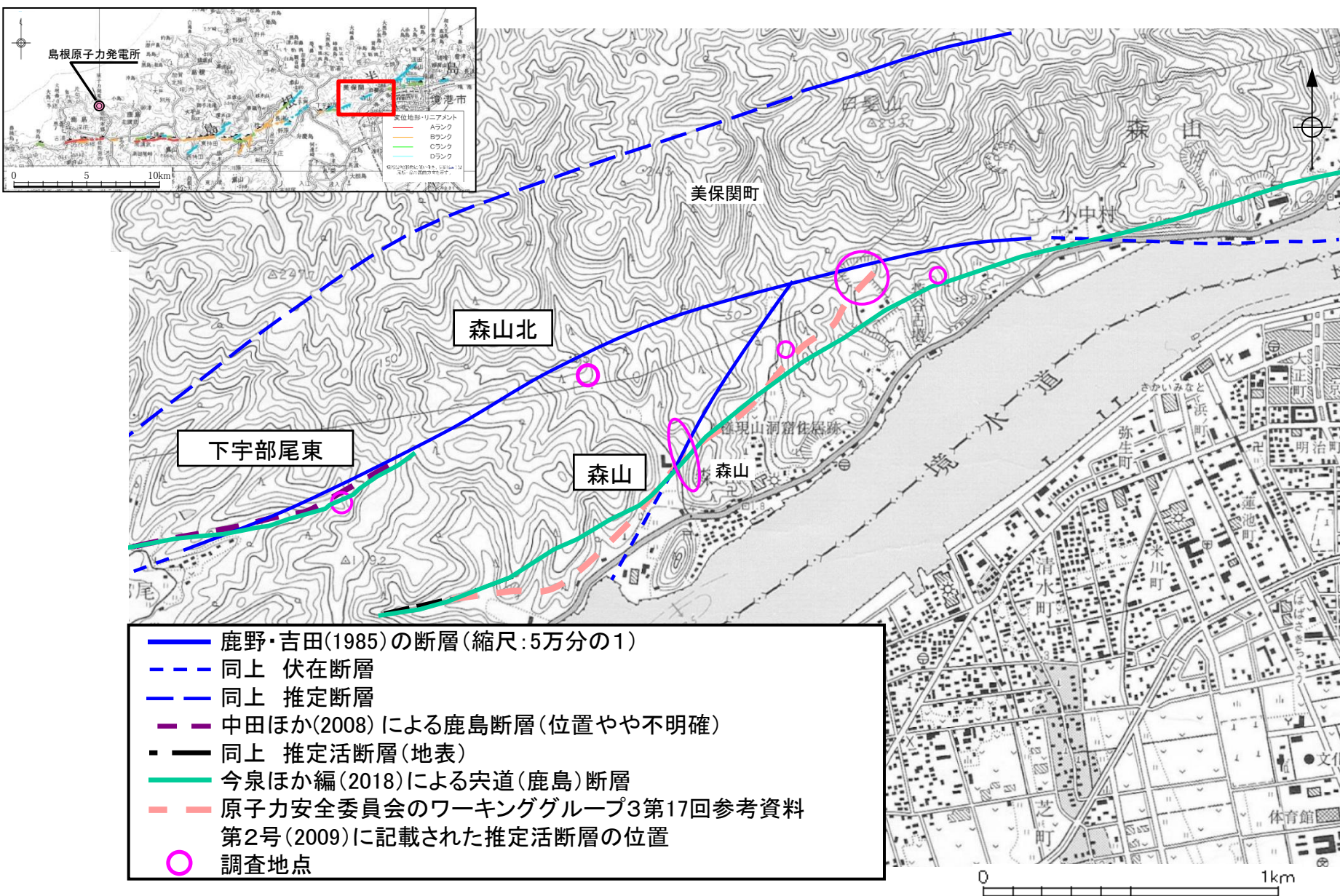
3. ボーリング調査、トレーニング調査(下宇部尾)

- ・下宇部尾におけるボーリング調査の結果、断層が認められ、MIS7以前の地層に及んでいる可能性があるが、それらを覆うDMP層及びMIS5cの堆積物に変位や変形は認められない。
- ・下宇部尾西トレーニング(北)、(南)及び下宇部尾トレーニングの結果、断層は認められない。
- ・下宇部尾北トレーニングの結果、断層が認められる。断層はA層(MIS6以前の砂礫層)に変位を与えていたものの、上位のB層(MIS5eのシルト層及び砂礫層)に変位や変形が認められないことから考慮する活断層ではないと考えているが、A層に含まれる火山灰は再堆積したものであるとも考えられることから、後期更新世以降の断層活動を完全には否定できないと評価した。

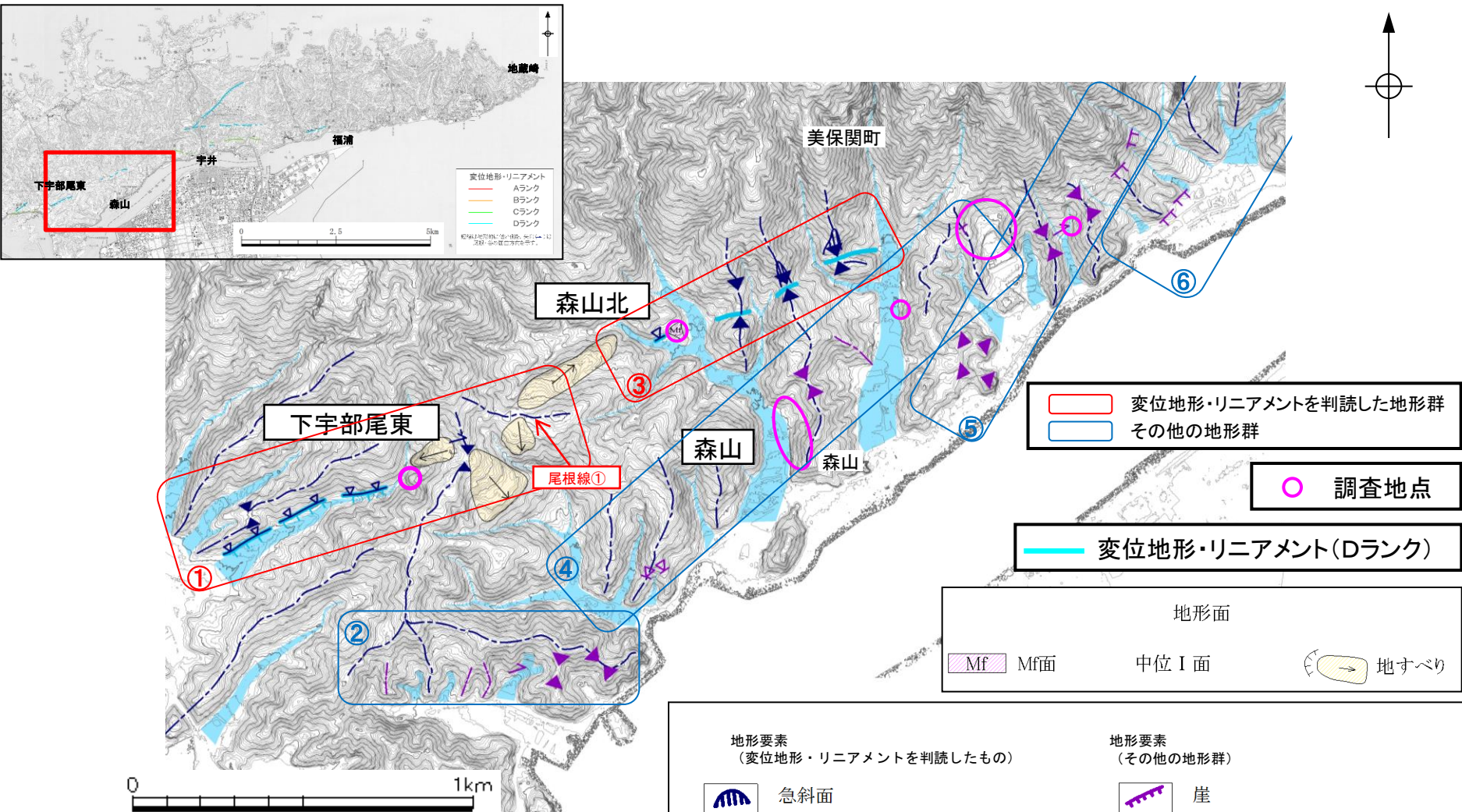
4. ボーリング調査、はぎ取り調査(下宇部尾東)

- ・ボーリング調査の結果、ほぼ南北走向の断層は認められるが、北東側の谷筋に向かう断層は認められない。また、変位地形・リニアメント及び文献断層に対応する断層も認められない。
- ・はぎ取り調査の結果、地質の連續性を確認し、変位地形・リニアメントの延長位置及び文献断層の通過位置付近において、断層は認められない。
- ・はぎ取り調査で確認された貫入岩を対象にボーリング調査を行った結果、深度2.3m付近と5.4m付近において、貫入岩と堆積岩の貫入境界を確認した。
- ・貫入岩には、貫入界面と同方向の割れ目が発達するが、せん断面は認められない。
- ・以上のことから、下宇部尾東において、変位地形・リニアメント及び宍道断層に対応する断層は認められないと評価した。

森山付近(文献調査)



森山付近(変動地形学的調査)



※2007年中国電力取得の2mDEM(航空レーザー測量)を使用

- ・下宇部尾東までは傾斜変換線が認められる。
- ・美保関町北方の森山北では鞍部が断続的に認められるが、南方の森山では尾根・谷の系統的な屈曲等は認められない。

地形要素 (変位地形・リニアメントを判読したもの)	地形要素 (他の地形群)
急斜面	崖
傾斜変換線(遷緩線)	傾斜変換線(遷緩線)
谷線(△は屈曲の方向を示す)	谷線(△は屈曲の方向を示す)
尾根線(△は屈曲の方向を示す)	尾根線(△は屈曲の方向を示す)
鞍部	鞍部

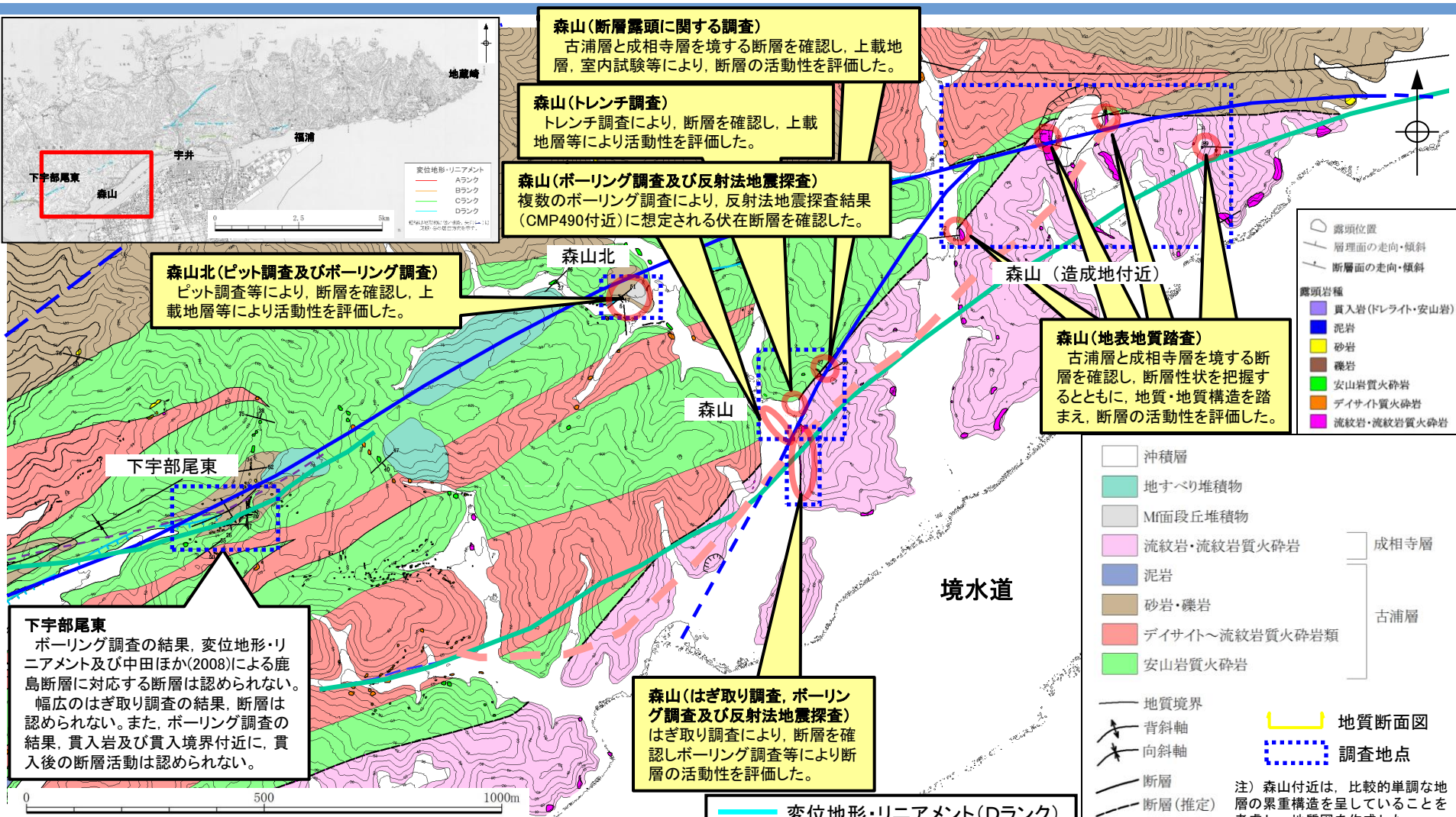
判読内容(変位地形・リニアメント, その他の地形群)

変位地形・リニアメント及びその他の地形群一覧表(下宇部尾東・森山付近)

番号	変位地形・リニアメント及びその他の地形群の判読内容			活断層研究会編(1991), 中田ほか(2008), 原安委WG3(2009)及び 今泉ほか編(2018)との対比
	変位地形・リニアメント のランク	地形要素	理由	
①	D(下宇部尾東)	山地高度は北側が高い。谷の北縁をつくる急斜面(傾斜変換線)。その他、1箇所の尾根の右屈曲、2箇所の鞍部。東延長の尾根線①に右屈曲は認められない。	下宇部尾付近のBランク及びCランクのリニアメントの東延長にあたる山地高度に差がある。 地形群(傾斜変換線)の長さは短いことからDランクとした。	・活断層研究会編(1991)の森山(確実度Ⅲ)に対応 ・中田ほか(2008)の活断層、今泉ほか編(2018)の活断層(位置やや不明確)に対応
②	—	尾根高度に差はない。1本の谷の右屈曲、2箇所の鞍部。しかし、西部の4本の尾根は曲がっていない。	系統的な屈曲地形及び高度差は認められず、地形群が同一方向に横ずれあるいは縦ずれしたと解釈できないことから変動地形の可能性はない。	—
③	D(森山北)	番号①(下宇部尾東)の変位地形・リニアメントの東延長上にあり、山地高度は北側が高い。3箇所の明瞭な鞍部。1箇所の傾斜変換線。	山地高度不連続をなす山麓に3箇所の鞍部が連続する。 地形群の長さは短く、西延長上の番号①(下宇部尾東)の変位地形・リニアメントでは尾根線①に屈曲がないことからDランクとした。	・活断層研究会編(1991)の森山(確実度Ⅲ)に対応
④	—	1箇所の鞍部及び尾根、2箇所の傾斜変換線、7本の尾根。しかし、尾根・谷に明瞭な屈曲は認められない。1箇所で尾根高度は北側がやや高い。	系統的な屈曲地形及び高度差は認められず、地形群が同一方向に横ずれあるいは縦ずれしたと解釈できないことから変動地形の可能性はない。	・中田ほか(2008)の推定活断層(地表)に対応 ・原安委WG3(2009)の推定活断層に対応 ・今泉ほか編(2018)の活断層(位置やや不明確)に対応
⑤	—	4箇所の鞍部、1本の谷の右屈曲、2箇所の崖。しかし、他の尾根・谷に右屈曲は認められない。東半分の尾根高度は北側がやや高い。	系統的な屈曲地形は認められず、地形群が同一方向に横ずれしたと解釈できない。また、高度差も系統的ではない。地形群は連続性に乏しく、長さは短いことから変動地形の可能性はない。	—
⑥	—	2箇所の崖、7本の尾根、2箇所の風隙からなり、山地高度は北西が高い。しかし、地形群は連続性、鮮明さに欠ける。また、尾根・谷に明瞭な屈曲は認められない。	系統的な屈曲地形は認められず、地形群が同一方向に横ずれしたと解釈できない。また、高度差も系統的ではない。地形群は連続性に乏しく、鮮明さに欠け、長さは短いことから変動地形の可能性はない。	—

3. 宮道断層の評価 (6) 地質調査(宮道断層の東側) ④森山付近

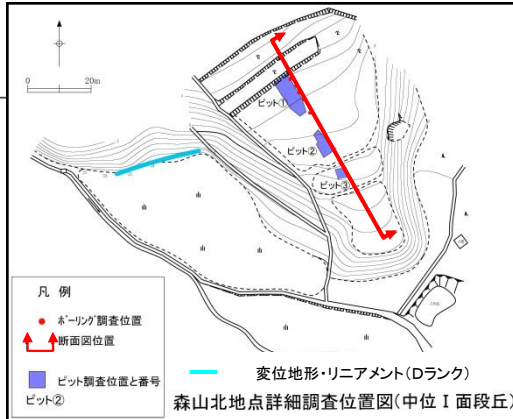
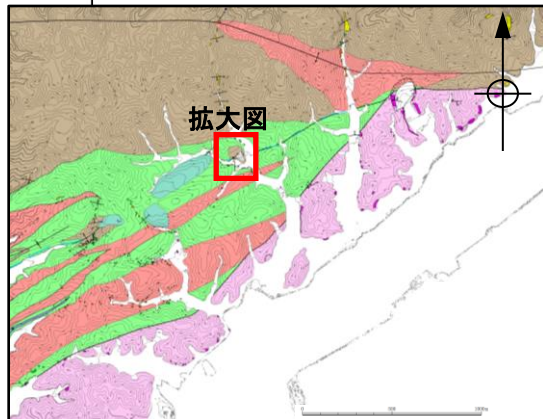
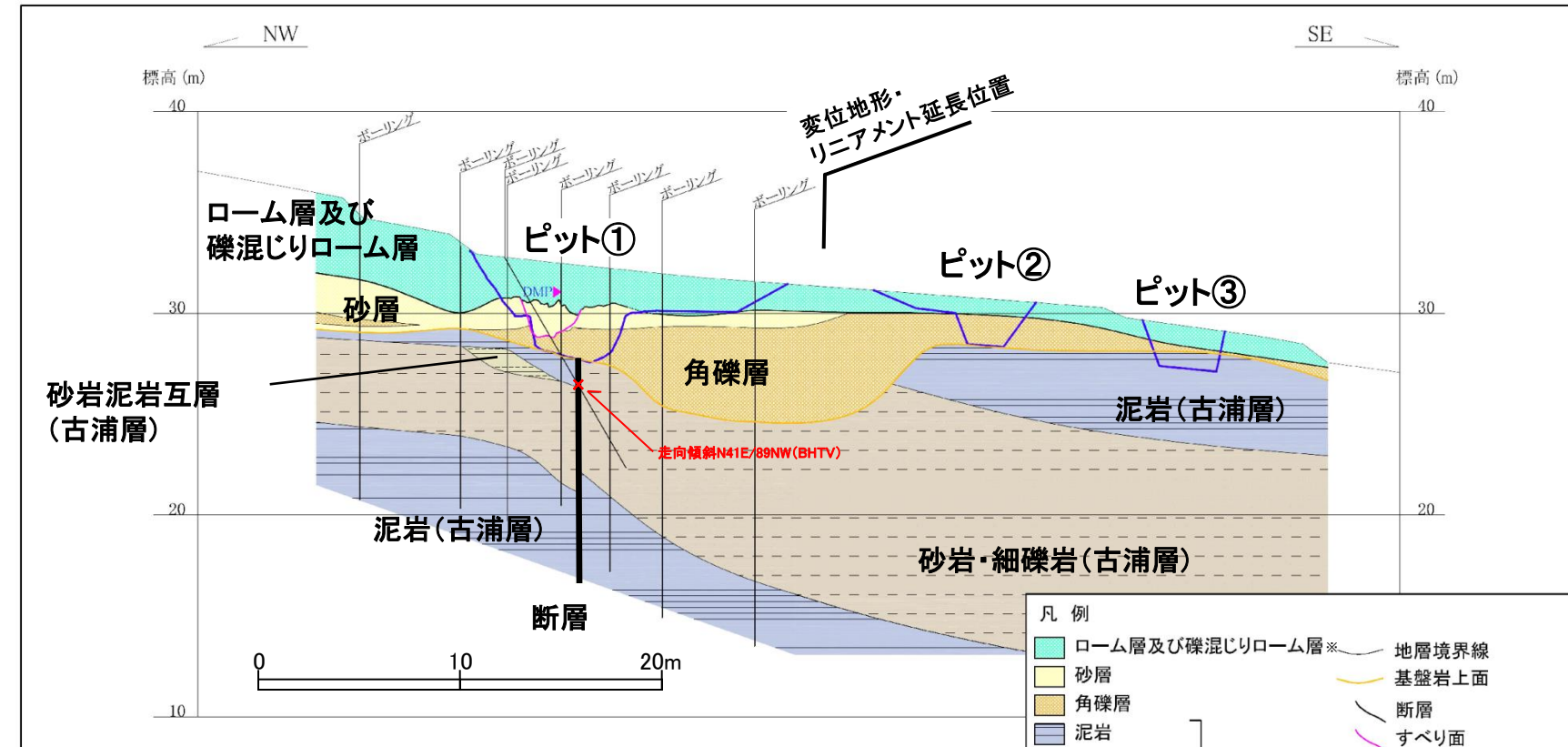
森山付近(地表地質踏査(地質図))



・変位地形・リニアメント及び文献断層の通過位置付近において、はぎ取り調査、ボーリング調査、ピット調査、トレンチ調査、反射法地震探査等の詳細な調査を実施し、後期更新世以降の断層活動の有無を確認した。

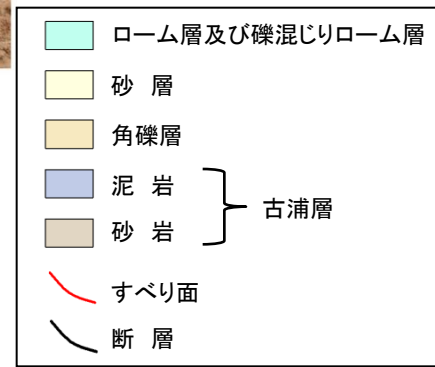
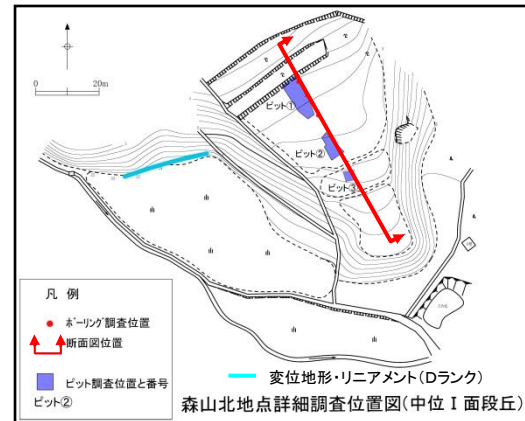
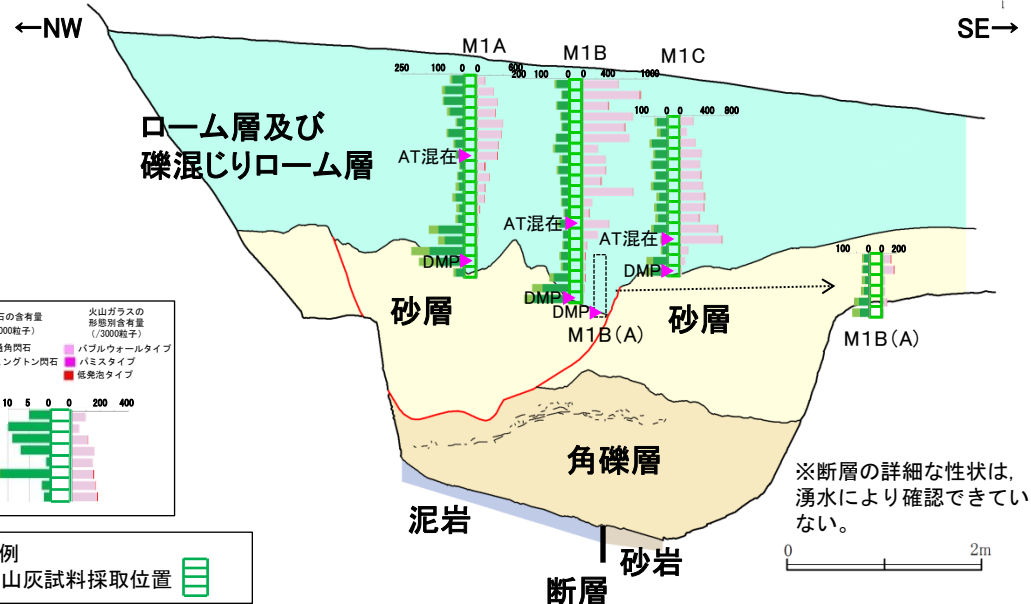
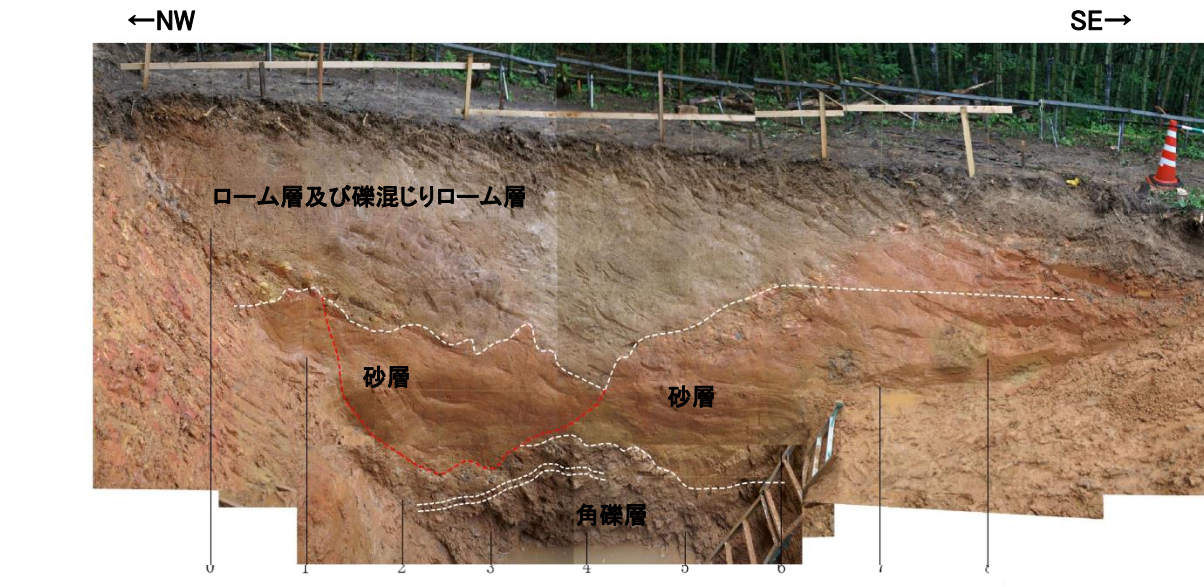
- 中田ほか(2008)による鹿島断層(位置やや不明確)
- - - 同上推定活断層(地表)
- 今泉ほか編(2018)による宮道(鹿島)断層
- 原子力安全委員会のワーキンググループ3第17回会合参考資料第2号(2009)に記載された推定活断層の位置
- 鹿野・吉田(1985)による断層、推定断層、伏在断層

森山北(ボーリング調査(地質断面図))



- ・変位地形・リニアメントの延長位置のMf面(中位 I 面)におけるボーリング調査の結果、断層を確認した。
- ・活動性を確認するためピット調査を実施した。

森山北(ピット調査(ピット①))



・ピット調査の結果、基盤に認められる断層上位の地層(大山松江軽石層(DMP))を含むローム層、砂層、角礫層)に変位・変形は認められないことから、後期更新世以降の断層活動は認められない。

森山北(断層露頭箇所, レンチ調査箇所)(まとめ)

1. 森山北

(1) 変動地形学的調査

- 鞍部が断続的に認められるが、尾根・谷の系統的な屈曲は認められない。

(2) ボーリング調査

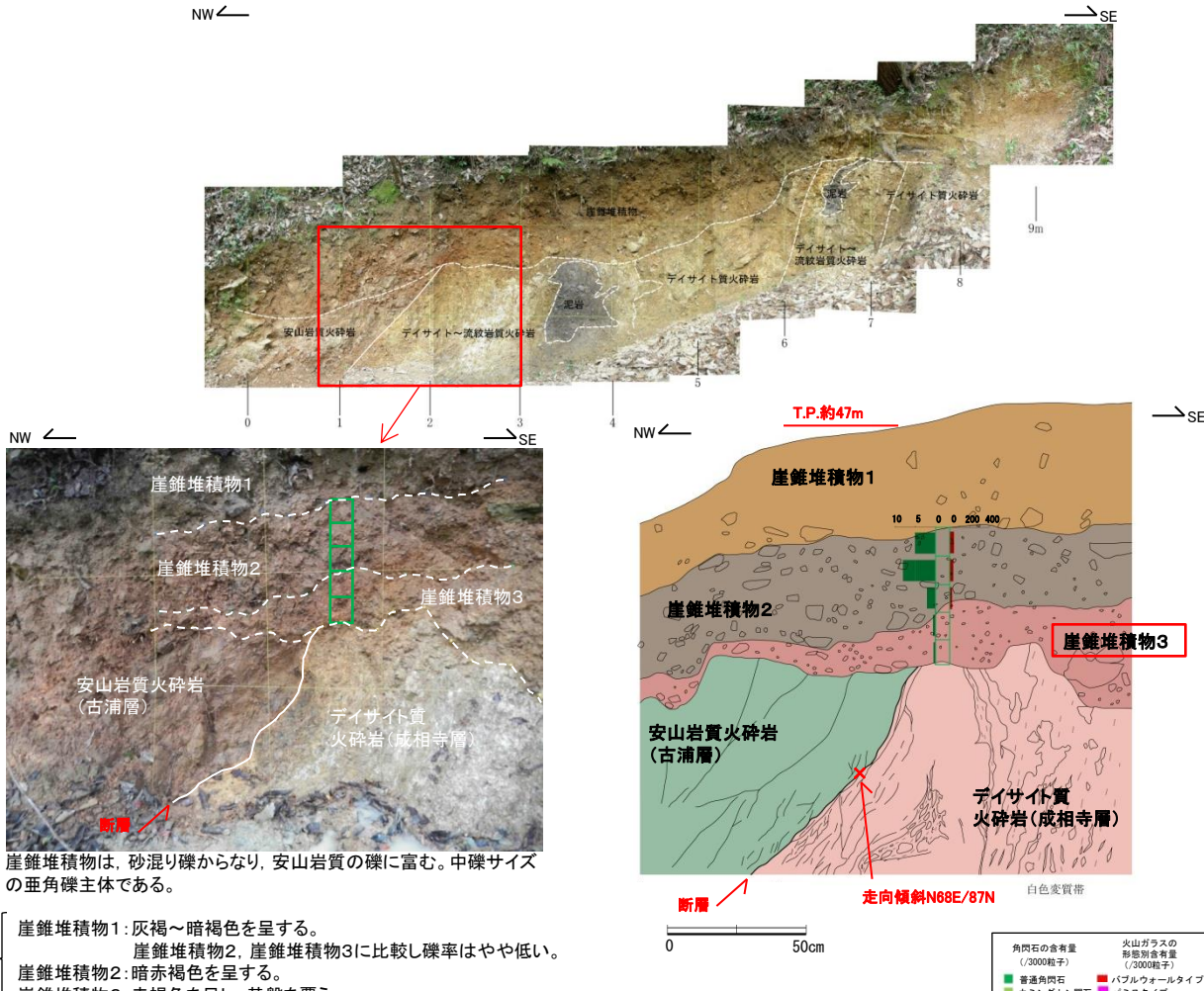
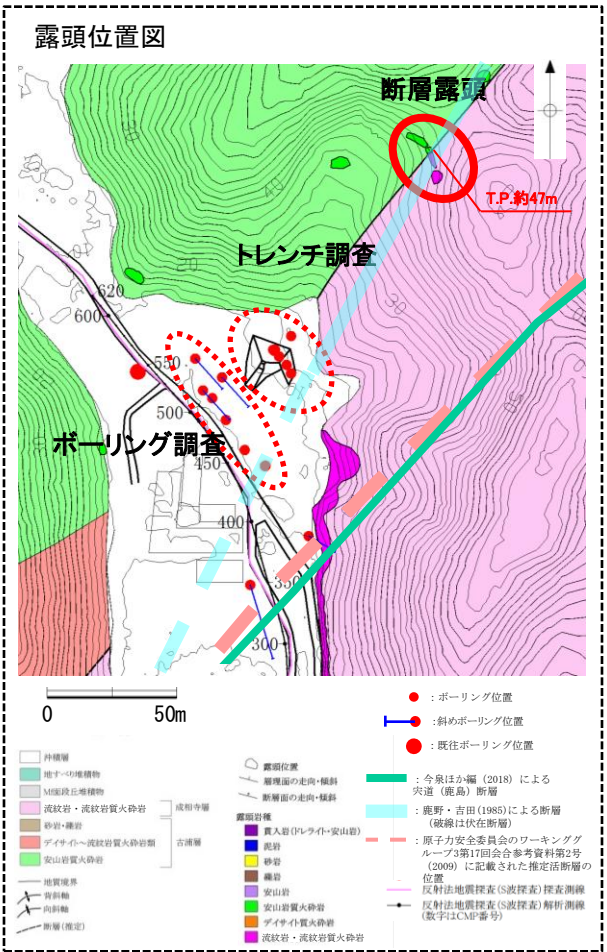
- 変位地形・リニアメントの延長位置において断層が認められる。

(3) ピット調査

- 基盤に認められる断層上位の地層(大山松江軽石層(DMP)を含むローム層, 砂層, 角礫層)に変位・変形は認められることから、少なくとも大山松江軽石層の堆積時期以降の断層活動はない。

以上のことから、断層露頭の調査、ボーリング調査及びピット調査結果により総合的に検討した結果、泥岩と砂岩を境する断層を確認したが、基盤に認められる断層上位の地層(大山松江軽石層(DMP)を含むローム層, 砂層, 角礫層)に変位・変形は認められることから後期更新世以降の断層活動は認められないと評価した。

森山(露頭観察及び火山灰分析)

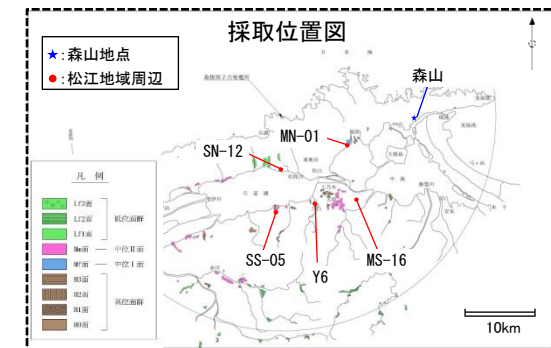
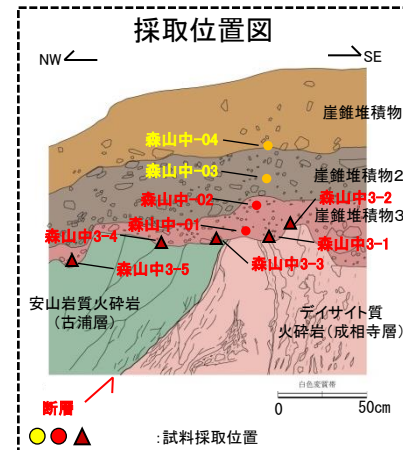
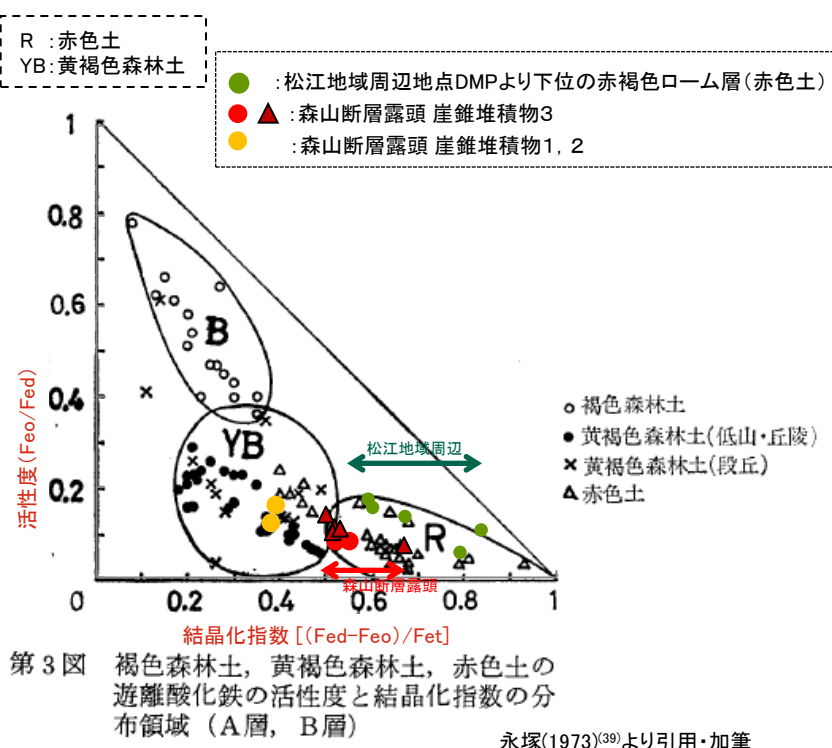


- 露頭観察により、鹿野・吉田(1985)に示された断層に対応する、古浦層と成相寺層を境する断層を確認した。
- 断層には、明瞭なせん断面は認められず、北傾斜を示しており、断層を覆う崖錐堆積物に変位・変形は認められない。
- 研磨片観察の結果、幅2cm程度の角礫部が認められる。また、薄片観察の結果、複合面構造は認められない。
- 崖錐堆積物において、堆積構造の異常(すべり面や異質岩片の混入等)は認められず、松井(1993)⁽³⁸⁾による一般的な土壤の色相変化と整合している。
- 崖錐堆積物3層は赤褐色を呈する。また、斜面上方において赤色化した土壤は認められない。
- 崖錐堆積物における火山灰分析の結果、崖錐堆積物2層には、AT(始良Tn火山灰、約2.8～3.0万年前)が含まれる。

凡例
火山灰試料採取位置

3. 宮道断層の評価 (6) 地質調査(宮道断層の東側) ④森山付近

森山(遊離酸化鉄分析(森山断層露頭の赤色土との比較))



試料名	層準	酸性シウウ酸塩可溶鉄	ジチオナイト可溶鉄	全鉄	活性度	結晶化指数(Fed-Feo)/Fet	結晶化指数の範囲
		Fe _o (mg/g)	Fed(mg/g)				
森山中-03	崖錐堆積物2	5	44	102.9	0.12	0.38	0.38～0.39
森山中-04	崖錐堆積物1	6	39	84.2	0.16	0.39	
森山中-01	崖錐堆積物3	6	80	134.5	0.08	0.55	
森山中-02	崖錐堆積物3	5	69	122.3	0.08	0.52	
森山中-3-1	崖錐堆積物3	9	78	133.6	0.11	0.52	
森山中-3-2	崖錐堆積物3	7	100	138.9	0.07	0.67	
森山中-3-3	崖錐堆積物3	8	81	141.2	0.10	0.51	
森山中-3-4	崖錐堆積物3	8	72	121.1	0.11	0.53	
森山中-3-5	崖錐堆積物3	8	61	105.7	0.14	0.50	
SS-05	DMPより下位	10	43	83.7	0.22	0.40	※
SS-05	DMPより下位	8	48	67.3	0.17	0.59	
Y-6	DMPより下位	7	47	66.1	0.15	0.60	
MN-01	DMPより下位	7	55	70.3	0.13	0.67	
SN-12	DMPより下位	6	53	57.2	0.10	0.84	
MS-16	DMPより下位	4	72	86.5	0.06	0.79	

:森山断層露頭 崖錐堆積物3

:松江地域周辺地点DMPより下位の赤褐色ローム層(赤色土)

※SS-05(1回目): DMPが混入した可能性高いため、左記のダイヤグラムには記載していない

- 森山断層露頭における遊離酸化鉄分析の結果、崖錐堆積物3層の遊離酸化鉄の結晶化指数は、0.50～0.67の範囲にあり、永塚(1973)における赤色土に分類される。
- 松江地域周辺における遊離酸化鉄分析の結果、DMPより下位の遊離酸化鉄の結晶化指数は、0.40～0.84の範囲にあり、概ね永塚(1973)における赤色土に分類される。
- 以上のことから、森山断層露頭の崖錐堆積物3層については、遊離酸化鉄の結晶化指数が、松江地域周辺におけるDMPより下位の赤色土のそれと同程度であることから、その形成年代はDMP降灰(約13万年前以降)層準と評価した。

森山断層露頭及び松江地域周辺の試料採取地点の地質及び遊離酸化鉄の結晶化指数

地点	地形	現標高 (現河床からの比高)	基盤地質	堆積物	堆積物の 風化程度	試料採取 層準	遊離酸化鉄の 結晶化指数	備 考
森山 断層露頭	山地 (緩斜面)	約47m	成相寺層 古浦層	崖錐堆積物 (基質支持)	半くさり礫化 (崖錐堆積物3層)	崖錐堆積物 3層	0.50～0.67 ^(注)	崖錐堆積物の礫の風化 程度は次頁参照
松江 地域 周辺	MN-01	段丘 (Mf面)	約30m (約12m)	古江層	赤褐色シルト質 ローム	礫の表面 のみ風化	DMPの下 約5cm	0.67
	SN-12	丘陵 (緩斜面)	約24m	松江層 (泥岩)	赤褐色シルト質 ローム	くさり礫～ 半くさり礫化	DMPの下 約10cm	0.84
	MS-16	丘陵 (緩斜面)	約26m	松江層 (細粒砂岩)	赤褐色シルト質 ローム	虎斑状の 土壤構造が発達	DMPの下 約60cm	0.79
	Y6	段丘 (H2面)	約44m	布志名層	赤褐色シルト質 ローム	—	DMPの下 約10cm	0.60
	SS-05	段丘 (H3面)	約29m (約24m)	布志名層 大森層	赤褐色軽石質 ローム	—	DMPの下 約5cm	0.59

(注)遊離酸化鉄の結晶化指数の平均値は0.54、標準偏差は0.06である。

【森山断層露頭】

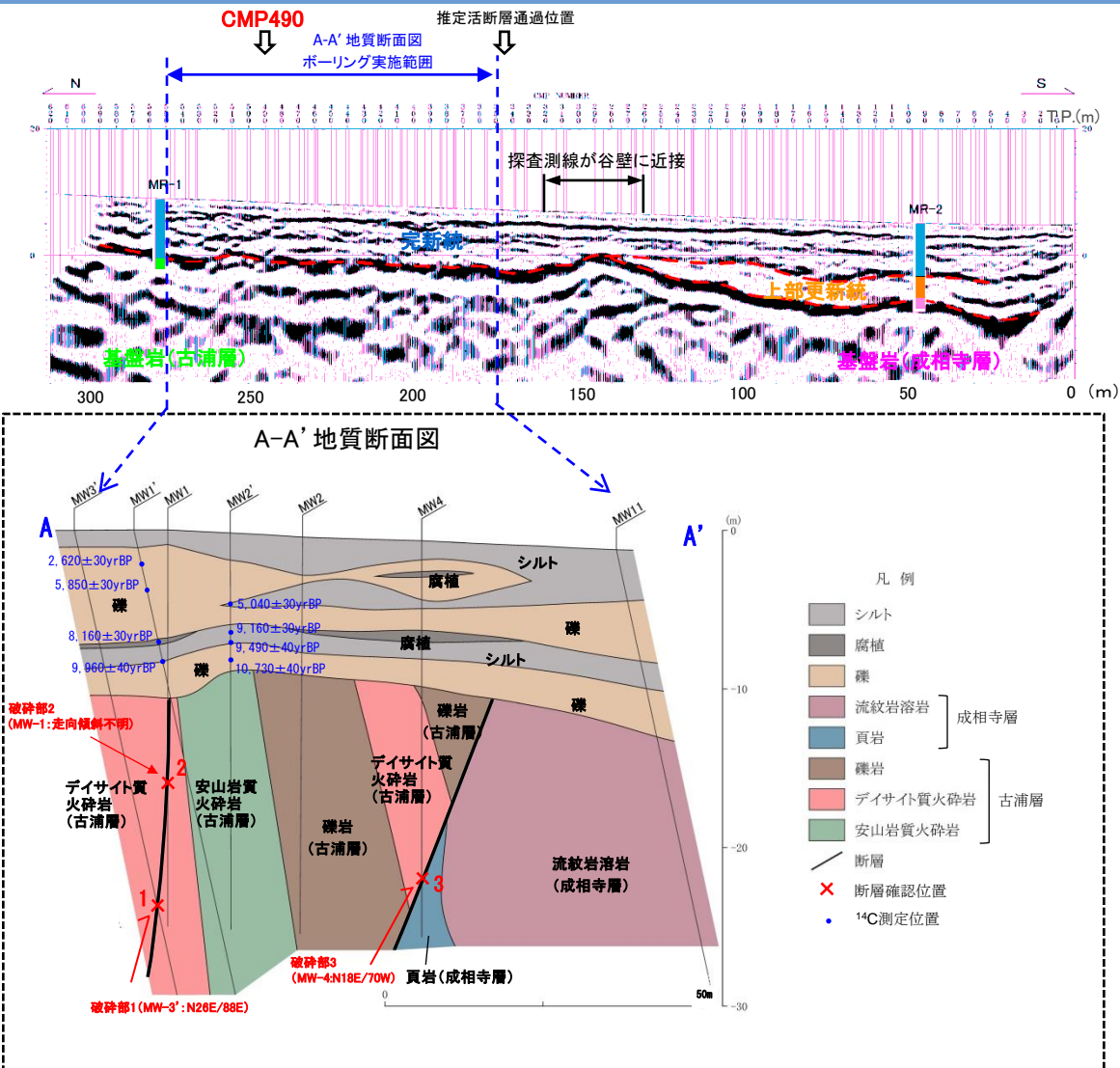
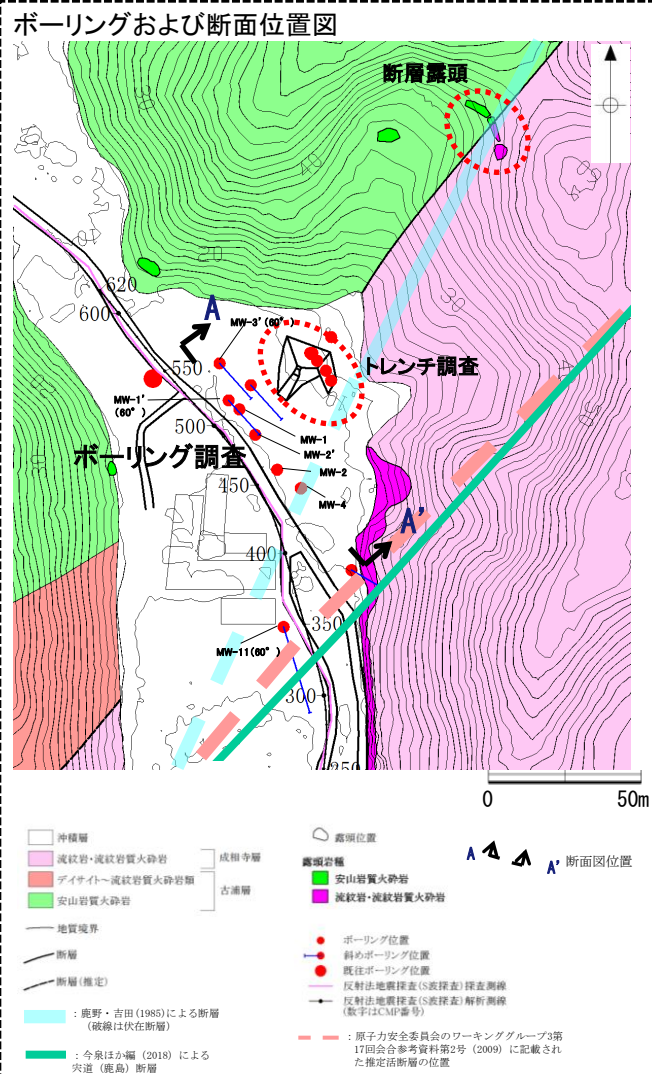
- 崖錐堆積物において、堆積構造の異常(すべり面や異質岩片の混入等)は認められず、松井(1993)による一般的な土壤の色相変化と整合する。また、崖錐堆積物3層は赤褐色を呈する。
- 崖錐堆積物の構成礫は安山岩質の角礫を主体とし、基質は砂(一部、シルト・粘土分を含む)からなる基質支持の構造を示す。また、崖錐堆積物3層の構成礫は、半くさり礫化する。

【松江地域周辺】

- 現標高や現河床からの比高に依存せず、中位段丘(Mf面)及び高位段丘(H2面、H3面)を含むいずれの地点においても、DMPの直下で赤色土が形成されている。
- 赤色土は、基盤地質に依存せず、様々な岩種の分布域において形成されている。

森山断層露頭及び松江地域周辺のいずれも基質支持の堆積物であり、基質部(細粒物質)を対象として遊離酸化鉄分析を実施していることから、森山断層露頭の崖錐堆積物3層と松江地域周辺のローム層との比較は可能である。また、遊離酸化鉄分析の比較検討結果より、崖錐堆積物3層はDMP降灰層準と評価した。

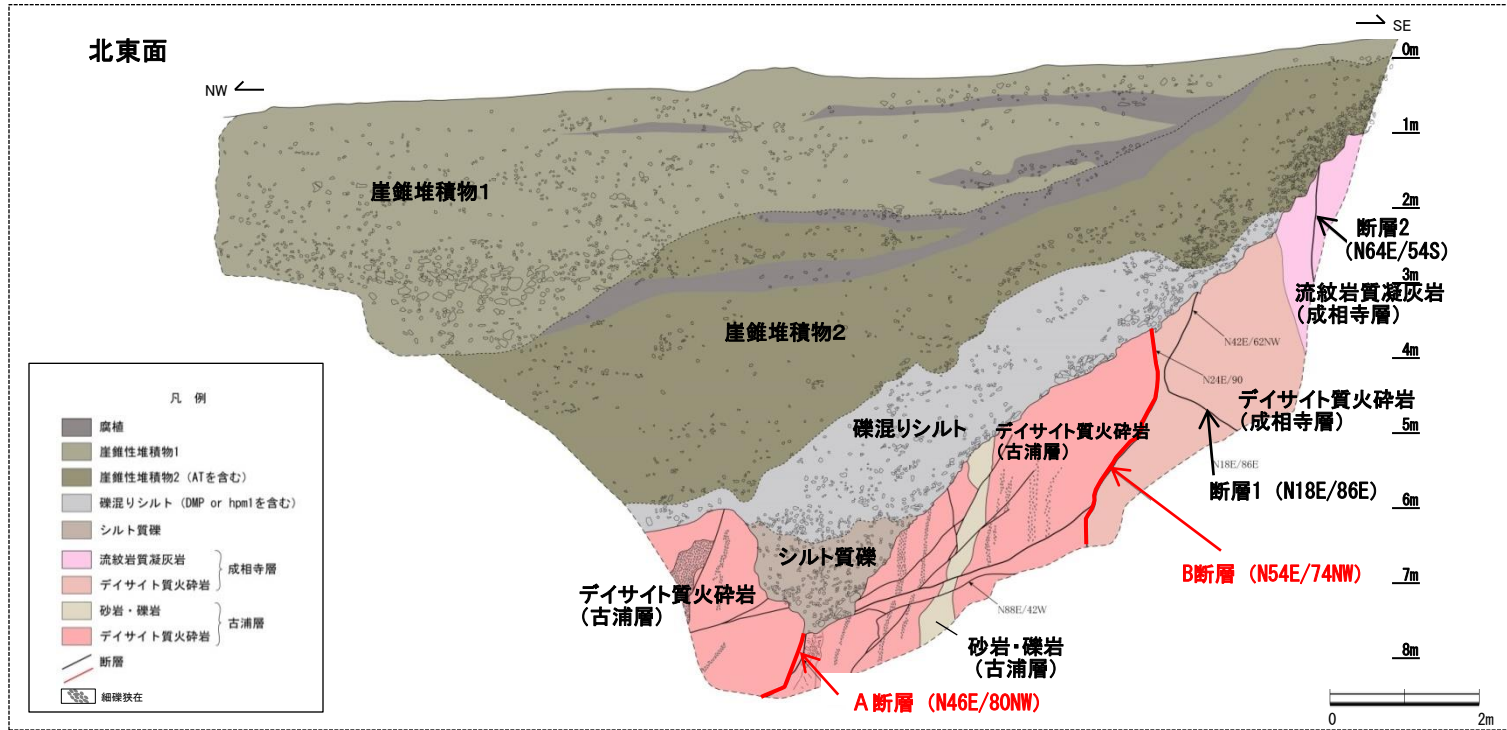
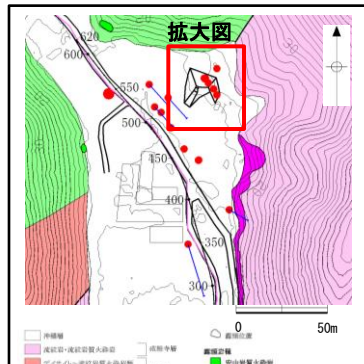
森山(ボーリング調査)



- 断層露頭の南西側の平野部(CMP490付近)におけるボーリング調査の結果、古浦層のデイサイト質火砕岩中に断層が認められ、その南側に、古浦層と成相寺層を境する断層が認められる。また、反射法地震探査等の結果、これらの断層は、完新統に変位・変形を与えていない。
- 断層の走向及び北東側に位置する断層露頭から断層通過位置を推定し、トレンチ位置を選定した。

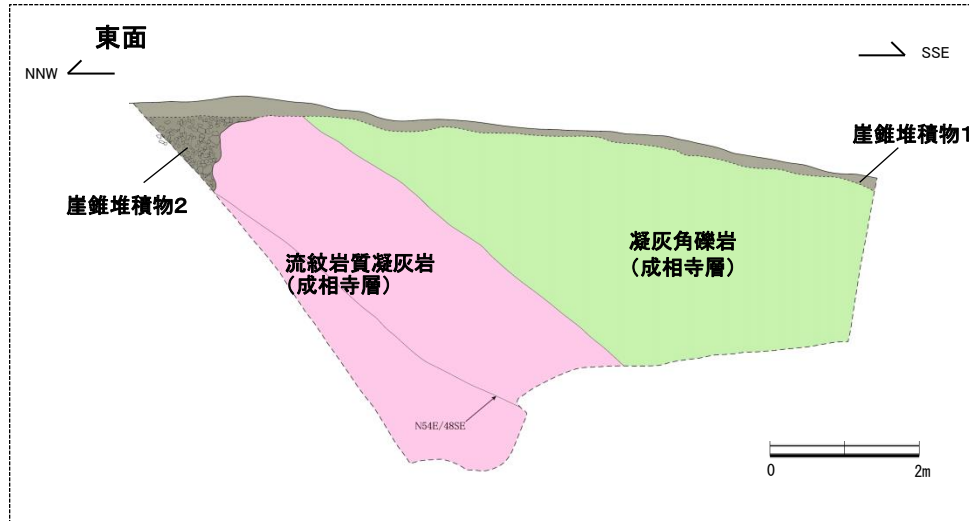
3. 宮道断層の評価 (6) 地質調査(宮道断層の東側) ④森山付近

森山(トレーンチ調査)

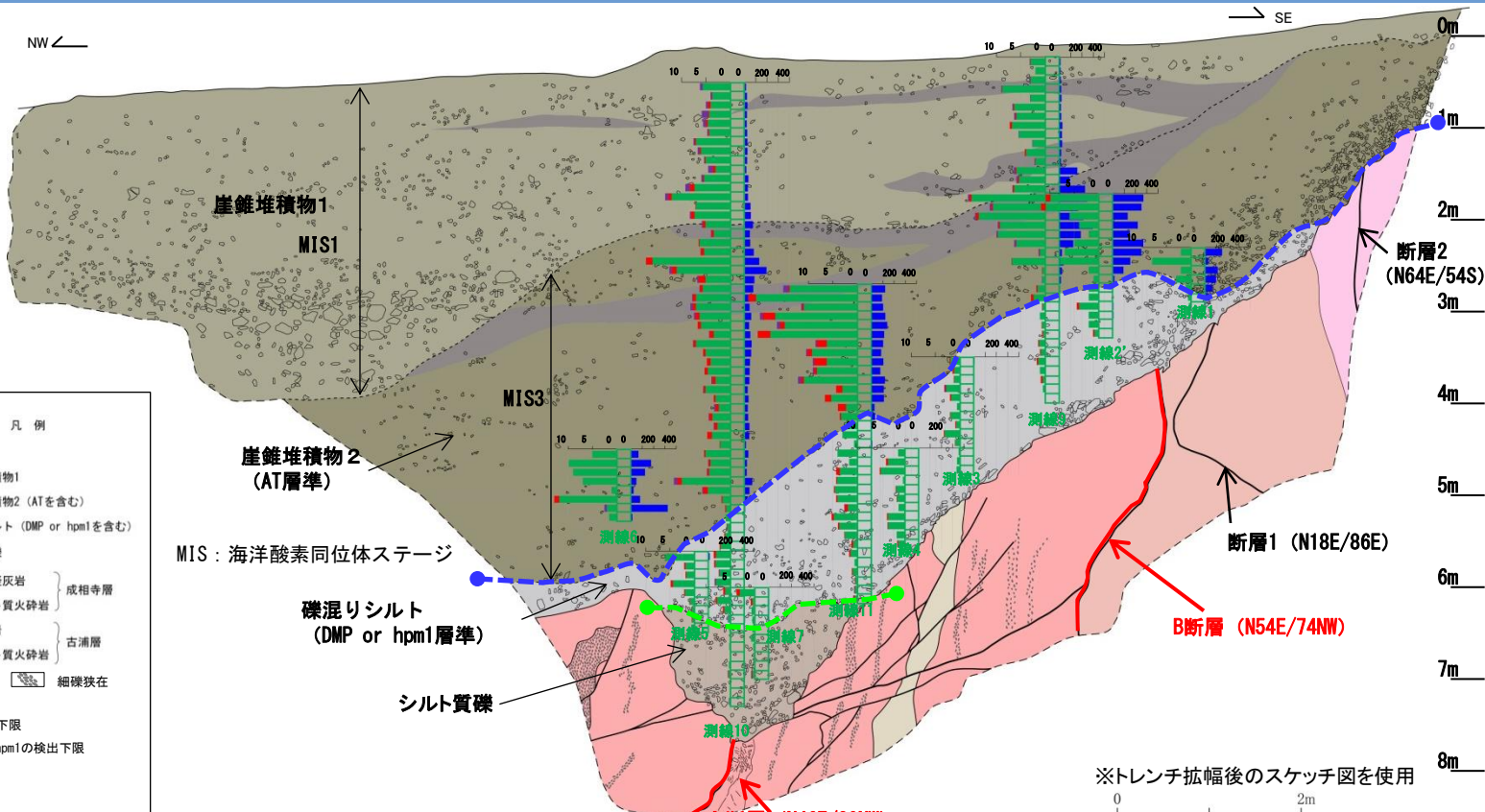


・トレーンチ調査の結果、基盤に2条の断層(A断層, B断層)が認められた。

- ・A断層・B断層と、ボーリング調査で認められた2条の断層の走向は、北東方向であり、概ね一致する。
- ・A断層が古浦層中のデイサイト質火砕岩中に発達すること、B断層が古浦層と成相寺層の地質境界に発達することは、ボーリング調査による2条の断層と整合的である。
- ・B断層は、古浦層と成相寺層を境し、北傾斜を示すという点で、既往調査で確認された鹿野・吉田(1985)に示された断層に対応する断層露頭と整合的である。
- ・2条の断層(A断層, B断層)を覆う地層に変位・変形は認められない。
- ・なお、上記以外に、大きく屈曲している、または南傾斜を示す断層が2条認められた。



森山(トレント調査)



【堆積層の形成年代】

- シルト質礫層には、DMPもしくはhpm1を示唆する普通角閃石やカミングトン閃石がほとんど含まれていない。後述する礁混りシルト層の形成年代を踏まえると、MIS5eより古い地層と考えられる。
- 礁混りシルト層は、下位のシルト質礫層をほぼ水平に覆い、DMPもしくはhpm1を示唆する普通角閃石やカミングトン閃石が含まれていることから、DMPもしくはhpm1降灰時から直後の堆積物であり、MIS5e以前の地層と評価した。その理由として、DMPもしくはhpm1の検出下限は礁混りシルトの基底とほぼ一致し、下位のシルト質礫層には火山灰が検出されないことから、火山灰の降灰時期と礁混りシルト層の堆積開始時期との時間間隙はほとんどないと判断されること、また、シルト主体の層相を呈すること等から、比較的静穏な堆積環境により形成されたと判断されることが挙げられる。
- 崖錐堆積物2層は、ATを含むことからMIS3の地層と考えられる。また、下位の礁混りシルト層を削り込んで堆積していることから、不整合関係にある。また、ATの検出下限は崖錐堆積物2層の基底とほぼ一致し、下位の礁混りシルト層にATは検出されない。
- 崖錐堆積物1層はATを含むが、その含有量が崖錐堆積物2層のそれより少ないと評価した。

【断層の活動性評価】

- A断層は、シルト質礫層に変位・変形を与えていないことから、後期更新世以降の断層活動は認められない。
- B断層は、礁混りシルト層に変位・変形を与えていないことから、後期更新世以降の断層活動は認められない。

1. 断層露頭の調査

- ・ 露頭観察により、鹿野・吉田(1985)に示された断層に対応する、古浦層と成相寺層を境する断層を確認した。断層には、明瞭なせん断面は認められず、断層を覆う崖錐堆積物3層に変位・変形は認められない。
- ・ 研磨片観察及び薄片観察の結果、幅2cm程度の角礫部が認められるが、複合面構造は認められないことから南講武と比較して断層活動性は低下している。
- ・ 永塚(1973)における土壤型と活性度-結晶化指数ダイアグラムの関係によると、崖錐堆積物3層は赤色土に分類される。
- ・ 宍道湖東岸地域の赤色土がDMP(約13万年前以降)降灰以前の地層に発達するとされる大西(1979)⁽⁴⁰⁾の知見及び松江地域周辺の赤色土に関する遊離酸化鉄分析の結果、崖錐堆積物3層の遊離酸化鉄の結晶化指数が、松江地域周辺のDMPより下位の赤色土のそれと同程度であることから、崖錐堆積物3層の形成年代はDMP降灰層準と考えられる。また、森山断層露頭の崖錐堆積物を構成する安山岩質の礫の風化程度を確認した結果、崖錐堆積物3層の礫は、崖錐堆積物1層及び崖錐堆積物2層の礫と比較し風化が進行している。
- ・ 断層は、DMP降灰層準の崖錐堆積物3層に変位・変形を与えていないことから、後期更新世以降の断層活動は認められない。

2. ボーリング調査

- ・ 群列ボーリング調査の結果、断層露頭の南西側の平野部(CMP490付近)において古浦層のデイサイト質火碎岩中に断層が認められ、その南側に、古浦層と成相寺層を境する断層が認められる。また、反射法地震探査等の結果、これらの断層は、完新統に変位・変形を与えていない。

3. トレンチ調査

- ・ ボーリング調査で認められた2条の断層に対応する、断層(A断層, B断層)が認められる。A断層は、一部に軟質な部分がみられるが、明瞭な断層ガウジは認められず、断層面は凹凸が著しく、断層を覆うシルト質礫層に変位・変形は認められない。B断層は、断層面沿いに幅約1mmの断層ガウジが認められるものの、断層面は凹凸が著しく、断層を覆う礫混りシルト層に変位・変形は認められない。
- ・ 矿混りシルト層は、下位のシルト質礫層をほぼ水平に覆い、DMPもしくはhpm1を示唆する普通角閃石やカミングトン閃石が含まれていることから、DMPもしくはhpm1降灰時から直後の堆積物であり、MIS5e以前の地層と評価した。
- ・ シルト質礫層には、DMPもしくはhpm1を示唆する普通角閃石やカミングトン閃石がほとんど含まれていないことから、礫混りシルト層の形成年代を踏まえると、MIS5eより古い地層と評価した。
- ・ A断層は、MIS5eより古いシルト質礫層に変位・変形を与えていないことから、後期更新世以降の断層活動は認められない。
- ・ B断層は、MIS5e以前の礫混りシルト層に変位・変形を与えていないことから、後期更新世以降の断層活動は認められない。

以上のことから、断層露頭の調査、ボーリング調査及びトレンチ調査結果により総合的に検討した結果、古浦層と成相寺層を境する一連の断層を確認したが、後期更新世以降の断層活動は認められない。